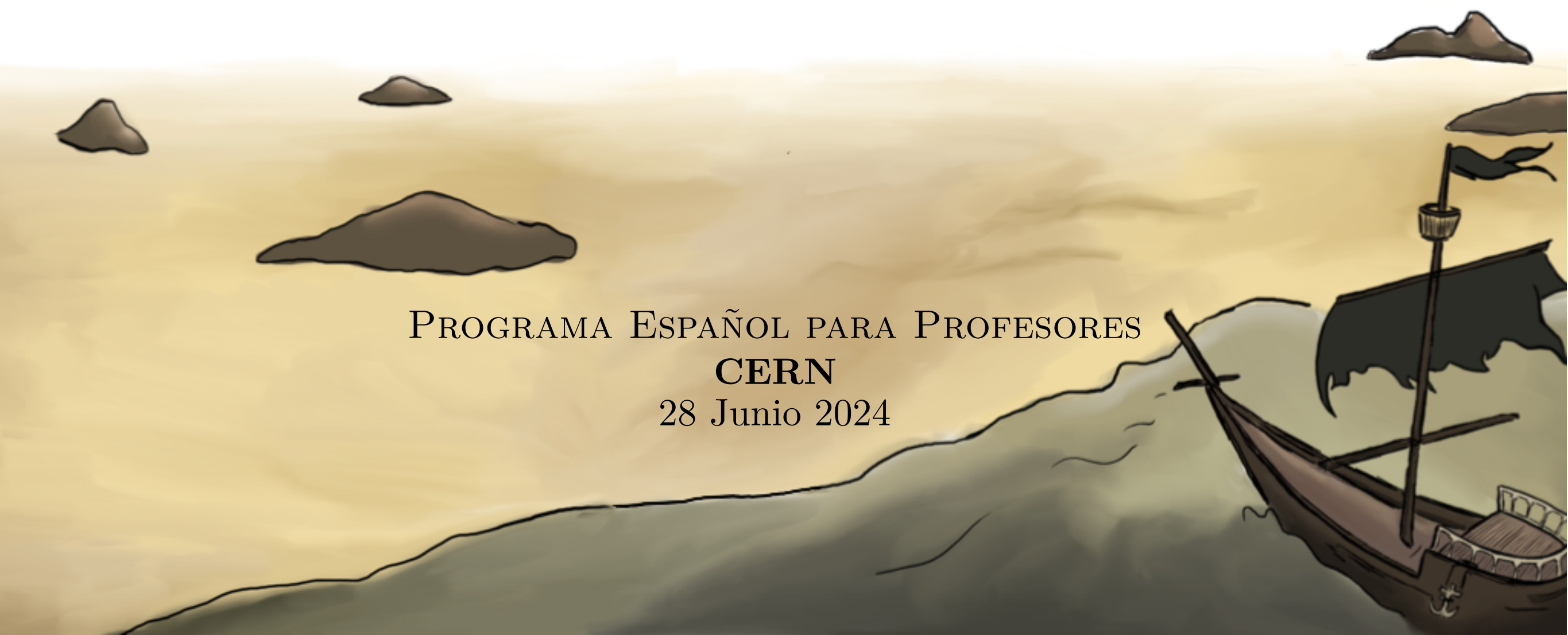




Física más allá del Modelo Estándar

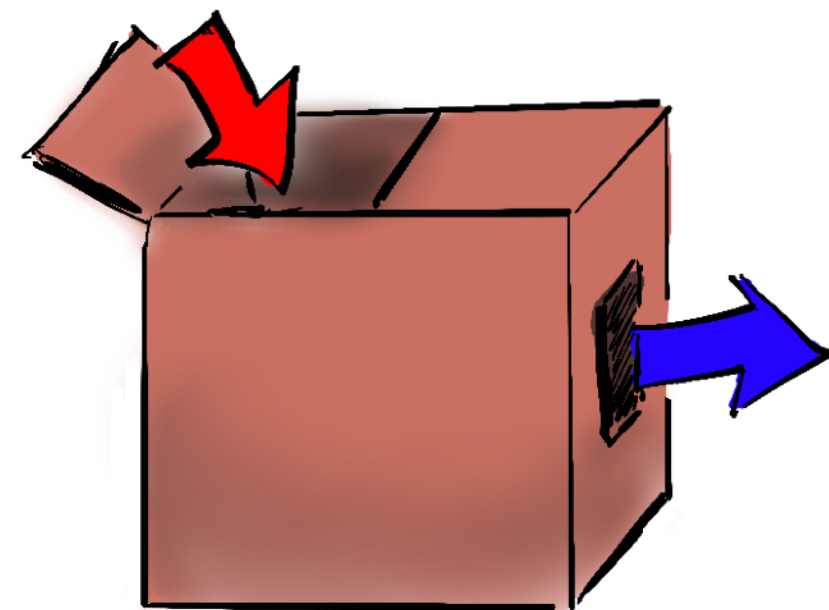
Clara Murgui (UAB/IFAE/CERN)

PROGRAMA ESPAÑOL PARA PROFESORES
CERN
28 Junio 2024



El Modelo Estándar (recap)

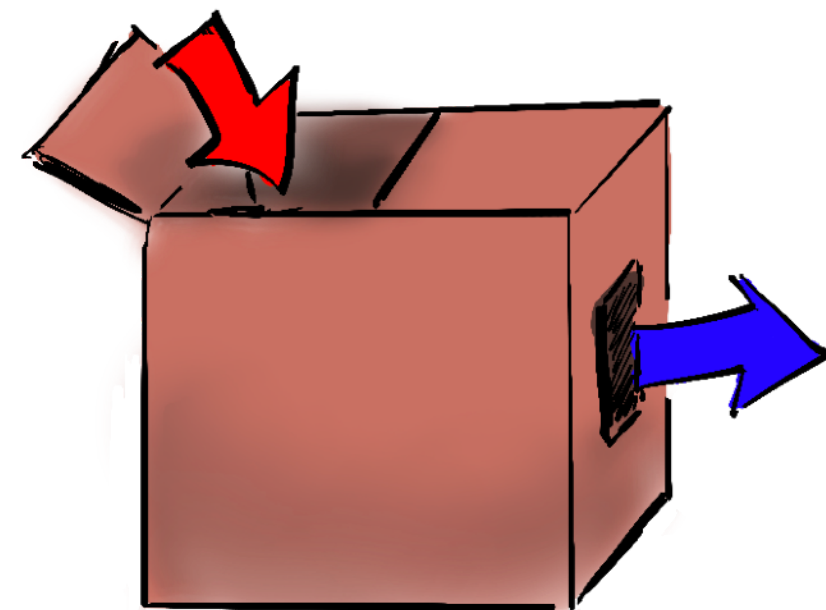
(experimento) INPUTS



OUTPUTS
(también experimento)

El Modelo Estándar (recap)

(experimento) INPUTS

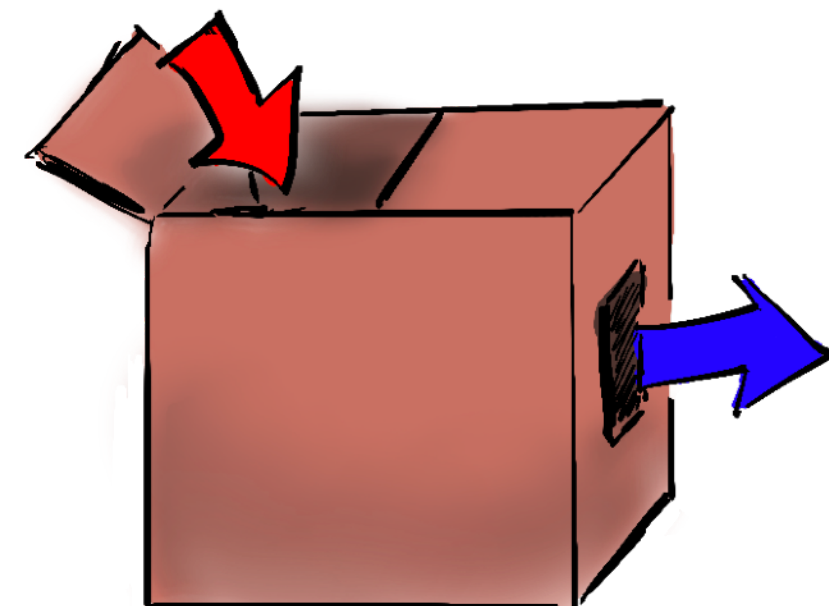


OUTPUTS
(también experimento)

(teoricos) “BONITA” , “SIMPLE”...

El Modelo Estándar (recap)

(experimento) INPUTS



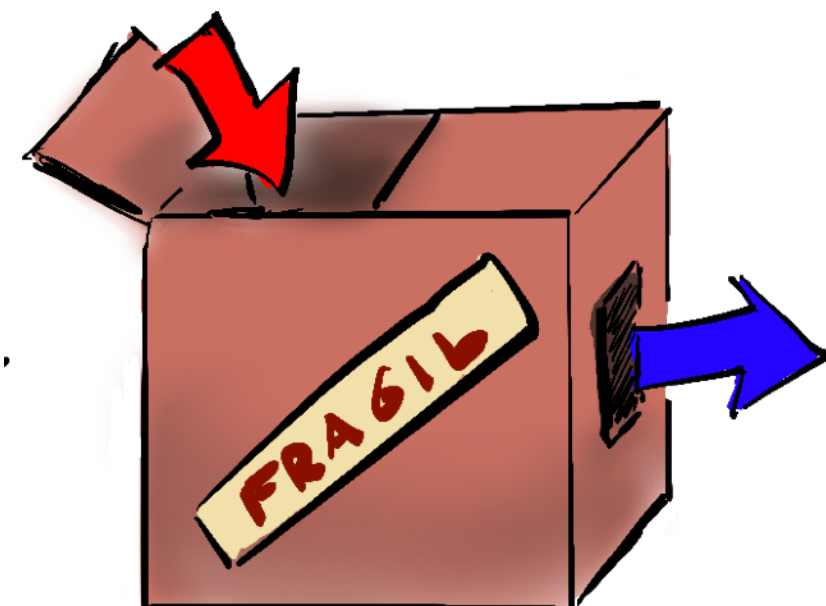
OUTPUTS
(también experimento)

(teoricos) “BONITA” , “SIMPLE”... ≡ POTENTE

$$\frac{\text{INPUTS}}{\text{OUTPUTS}} \ll 1$$

El Modelo Estándar (recap)

(experimento) INPUTS



OUTPUTS
(también experimento)



(teoricos) “BONITA” , “SIMPLE”... ≡ POTENTE

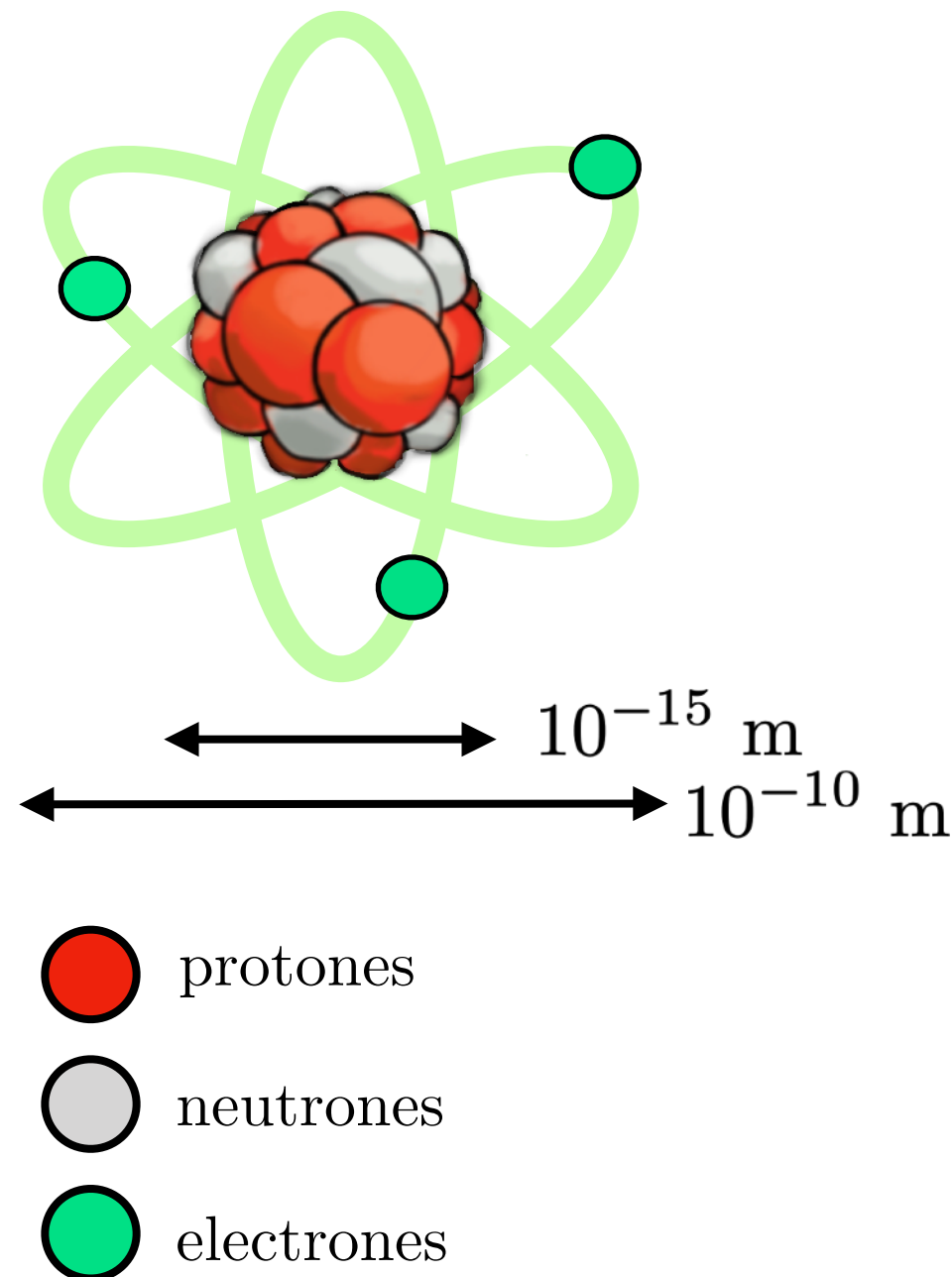
$$\frac{\text{INPUTS}}{\text{OUTPUTS}} \ll 1$$

El Modelo Estándar (recap)

09:15

El Modelo estándar y la física fundamental (I)

Speaker: Miguel Escudero Abenza (CERN)

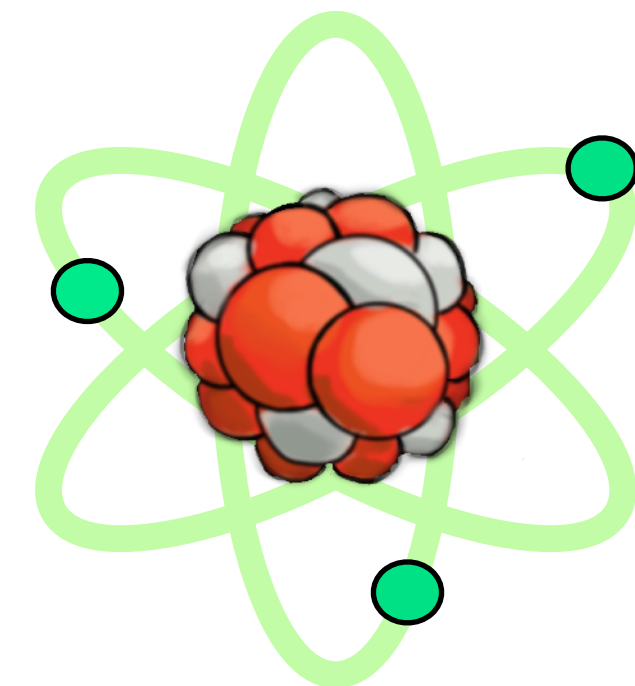


El Modelo Estándar (recap)

09:15

El Modelo estándar y la física fundamental (I)

Speaker: Miguel Escudero Abenza (CERN)



Niels Bohr
1913

↔ 10^{-15} m ↔ 10^{-10} m

● protones

○ neutrones

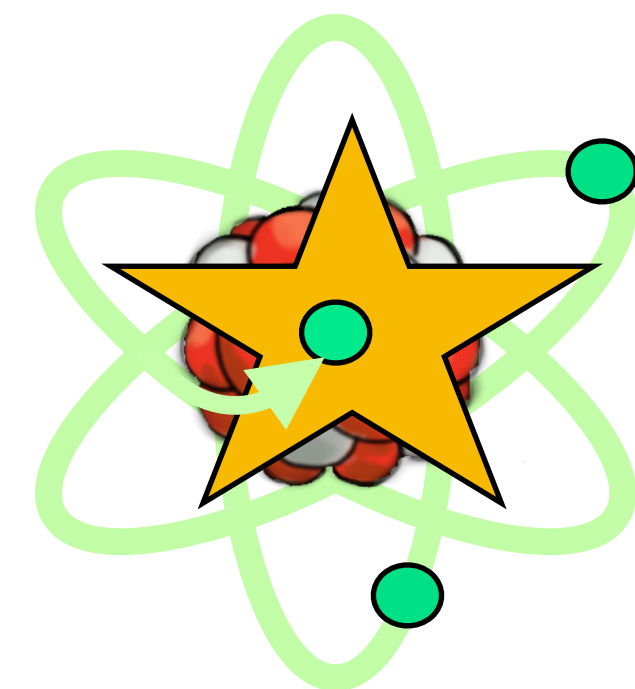
● electrones

El Modelo Estándar (recap)

09:15

El Modelo estándar y la física fundamental (I)

Speaker: Miguel Escudero Abenza (CERN)



Niels Bohr
1913

↔ 10^{-15} m ↔ 10^{-10} m

● protones

○ neutrones

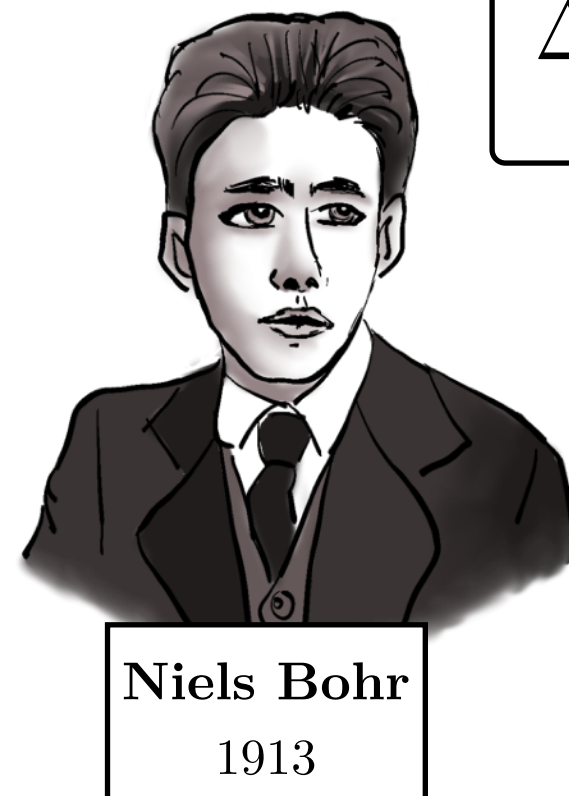
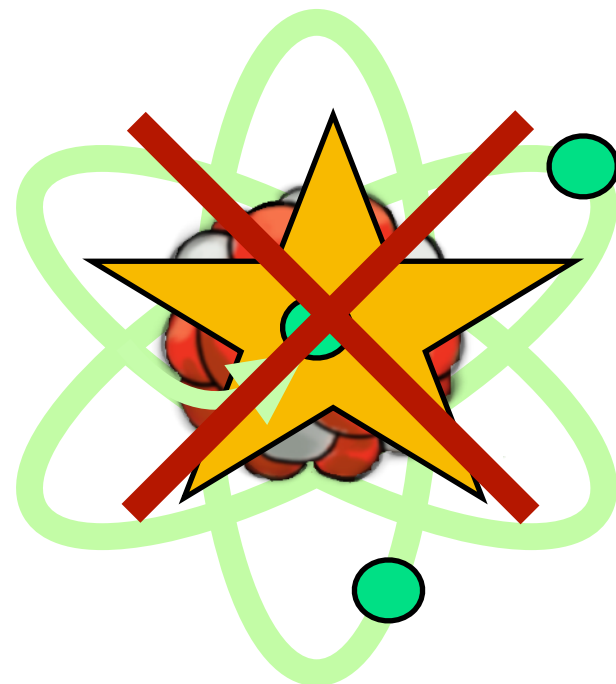
● electrones

El Modelo Estándar (recap)

09:15

El Modelo est醕ar y la f韒ica fundamental (I)

Speaker: Miguel Escudero Abenza (CERN)

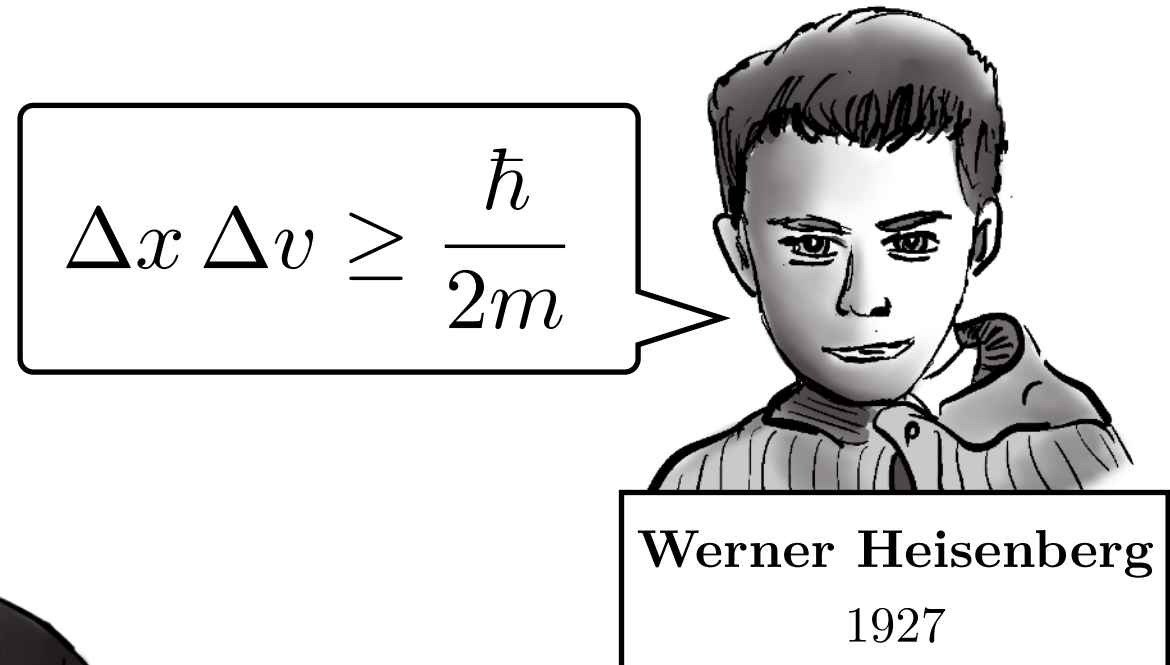


↔ 10^{-15} m ↔ 10^{-10} m

● protones

○ neutrones

● electrones

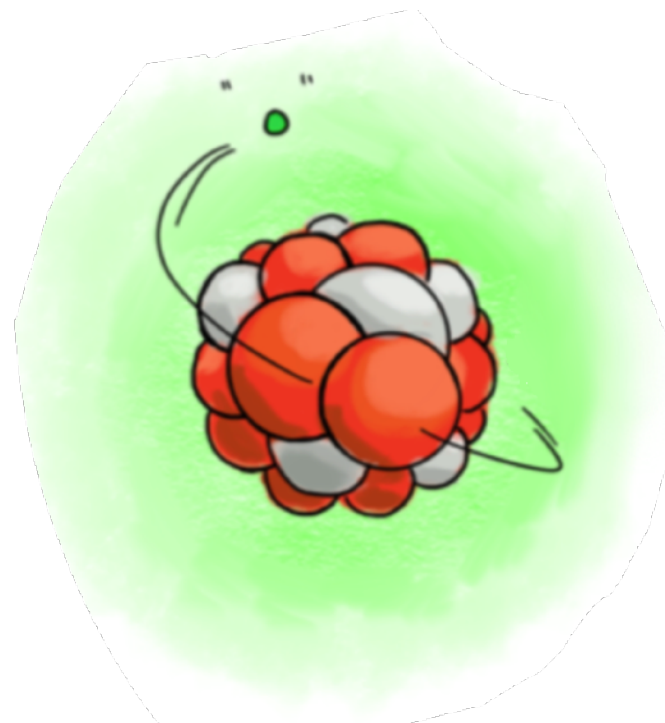


El Modelo Estándar (recap)

09:15

El Modelo estándar y la física fundamental (I)

Speaker: Miguel Escudero Abenza (CERN)



↔ 10^{-15} m ↔ 10^{-10} m



● protones

○ neutrones

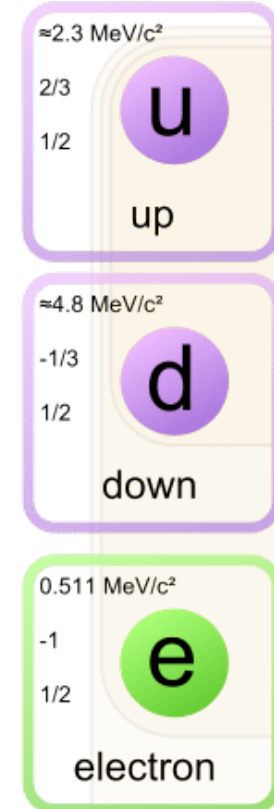
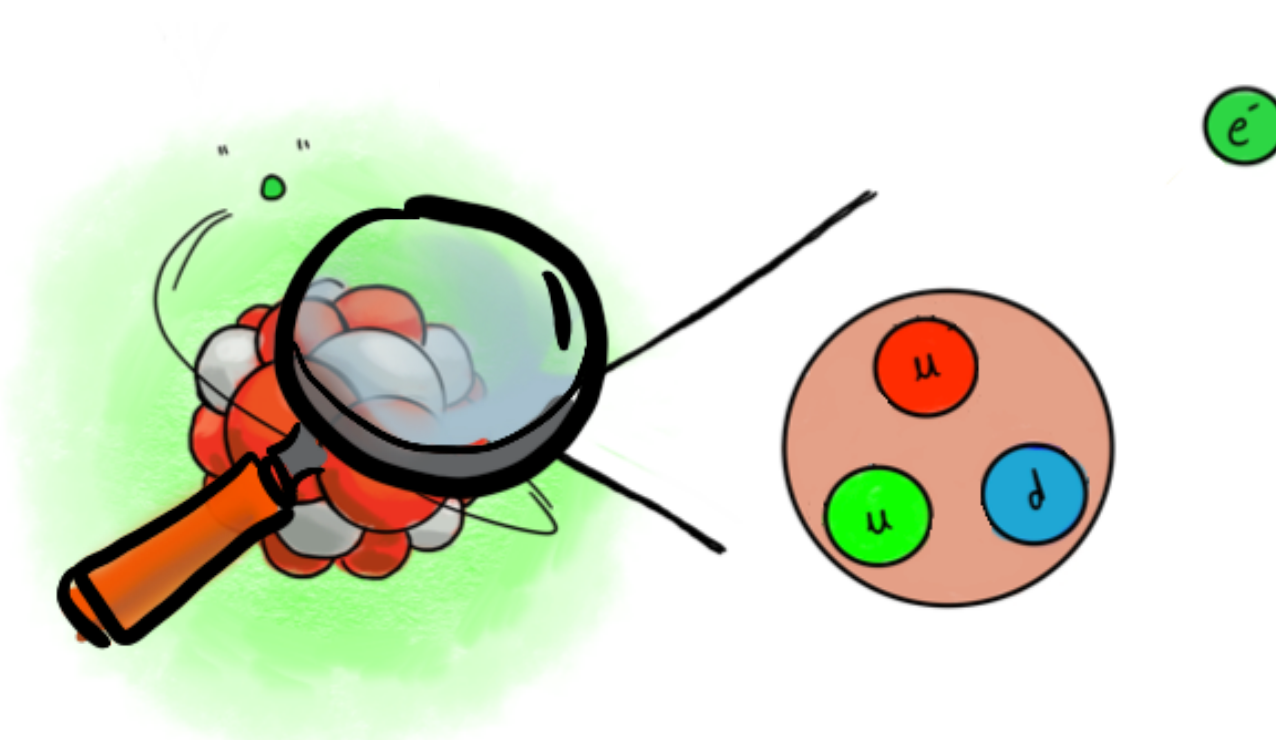
● electrones

El Modelo Estándar (recap)

09:15

El Modelo est\'andar y la f\'isica fundamental (I)

Speaker: Miguel Escudero Abenza (CERN)



$$\begin{array}{c} \longleftrightarrow 10^{-15} \text{ m} \\ \longleftrightarrow 10^{-10} \text{ m} \end{array}$$

protones

neutrones

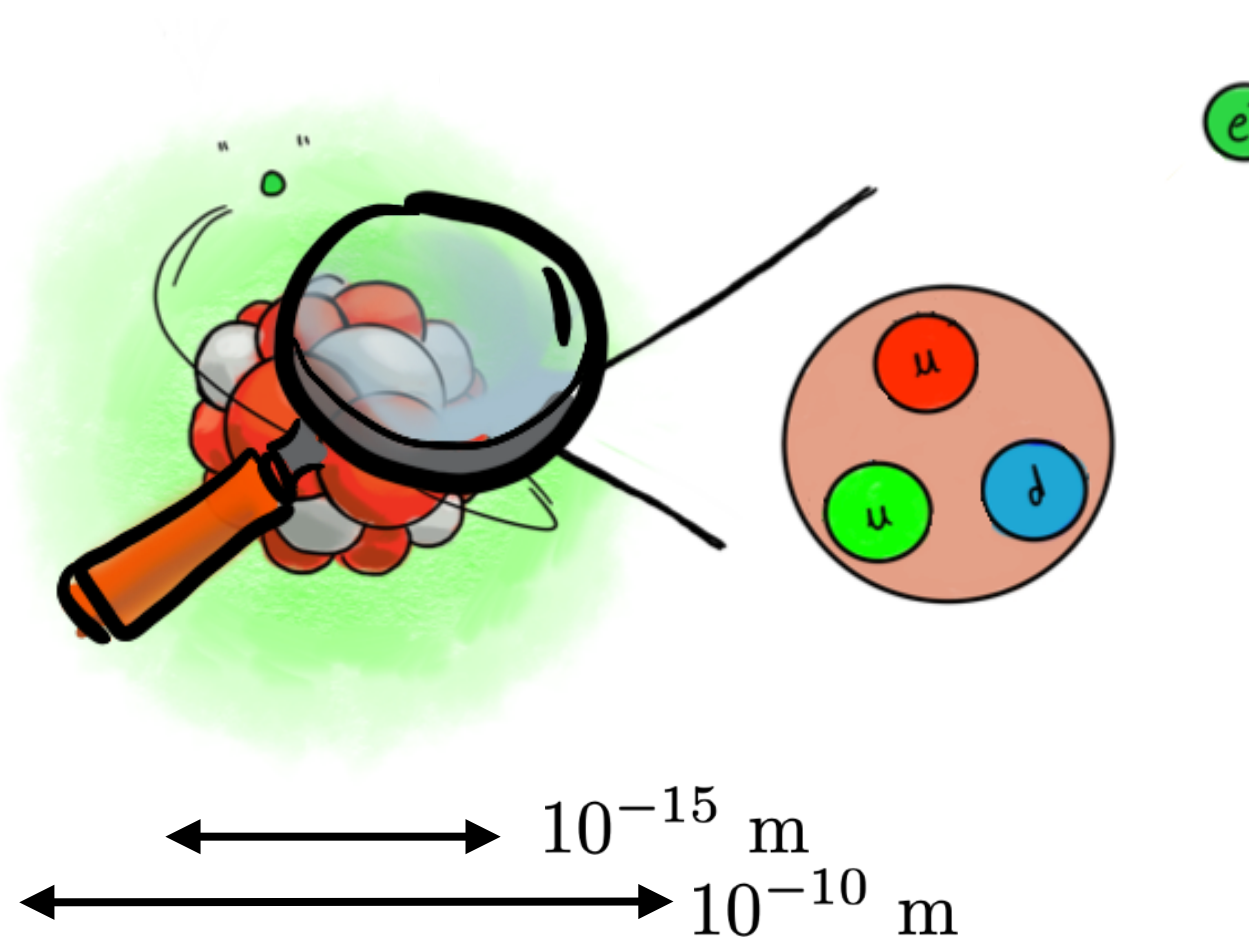
electrones

El Modelo Estándar (recap)

09:15

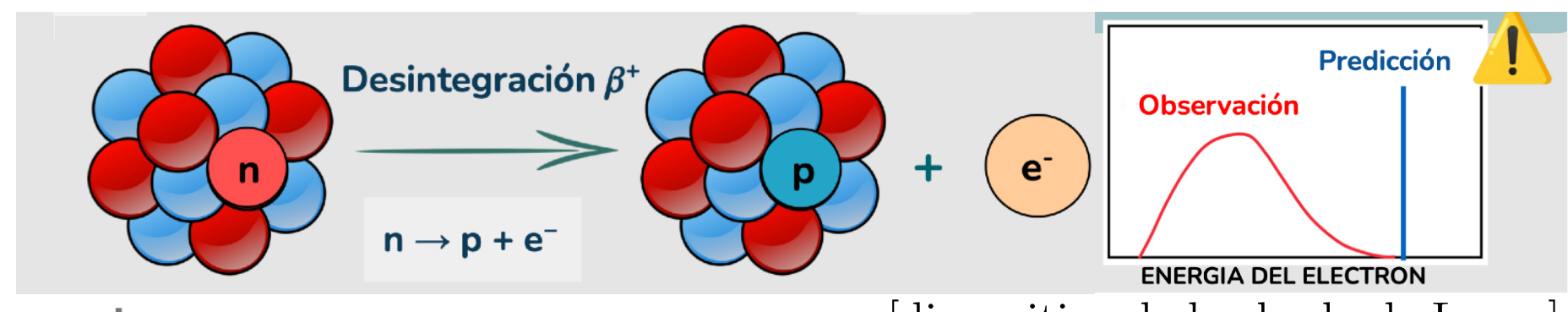
El Modelo estándar y la física fundamental (I)

Speaker: Miguel Escudero Abenza (CERN)



$\approx 2.3 \text{ MeV}/c^2$
2/3
1/2
u
up
$\approx 4.8 \text{ MeV}/c^2$
-1/3
1/2
d
down
$0.511 \text{ MeV}/c^2$
-1
1/2
e
electron
$<2.2 \text{ eV}/c^2$
0
1/2
ν_e
electron neutrino

- protones
- neutrones
- electrones



08:30

Neutrinos

[diapositiva de la charla de Laura]

Speaker: Laura Perez Molina (CIEMAT - Centro de Investigaciones Energéticas Medioambientales y Tec. (ES))

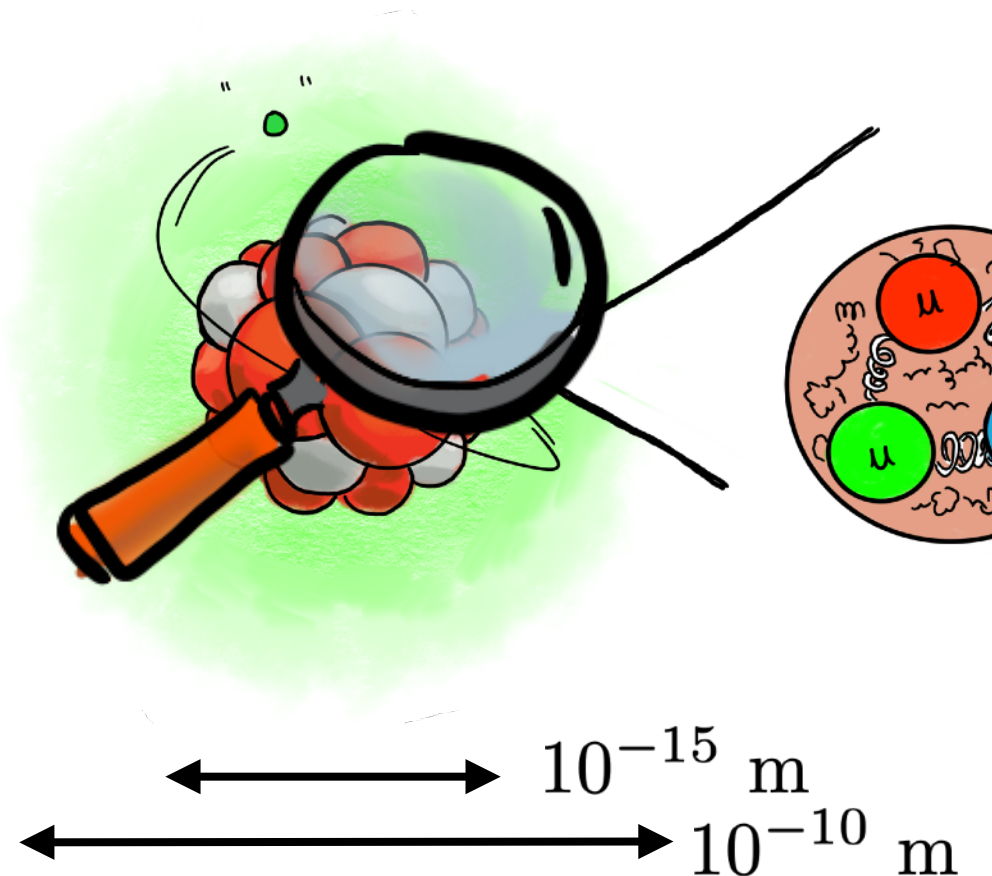
El Modelo Estándar (recap)

$$SU(3) \otimes SU(2) \otimes U(1)_Y$$

09:15

El Modelo estándar y la física fundamental (I)

Speaker: Miguel Escudero Abenza (CERN)



● protones

○ neutrones

● electrones

$\approx 2.3 \text{ MeV}/c^2$
2/3
1/2
U
up

$\approx 4.8 \text{ MeV}/c^2$
-1/3
1/2
D
down

$0.511 \text{ MeV}/c^2$
-1
1/2
e
electron

$<2.2 \text{ eV}/c^2$
0
1/2
ν_e
electron neutrino

0
0
1
g
gluon

0
0
1
γ
photon

91.2 GeV/c ²
0
1
Z
Z boson

80.4 GeV/c ²
±1
1
W
W boson

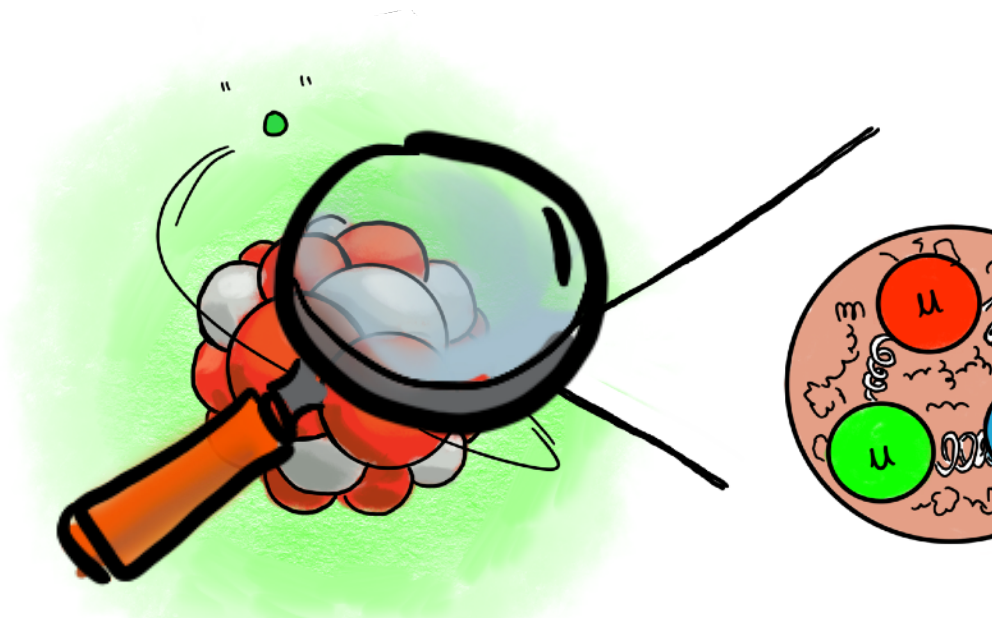
El Modelo Estándar (recap)

$$SU(3) \otimes SU(2) \otimes U(1)_Y$$

09:15

El Modelo estándar y la física fundamental (I)

Speaker: Miguel Escudero Abenza (CERN)



10^{-15} m 10^{-10} m

- protones
- neutrones
- electrones

$\approx 2.3 \text{ MeV}/c^2$
2/3
1/2
u
up

$\approx 4.8 \text{ MeV}/c^2$
-1/3
1/2
d
down

$0.511 \text{ MeV}/c^2$
-1
1/2
e
electron

$<2.2 \text{ eV}/c^2$
0
1/2
$\bar{\nu}_e$
electron neutrino

0
0
1
g
gluon

0
0
1
γ
photon

0
1
Z
Z boson

80.4 GeV/ c^2
± 1
1
W
W boson

$$\mathcal{L} = -\frac{1}{4} F_{\mu\nu} F^{\mu\nu} + i \bar{\psi} \not{D} \psi$$

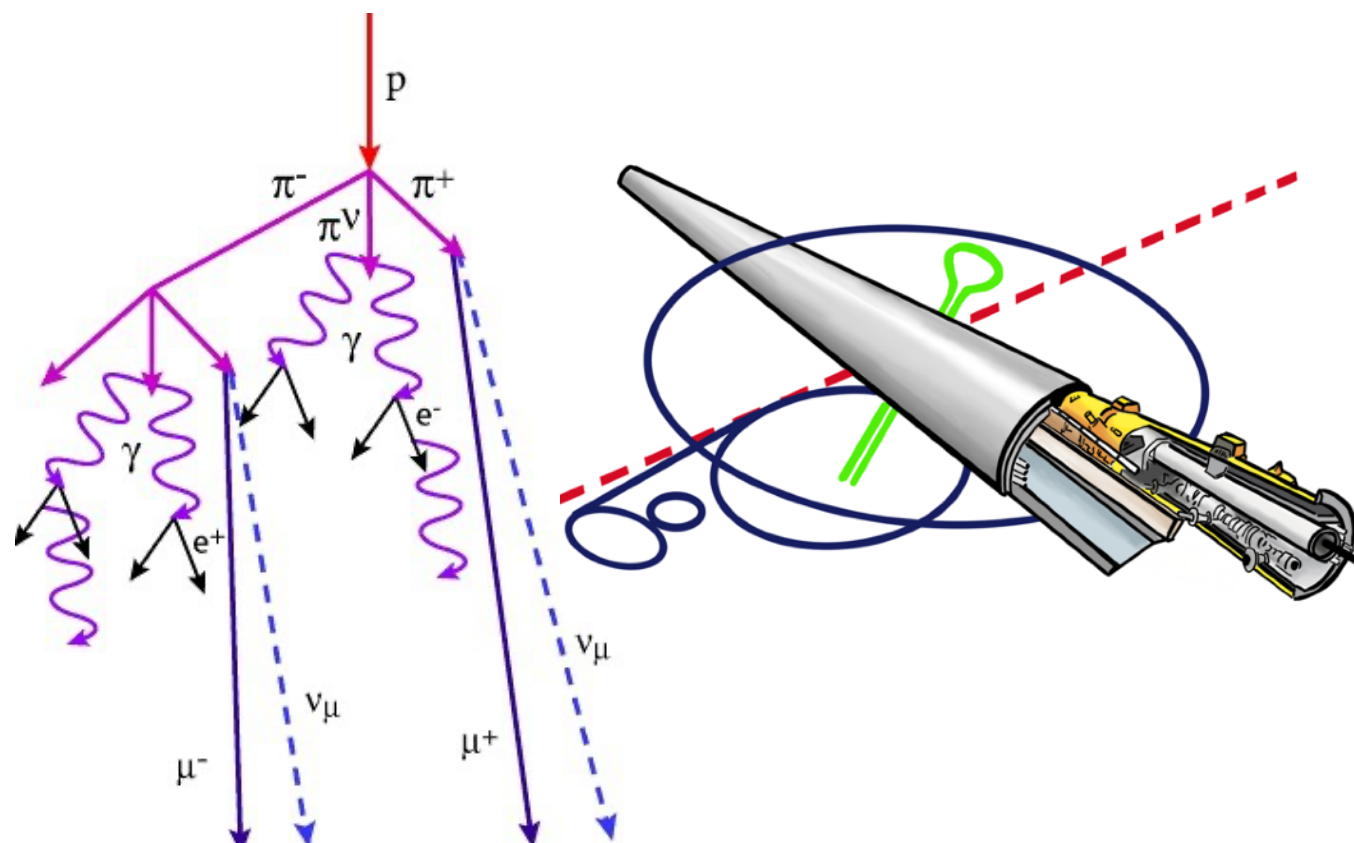
El Modelo Estándar (recap)

$$SU(3) \otimes SU(2) \otimes U(1)_Y$$

09:15

El Modelo estándar y la física fundamental (I)

Speaker: Miguel Escudero Abenza (CERN)



$\approx 2.3 \text{ MeV}/c^2$ 2/3 1/2 up u	$\approx 1.275 \text{ GeV}/c^2$ 2/3 1/2 charm c	$\approx 173.07 \text{ GeV}/c^2$ 2/3 1/2 top t	0 0 1 gluon g
$\approx 4.8 \text{ MeV}/c^2$ -1/3 1/2 down d	$\approx 95 \text{ MeV}/c^2$ -1/3 1/2 strange s	$\approx 4.18 \text{ GeV}/c^2$ -1/3 1/2 bottom b	0 0 1 photon \gamma
$0.511 \text{ MeV}/c^2$ -1 1/2 electron e	$105.7 \text{ MeV}/c^2$ -1 1/2 muon \mu	$1.777 \text{ GeV}/c^2$ -1 1/2 tau \tau	$91.2 \text{ GeV}/c^2$ 0 1 Z boson Z
$<2.2 \text{ eV}/c^2$ 0 1/2 ν_e electron neutrino \nu_e	$<0.17 \text{ MeV}/c^2$ 0 1/2 ν_μ muon neutrino \nu_\mu	$<15.5 \text{ MeV}/c^2$ 0 1/2 ν_τ tau neutrino \nu_\tau	$80.4 \text{ GeV}/c^2$ ±1 1 W boson W

masa

$$\mathcal{L} = -\frac{1}{4} F_{\mu\nu} F^{\mu\nu} + i \bar{\psi} \not{D} \psi$$

El Modelo Estándar (recap)

$$SU(3) \otimes SU(2) \otimes U(1)_Y$$

17:30

Special lecture: El mecanismo de Higgs, pero en serio

Speaker: Alvaro De Rujula (Universidad Autonoma de Madrid (ES))

$\approx 2.3 \text{ MeV}/c^2$ 2/3 1/2 up u	$\approx 1.275 \text{ GeV}/c^2$ 2/3 1/2 charm c	$\approx 173.07 \text{ GeV}/c^2$ 2/3 1/2 top t	0 0 1 gluon g
$\approx 4.8 \text{ MeV}/c^2$ -1/3 1/2 down d	$\approx 95 \text{ MeV}/c^2$ -1/3 1/2 strange s	$\approx 4.18 \text{ GeV}/c^2$ -1/3 1/2 bottom b	0 0 1 photon γ
$0.511 \text{ MeV}/c^2$ -1 1/2 electron e	$105.7 \text{ MeV}/c^2$ -1 1/2 muon μ	$1.777 \text{ GeV}/c^2$ -1 1/2 tau τ	$91.2 \text{ GeV}/c^2$ 0 1 Z boson Z
$<2.2 \text{ eV}/c^2$ 0 1/2 electron neutrino ν_e	$<0.17 \text{ MeV}/c^2$ 0 1/2 muon neutrino ν_μ	$<15.5 \text{ MeV}/c^2$ 0 1/2 tau neutrino ν_τ	$80.4 \text{ GeV}/c^2$ ±1 1 W boson W
masa			$\approx 126 \text{ GeV}/c^2$ 0 0 Higgs boson H

$$\mathcal{L} = -\frac{1}{4} F_{\mu\nu} F^{\mu\nu} + i \bar{\psi} \not{D} \psi$$

$$+ \bar{\psi}_i \gamma_{ij} \psi_j \phi + h.c.$$

El Modelo Estándar (recap)

$$SU(3) \otimes SU(2) \otimes U(1)_Y$$

17:30

Special lecture: El mecanismo de Higgs, pero en serio

Speaker: Alvaro De Rujula (Universidad Autonoma de Madrid (ES))

e.g. $\underbrace{(\bar{e}_L^i \quad \bar{\nu}_L^i)}_{\bar{L}_L^i} y_{ij} \begin{pmatrix} 0 \\ H_0 \end{pmatrix} e_R^j + \text{h.c.}$

$\approx 2.3 \text{ MeV}/c^2$ 2/3 1/2 up u	$\approx 1.275 \text{ GeV}/c^2$ 2/3 1/2 charm c	$\approx 173.07 \text{ GeV}/c^2$ 2/3 1/2 top t	0 0 1 gluon g
$\approx 4.8 \text{ MeV}/c^2$ -1/3 1/2 down d	$\approx 95 \text{ MeV}/c^2$ -1/3 1/2 strange s	$\approx 4.18 \text{ GeV}/c^2$ -1/3 1/2 bottom b	0 0 1 photon γ
$0.511 \text{ MeV}/c^2$ -1 1/2 electron e	$105.7 \text{ MeV}/c^2$ -1 1/2 muon μ	$1.777 \text{ GeV}/c^2$ -1 1/2 tau τ	$91.2 \text{ GeV}/c^2$ 0 1 Z boson Z
$<2.2 \text{ eV}/c^2$ 0 1/2 electron neutrino ν_e	$<0.17 \text{ MeV}/c^2$ 0 1/2 muon neutrino ν_μ	$<15.5 \text{ MeV}/c^2$ 0 1/2 tau neutrino ν_τ	$80.4 \text{ GeV}/c^2$ ±1 1 W boson W
masa			$\approx 126 \text{ GeV}/c^2$ 0 0 Higgs boson H

$$\mathcal{L} = -\frac{1}{4} F_{\mu\nu} F^{\mu\nu} + i \bar{\psi} \gamma^\mu \psi$$

$$+ \bar{\psi}_i y_{ij} \psi_j \phi + \text{h. c.}$$

El Modelo Estándar (recap)

$$SU(3) \otimes SU(2) \otimes U(1)_Y$$

17:30

Special lecture: El mecanismo de Higgs, pero en serio

Speaker: Alvaro De Rujula (Universidad Autonoma de Madrid (ES))

$$\text{e.g. } \underbrace{\begin{pmatrix} \bar{e}_L^i & \bar{\nu}_L^i \end{pmatrix}}_{\bar{L}_L^i} y_{ij} \begin{pmatrix} 0 \\ H_0 \end{pmatrix} e_R^j + \text{h.c.}$$

$$= \bar{e}_L^i y_{ij} H_0 e_R^j + \text{h.c.}$$

$\approx 2.3 \text{ MeV}/c^2$ 2/3 1/2 up u	$\approx 1.275 \text{ GeV}/c^2$ 2/3 1/2 charm c	$\approx 173.07 \text{ GeV}/c^2$ 2/3 1/2 top t	0 0 1 gluon g
$\approx 4.8 \text{ MeV}/c^2$ -1/3 1/2 down d	$\approx 95 \text{ MeV}/c^2$ -1/3 1/2 strange s	$\approx 4.18 \text{ GeV}/c^2$ -1/3 1/2 bottom b	0 0 1 photon \gamma
$0.511 \text{ MeV}/c^2$ -1 1/2 electron e	$105.7 \text{ MeV}/c^2$ -1 1/2 muon \mu	$1.777 \text{ GeV}/c^2$ -1 1/2 tau \tau	$91.2 \text{ GeV}/c^2$ 0 1 Z boson Z
$<2.2 \text{ eV}/c^2$ 0 1/2 electron neutrino \nu_e	$<0.17 \text{ MeV}/c^2$ 0 1/2 muon neutrino \nu_\mu	$<15.5 \text{ MeV}/c^2$ 0 1/2 tau neutrino \nu_\tau	$80.4 \text{ GeV}/c^2$ ±1 1 W boson W
masa			$\approx 126 \text{ GeV}/c^2$ 0 0 Higgs boson H

$$\mathcal{L} = -\frac{1}{4} F_{\mu\nu} F^{\mu\nu} + i \bar{\psi} \not{D} \psi$$

$$+ \bar{\psi}_i y_{ij} \psi_j \phi + \text{h. c.}$$

El Modelo Estándar (recap)

$$SU(3) \otimes SU(2) \otimes U(1)_Y$$

17:30

Special lecture: El mecanismo de Higgs, pero en serio

Speaker: Alvaro De Rujula (Universidad Autonoma de Madrid (ES))

$$\text{e.g. } \underbrace{\left(\bar{e}_L^i \quad \bar{\nu}_L^i\right)}_{\bar{L}_L^i} y_{ij} \begin{pmatrix} 0 \\ H_0 \end{pmatrix} e_R^j + \text{h.c.}$$

$$= \bar{e}_L^i y_{ij} H_0 e_R^j + \text{h.c.}$$

$\approx 2.3 \text{ MeV}/c^2$ 2/3 1/2 u up	$\approx 1.275 \text{ GeV}/c^2$ 2/3 1/2 c charm	$\approx 173.07 \text{ GeV}/c^2$ 2/3 1/2 t top	0 0 g gluon
$\approx 4.8 \text{ MeV}/c^2$ -1/3 1/2 d down	$\approx 95 \text{ MeV}/c^2$ -1/3 1/2 s strange	$\approx 4.18 \text{ GeV}/c^2$ -1/3 1/2 b bottom	0 0 γ photon
$0.511 \text{ MeV}/c^2$ -1 1/2 e electron	$105.7 \text{ MeV}/c^2$ -1 1/2 μ muon	$1.777 \text{ GeV}/c^2$ -1 1/2 τ tau	$91.2 \text{ GeV}/c^2$ 0 1 Z Z boson
$<2.2 \text{ eV}/c^2$ 0 1/2 ν_e electron neutrino	$<0.17 \text{ MeV}/c^2$ 0 1/2 ν_μ muon neutrino	$<15.5 \text{ MeV}/c^2$ 0 1/2 ν_τ tau neutrino	$80.4 \text{ GeV}/c^2$ ±1 1 W W boson
masa			$\approx 126 \text{ GeV}/c^2$ 0 0 H Higgs boson

$$\mathcal{L} = -\frac{1}{4} F_{\mu\nu} F^{\mu\nu} + i \bar{\psi} \not{D} \psi$$

$$+ \bar{\psi}_i y_{ij} \psi_j \phi + \text{h. c.}$$

El Modelo Estándar (recap)

$$SU(3) \otimes SU(2) \otimes U(1)_Y$$

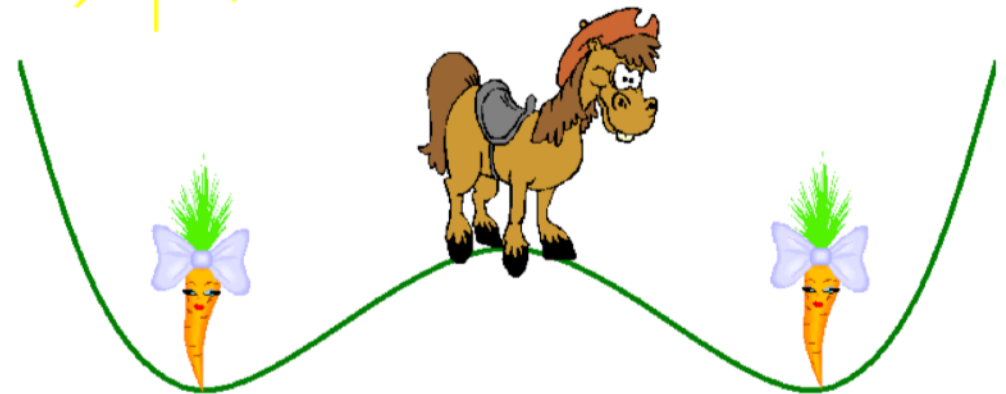
17:30

Special lecture: El mecanismo de Higgs, pero en serio

Speaker: Alvaro De Rujula (Universidad Autonoma de Madrid (ES))

e.g. $\underbrace{(\bar{e}_L^i \quad \bar{\nu}_L^i)}_{\bar{L}_L^i} y_{ij} \begin{pmatrix} 0 \\ H_0 \end{pmatrix} e_R^j + \text{h.c.}$

 $= \bar{e}_L^i y_{ij} (h_0 + 0) e_R^j + \text{h.c.}$



@Toni Pich
“Nicolás”

$$\mathcal{L} = -\frac{1}{4} F_{\mu\nu} F^{\mu\nu} + i \bar{\psi} \not{D} \psi$$

$$+ \bar{\psi}_i y_{ij} \psi_j \phi + \text{h.c.} + \frac{1}{2} D_\mu \phi l^2 - V(\phi)$$

$\approx 2.3 \text{ MeV}/c^2$ 2/3 1/2 up U	$\approx 1.275 \text{ GeV}/c^2$ 2/3 1/2 charm C	$\approx 173.07 \text{ GeV}/c^2$ 2/3 1/2 top t	0 0 1 gluon g
$\approx 4.8 \text{ MeV}/c^2$ -1/3 1/2 down d	$\approx 95 \text{ MeV}/c^2$ -1/3 1/2 strange s	$\approx 4.18 \text{ GeV}/c^2$ -1/3 1/2 bottom b	0 0 1 photon \gamma
$0.511 \text{ MeV}/c^2$ -1 1/2 electron e	$105.7 \text{ MeV}/c^2$ -1 1/2 muon \mu	$1.777 \text{ GeV}/c^2$ -1 1/2 tau \tau	$91.2 \text{ GeV}/c^2$ 0 1 Z boson Z
$<2.2 \text{ eV}/c^2$ 0 1/2 electron neutrino \nu_e	$<0.17 \text{ MeV}/c^2$ 0 1/2 muon neutrino \nu_\mu	$<15.5 \text{ MeV}/c^2$ 0 1/2 tau neutrino \nu_\tau	$80.4 \text{ GeV}/c^2$ ±1 1 W boson W
masa	masa	masa	masa
Higgs boson H	Higgs boson H	Higgs boson H	Higgs boson H

El Modelo Estándar (recap)

$$SU(3) \otimes SU(2) \otimes U(1)_Y$$

17:30

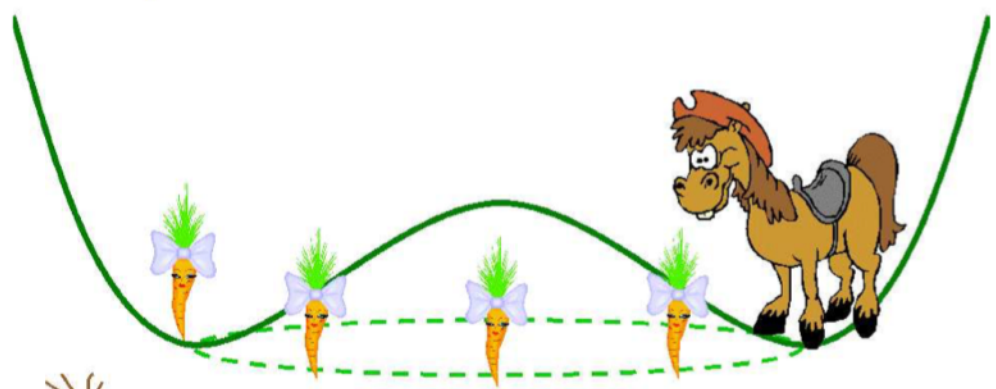
Special lecture: El mecanismo de Higgs, pero en serio

Speaker: Alvaro De Rujula (Universidad Autonoma de Madrid (ES))

e.g. $\underbrace{(\bar{e}_L^i \quad \bar{\nu}_L^i)}_{\bar{L}_L^i} y_{ij} \begin{pmatrix} 0 \\ H_0 \end{pmatrix} e_R^j + \text{h.c.}$



$$= \bar{e}_L^i y_{ij} (h_0 + v) e_R^j + \text{h.c.}$$



@Toni Pich
“Nicolás”

$$\mathcal{L} = -\frac{1}{4} F_{\mu\nu} F^{\mu\nu} + i \bar{\psi} \not{D} \psi$$

$$+ \bar{\psi}_i y_{ij} \psi_j \phi + \text{h. c.} + D_\mu \phi l^2 - V(\phi)$$

$\approx 2.3 \text{ MeV}/c^2$ 2/3 1/2 up U	$\approx 1.275 \text{ GeV}/c^2$ 2/3 1/2 charm C	$\approx 173.07 \text{ GeV}/c^2$ 2/3 1/2 top t	0 0 1 gluon g
$\approx 4.8 \text{ MeV}/c^2$ -1/3 1/2 down d	$\approx 95 \text{ MeV}/c^2$ -1/3 1/2 strange s	$\approx 4.18 \text{ GeV}/c^2$ -1/3 1/2 bottom b	0 0 1 photon \gamma
$0.511 \text{ MeV}/c^2$ -1 1/2 electron e	$105.7 \text{ MeV}/c^2$ -1 1/2 muon \mu	$1.777 \text{ GeV}/c^2$ -1 1/2 tau \tau	$91.2 \text{ GeV}/c^2$ 0 1 Z boson Z
$<2.2 \text{ eV}/c^2$ 0 1/2 electron neutrino \nu_e	$<0.17 \text{ MeV}/c^2$ 0 1/2 muon neutrino \nu_\mu	$<15.5 \text{ MeV}/c^2$ 0 1/2 tau neutrino \nu_\tau	$80.4 \text{ GeV}/c^2$ ±1 1 W boson W
			$\approx 126 \text{ GeV}/c^2$ 0 0 Higgs boson H

masa \rightarrow

El Modelo Estándar (recap)

$$SU(3) \otimes SU(2) \otimes U(1)_Y$$

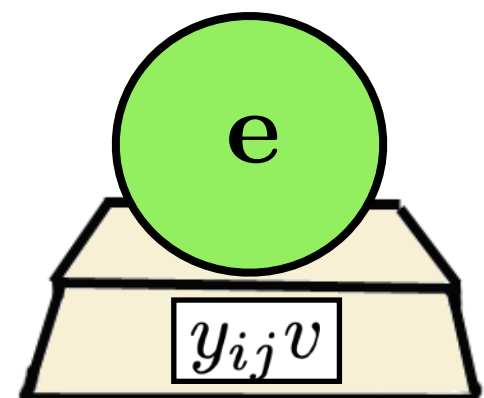
17:30

Special lecture: El mecanismo de Higgs, pero en serio

Speaker: Alvaro De Rujula (Universidad Autonoma de Madrid (ES))

$$\text{e.g. } \underbrace{\begin{pmatrix} \bar{e}_L^i & \bar{\nu}_L^i \end{pmatrix}}_{\bar{L}_L^i} y_{ij} \begin{pmatrix} 0 \\ H_0 \end{pmatrix} e_R^j + \text{h.c.}$$

$$= \bar{e}_L^i y_{ij} (h_0 + v) e_R^j + \text{h.c.}$$



$\approx 2.3 \text{ MeV}/c^2$ 2/3 1/2 up u	$\approx 1.275 \text{ GeV}/c^2$ 2/3 1/2 charm c	$\approx 173.07 \text{ GeV}/c^2$ 2/3 1/2 top t	0 0 1 gluon g
$\approx 4.8 \text{ MeV}/c^2$ -1/3 1/2 down d	$\approx 95 \text{ MeV}/c^2$ -1/3 1/2 strange s	$\approx 4.18 \text{ GeV}/c^2$ -1/3 1/2 bottom b	0 0 1 photon \gamma
$0.511 \text{ MeV}/c^2$ -1 1/2 electron e	$105.7 \text{ MeV}/c^2$ -1 1/2 muon \mu	$1.777 \text{ GeV}/c^2$ -1 1/2 tau \tau	$91.2 \text{ GeV}/c^2$ 0 1 Z boson Z
$<2.2 \text{ eV}/c^2$ 0 1/2 electron neutrino \nu_e	$<0.17 \text{ MeV}/c^2$ 0 1/2 muon neutrino \nu_\mu	$<15.5 \text{ MeV}/c^2$ 0 1/2 tau neutrino \nu_\tau	$80.4 \text{ GeV}/c^2$ ±1 1 W boson W
\rightarrow masa			$\approx 126 \text{ GeV}/c^2$ 0 0 Higgs boson H

$$\mathcal{L} = -\frac{1}{4} F_{\mu\nu} F^{\mu\nu} + i \bar{\psi} \not{D} \psi$$

$$+ \bar{\psi}_i y_{ij} \psi_j \phi + \text{h. c.} + \frac{1}{2} D_\mu \phi l^2 - V(\phi)$$

El Modelo Estándar (recap)

$$\text{SU}(3) \otimes \text{SU}(2) \otimes \text{U}(1)_Y$$

2013



Descubrimiento del bosón de Higgs - 4 Julio 2012

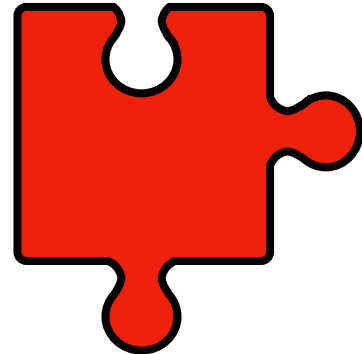
El Modelo Estándar (recap)

$$\text{SU}(3) \otimes \text{SU}(2) \otimes \text{U}(1)_Y$$

La última pieza del puzzle deja muchos otros puzzles por resolver...



El puzzle de los neutrinos solares



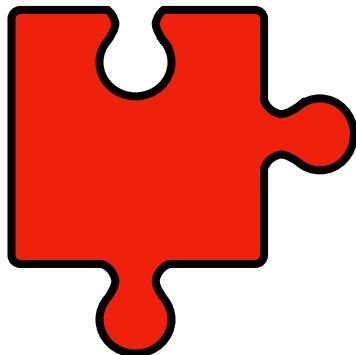
08:30

Neutrinos

Speaker: Laura Perez Molina (CIEMAT - Centro de Investigaciones Energéticas Medioambientales y Tec. (ES))

El puzzle de los neutrinos solares

$$SU(3) \otimes SU(2) \otimes U(1)_Y$$



e.g. $\underbrace{(\bar{e}_L^i \quad \bar{\nu}_L^i)}_{\bar{L}_L^i} y_{ij} \begin{pmatrix} 0 \\ H_0 \end{pmatrix} e_R^j + \text{h.c.}$

$$= \bar{e}_L^i y_{ij} (h_0 + v) e_R^j + \text{h.c.}$$

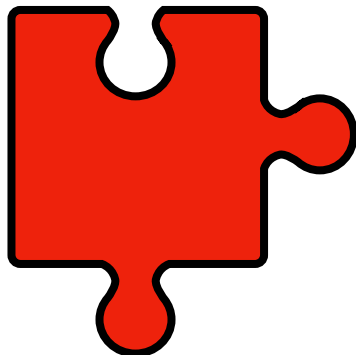
$\approx 2.3 \text{ MeV}/c^2$ 2/3 1/2 up u	$\approx 1.275 \text{ GeV}/c^2$ 2/3 1/2 charm c	$\approx 173.07 \text{ GeV}/c^2$ 2/3 1/2 top t	0 0 1 gluon g
$\approx 4.8 \text{ MeV}/c^2$ -1/3 1/2 down d	$\approx 95 \text{ MeV}/c^2$ -1/3 1/2 strange s	$\approx 4.18 \text{ GeV}/c^2$ -1/3 1/2 bottom b	0 0 1 photon γ
$0.511 \text{ MeV}/c^2$ -1 1/2 electron e	$105.7 \text{ MeV}/c^2$ -1 1/2 muon μ	$1.777 \text{ GeV}/c^2$ -1 1/2 tau τ	$91.2 \text{ GeV}/c^2$ 0 1 Z boson Z
$<2.2 \text{ eV}/c^2$ 0 1/2 electron neutrino ν_e	$<0.17 \text{ MeV}/c^2$ 0 1/2 muon neutrino ν_μ	$<15.5 \text{ MeV}/c^2$ 0 1/2 tau neutrino ν_τ	$80.4 \text{ GeV}/c^2$ ±1 1 W boson W
\longrightarrow			masa
Higgs boson H			$\approx 126 \text{ GeV}/c^2$ 0 0 Higgs boson H

$$\mathcal{L} = -\frac{1}{4} F_{\mu\nu} F^{\mu\nu} + i \bar{\psi} \not{D} \psi$$

$$+ \bar{\psi}_i y_{ij} \psi_j \phi + \text{h.c.} + D_\mu \phi l^2 - V(\phi)$$

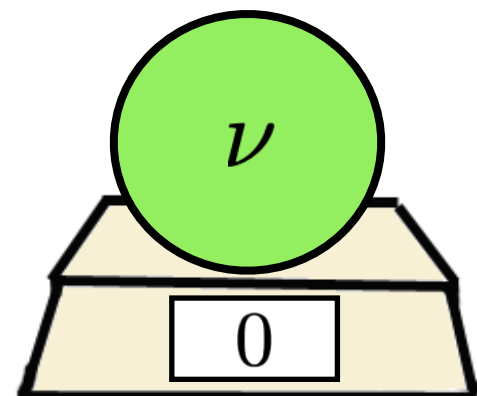
El puzzle de los neutrinos solares

$$SU(3) \otimes SU(2) \otimes U(1)_Y$$



e.g. $\underbrace{(\bar{e}_L^i \quad \bar{\nu}_L^i)}_{\bar{L}_L^i} y_{ij} \begin{pmatrix} 0 \\ H_0 \end{pmatrix} e_R^j + \text{h.c.}$

$$= \bar{e}_L^i y_{ij} (h_0 + v) e_R^j + \text{h.c.}$$



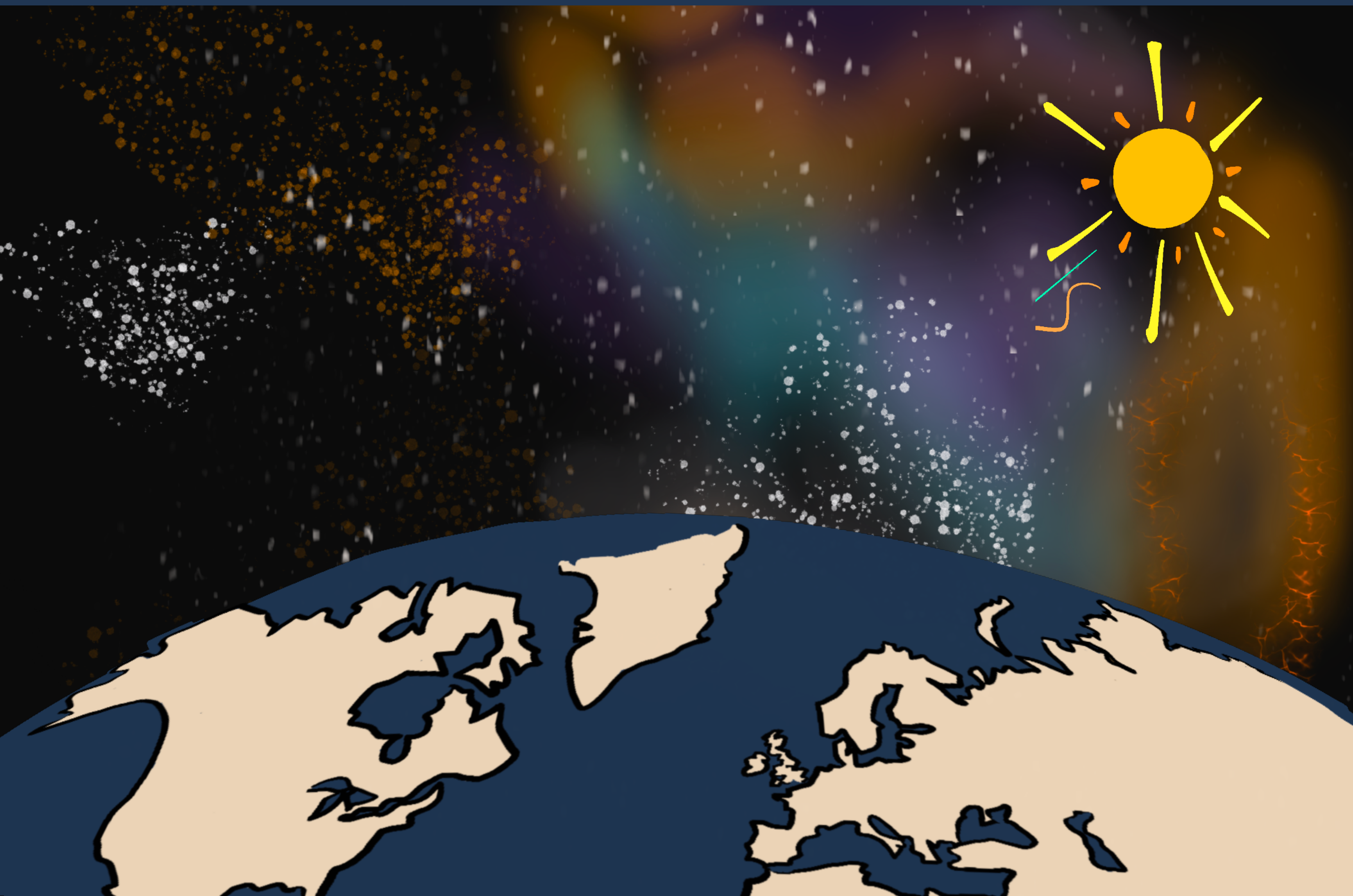
$\approx 2.3 \text{ MeV}/c^2$ 2/3 1/2 up u	$\approx 1.275 \text{ GeV}/c^2$ 2/3 1/2 charm c	$\approx 173.07 \text{ GeV}/c^2$ 2/3 1/2 top t	0 0 1 g gluon
$\approx 4.8 \text{ MeV}/c^2$ -1/3 1/2 down d	$\approx 95 \text{ MeV}/c^2$ -1/3 1/2 strange s	$\approx 4.18 \text{ GeV}/c^2$ -1/3 1/2 bottom b	0 0 1 γ photon
$0.511 \text{ MeV}/c^2$ -1 1/2 electron e	$105.7 \text{ MeV}/c^2$ -1 1/2 muon μ	$1.777 \text{ GeV}/c^2$ -1 1/2 tau τ	$91.2 \text{ GeV}/c^2$ 0 1 Z Z boson
$<2.2 \text{ eV}/c^2$ 0 1/2 electron neutrino ν_e	$<0.17 \text{ MeV}/c^2$ 0 1/2 muon neutrino ν_μ	$<15.5 \text{ MeV}/c^2$ 0 1/2 tau neutrino ν_τ	$80.4 \text{ GeV}/c^2$ ±1 1 W W boson
			$\approx 126 \text{ GeV}/c^2$ 0 0 H Higgs boson

masa →

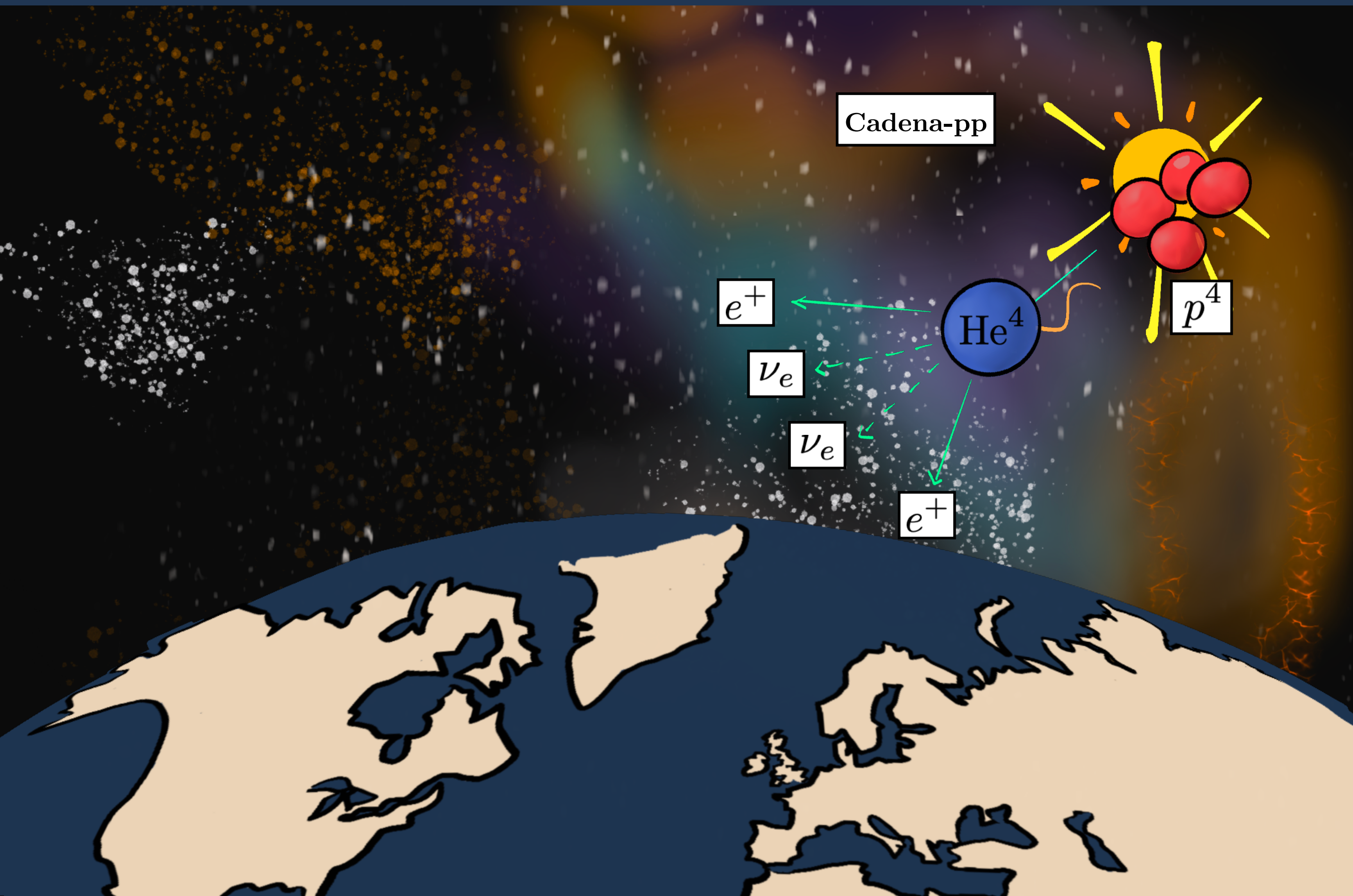
$$\mathcal{L} = -\frac{1}{4} F_{\mu\nu} F^{\mu\nu} + i \bar{\psi} \not{D} \psi$$

$$+ \bar{\psi}_i y_{ij} \psi_j \phi + \text{h.c.} + D_\mu \phi l^2 - V(\phi)$$

El puzzle de los neutrinos solares



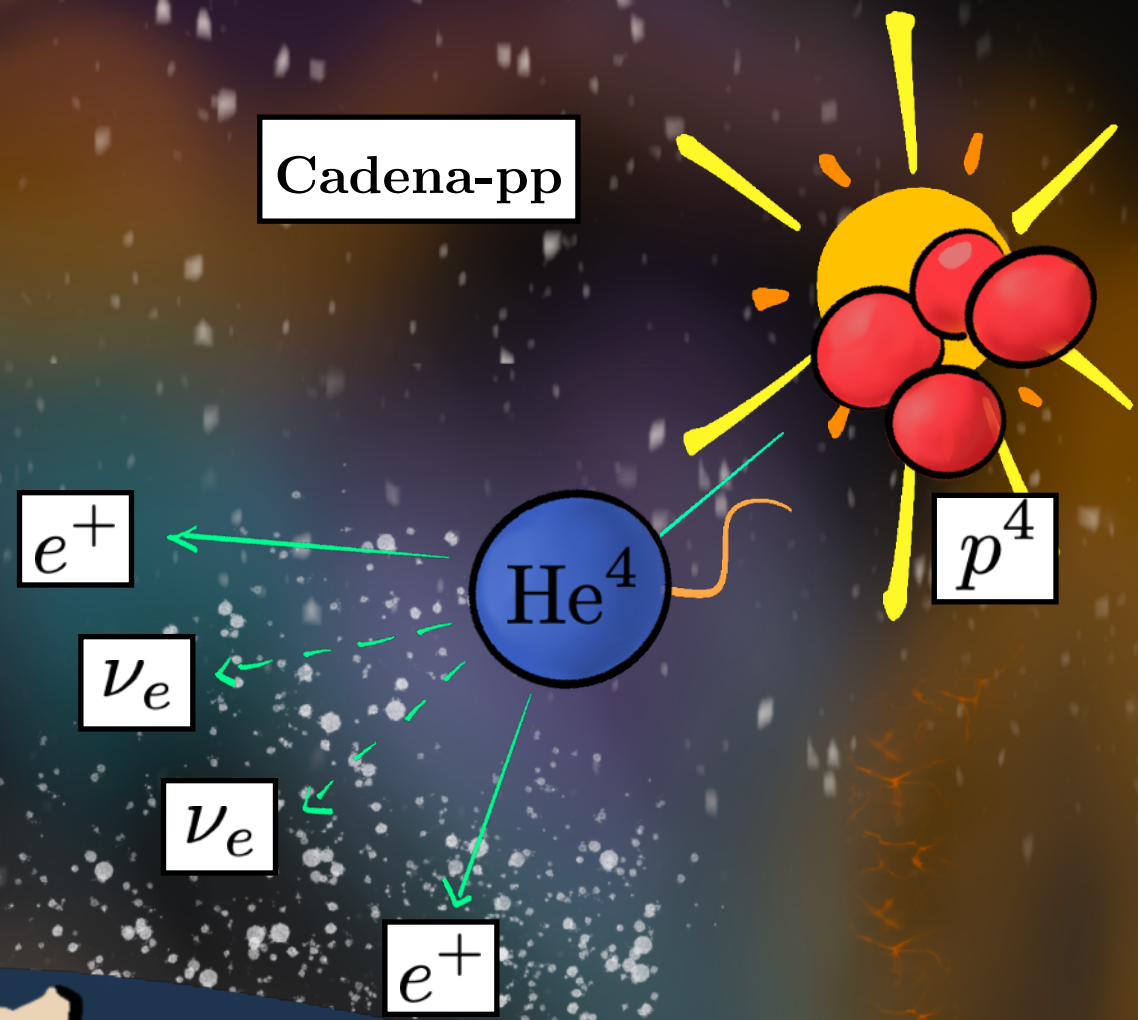
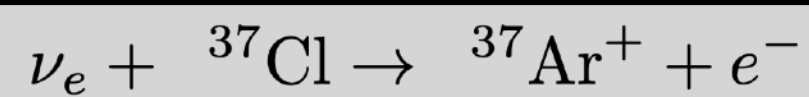
El puzzle de los neutrinos solares



El puzzle de los neutrinos solares



Davis & Bahcall
[Homestake, 1960]



El puzzle de los neutrinos solares



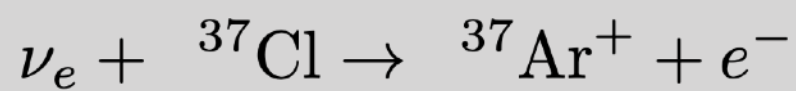
2002 - Davis & Koshiba



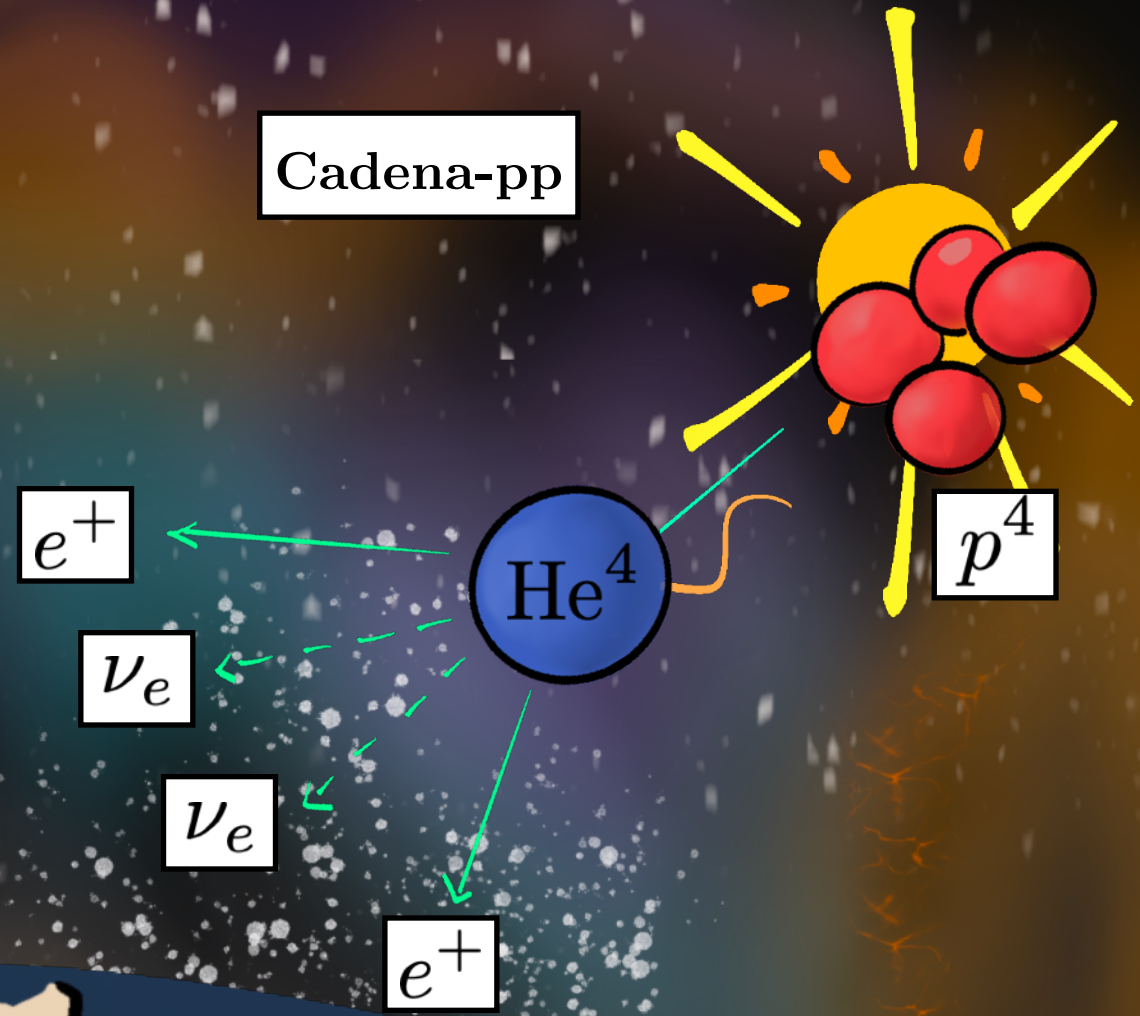
1/3

1/3

Davis & Bahcall
[Homestake, 1960]



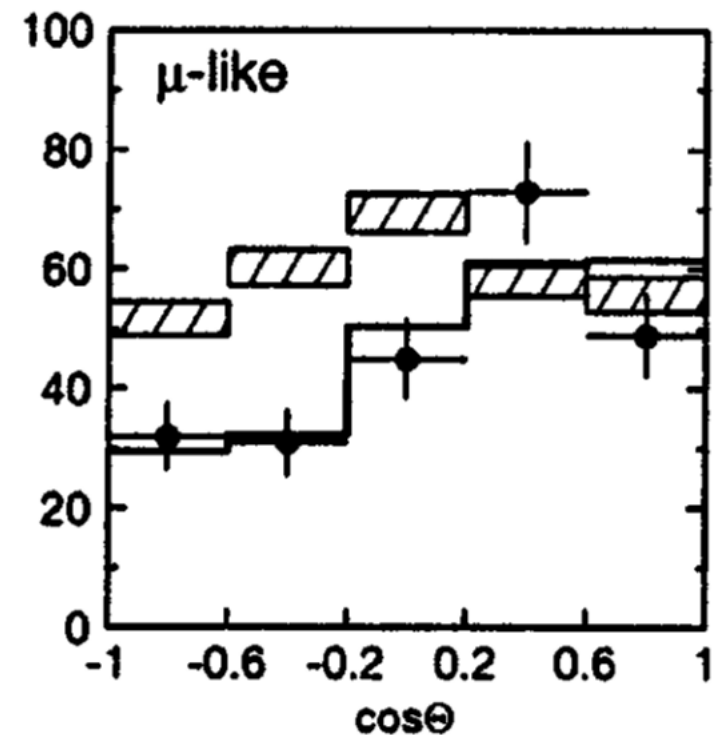
Cadena-pp



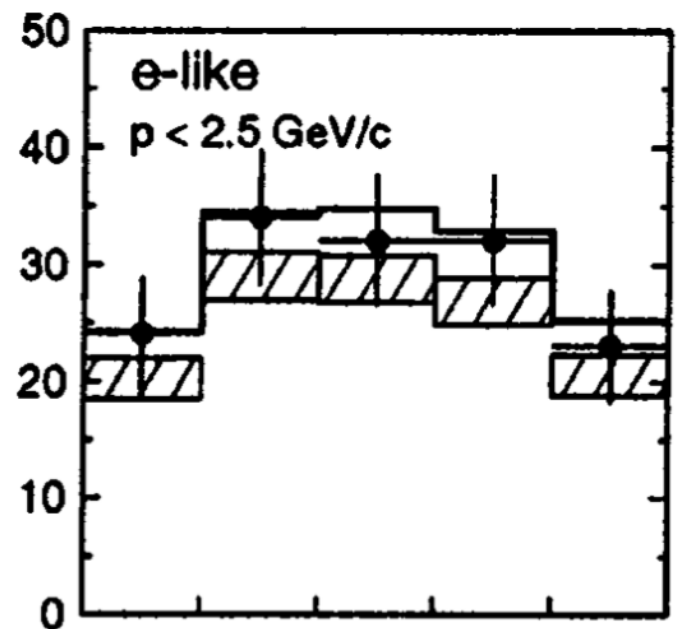
La masa de los neutrinos



2002 - Davis & Koshiba



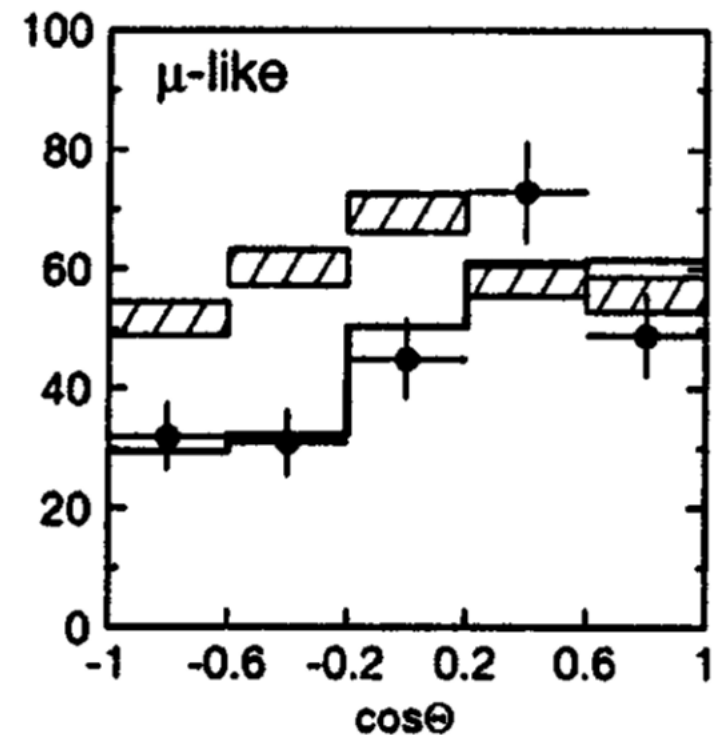
2015 - Kajita & McDonald



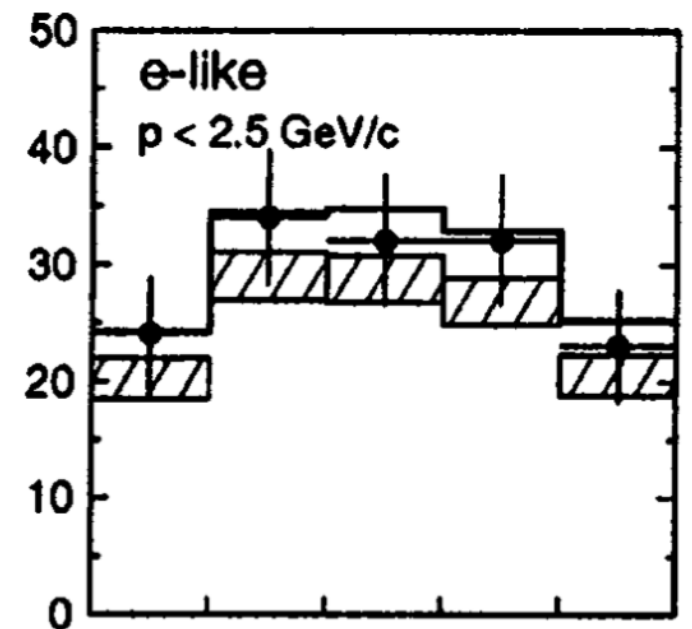
La masa de los neutrinos



2002 - Davis & Koshiba



2015 - Kajita & McDonald

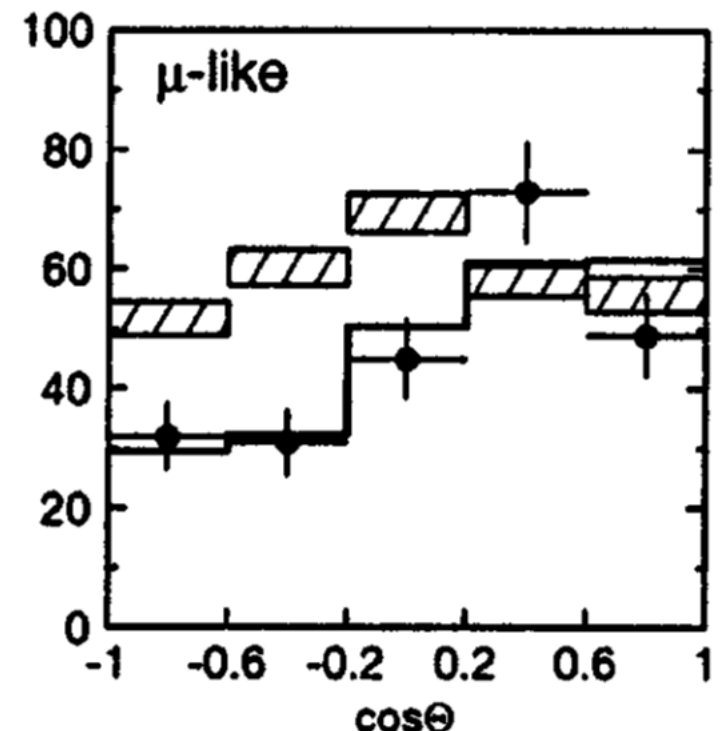


La masa de los neutrinos

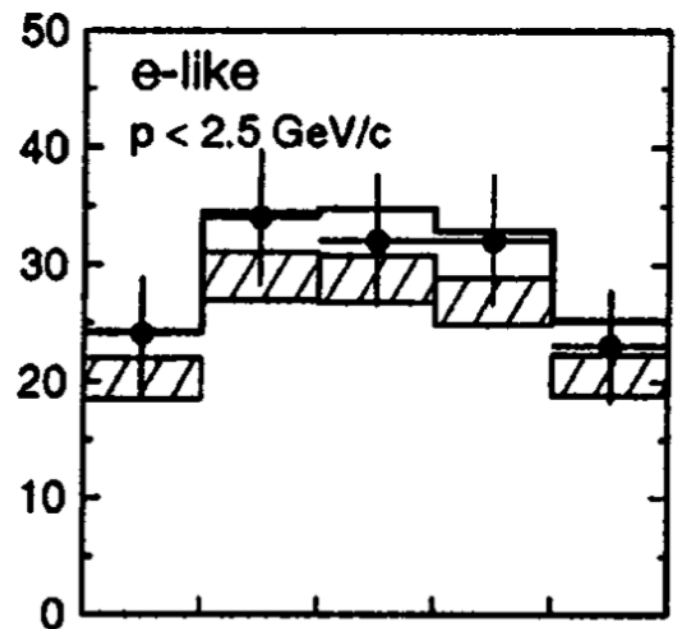


2002 - Davis & Koshiba

$$P_{\alpha \rightarrow \beta} = |\langle \nu_\beta | \nu_\alpha(L) \rangle|^2 = \left| \sum_j U_{\alpha j}^* U_{\beta j} e^{-im_j^2 L/(2E)} \right|^2$$



2015 - Kajita & McDonald

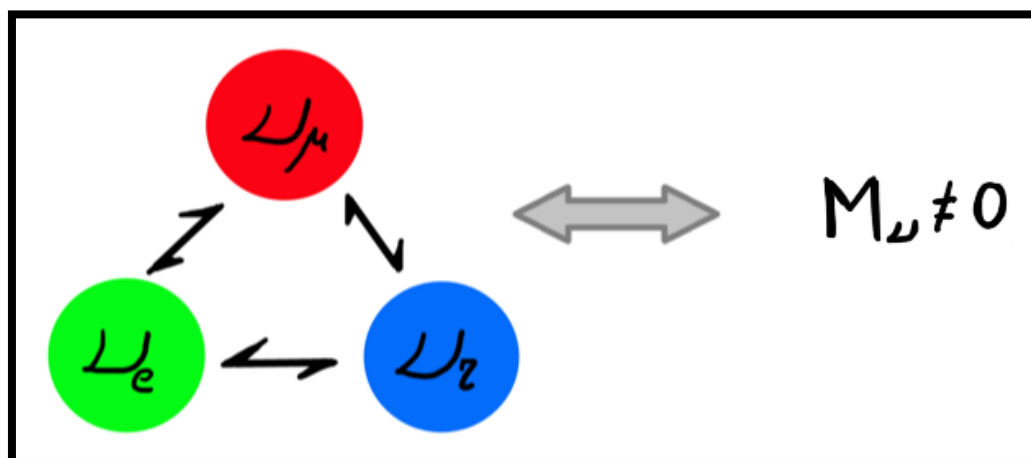


La masa de los neutrinos

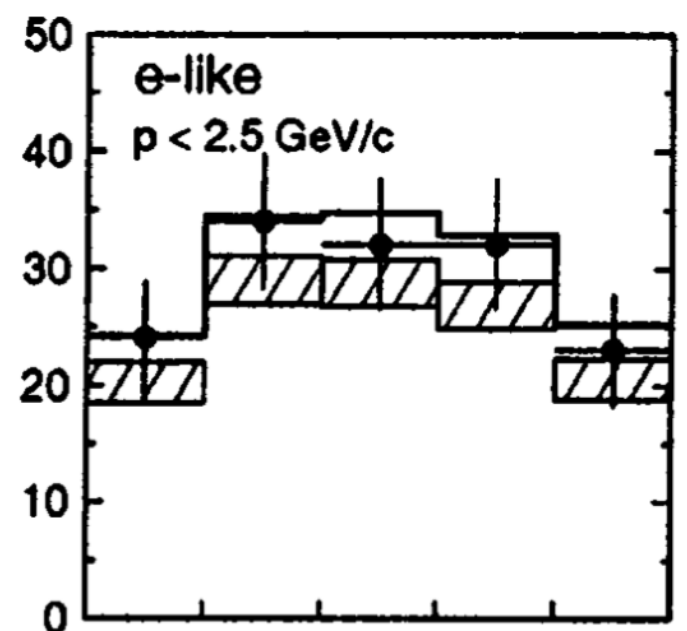
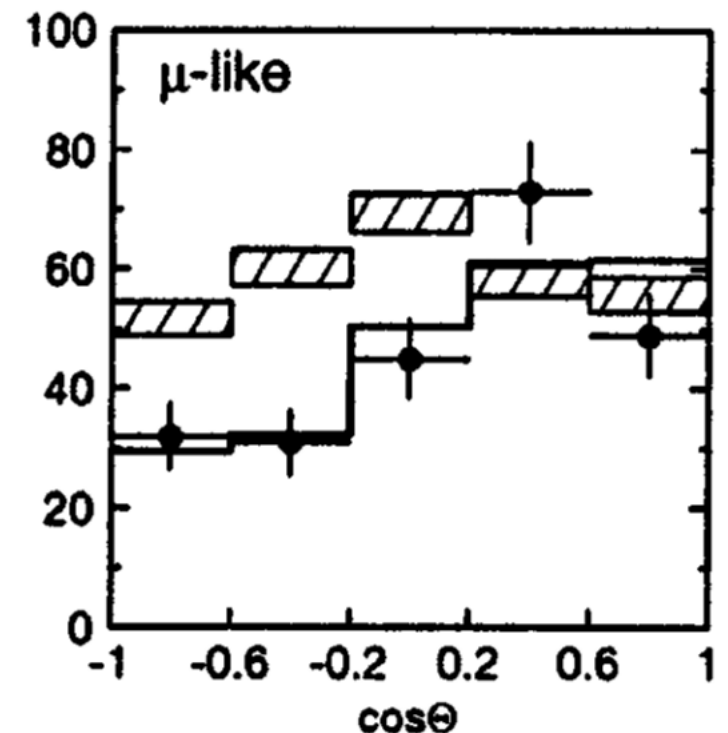


2002 - Davis & Koshiba

$$P_{\alpha \rightarrow \beta} = |\langle \nu_\beta | \nu_\alpha(L) \rangle|^2 = \left| \sum_j U_{\alpha j}^* U_{\beta j} e^{-im_j^2 L/(2E)} \right|^2$$



2015 - Kajita & McDonald

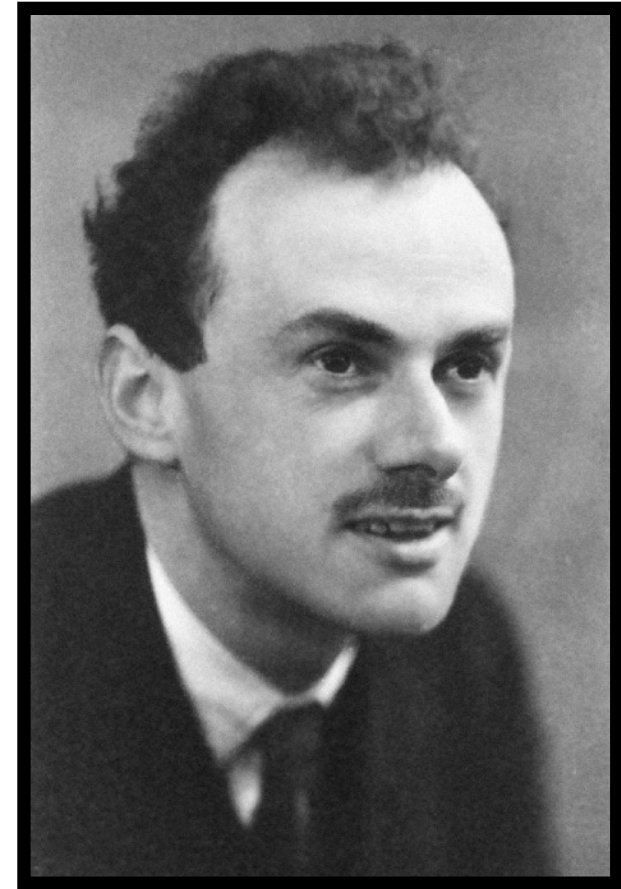


Majorana o Dirac?

$$\mathrm{SU}(3) \otimes \mathrm{SU}(2) \otimes \mathrm{U}(1)_Y$$



V/S



$$\nu = \bar{\nu}$$

$$\nu \neq \bar{\nu}$$

$$M_M \nu^T C \nu$$

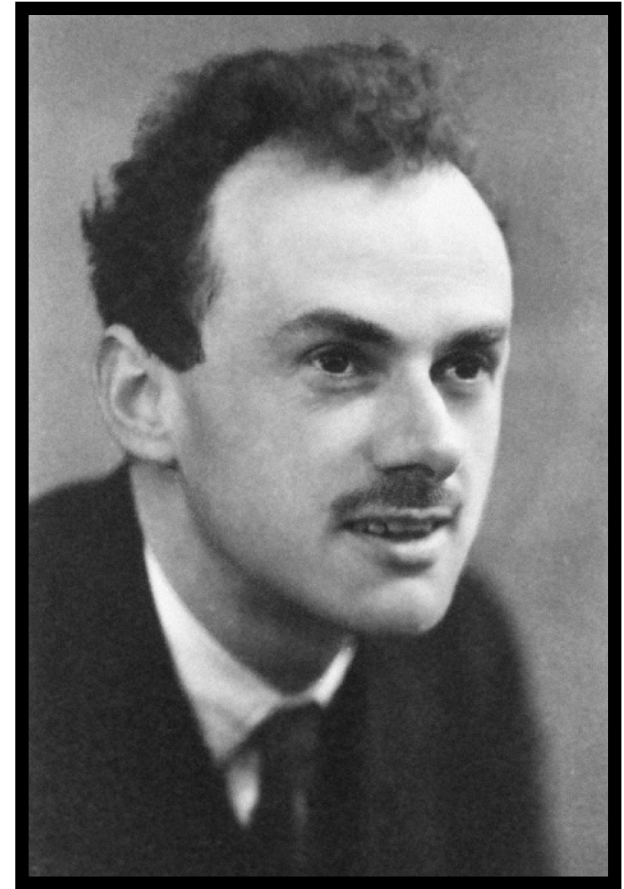
$$m_D \bar{\nu} \nu$$

Majorana o Dirac?

$$\mathrm{SU}(3) \otimes \mathrm{SU}(2) \otimes \mathrm{U}(1)_Y$$



V/S



$$\nu = \bar{\nu}$$

$$\nu \neq \bar{\nu}$$

$$M_M \nu^T C \nu$$

$$m_D \bar{\nu} \nu$$

$$\nu \rightarrow e^{i\theta} \nu \quad \Rightarrow \Delta L = 2$$

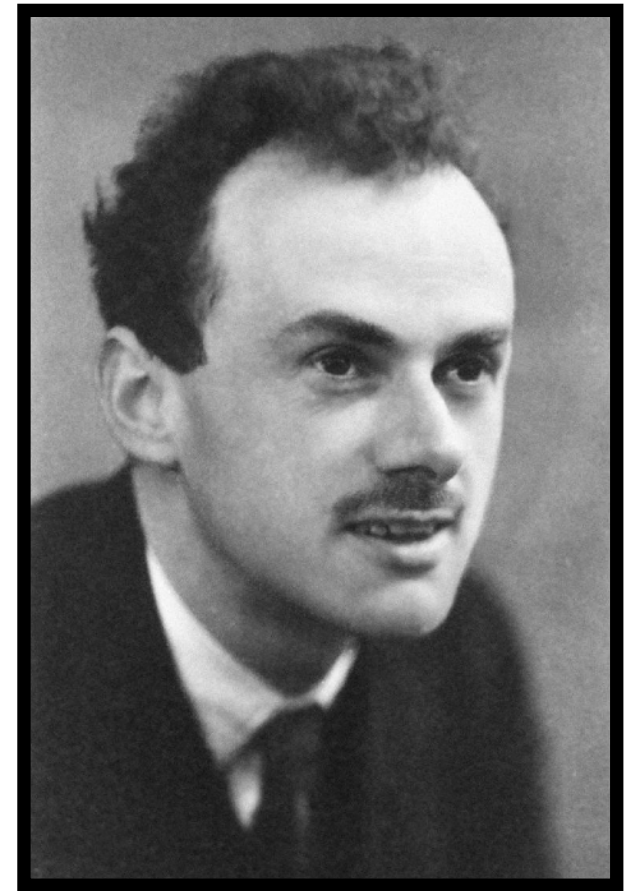
$$\nu \rightarrow e^{i\theta} \nu \quad \Rightarrow \Delta L = 0$$

Majorana o Dirac?

$$\mathrm{SU}(3) \otimes \mathrm{SU}(2) \otimes \mathrm{U}(1)_Y$$



V/S



$$\nu = \bar{\nu}$$

$$M_M \nu^T C \nu$$

$$\nu \rightarrow e^{i\theta} \nu \quad \Rightarrow \Delta L = 2$$

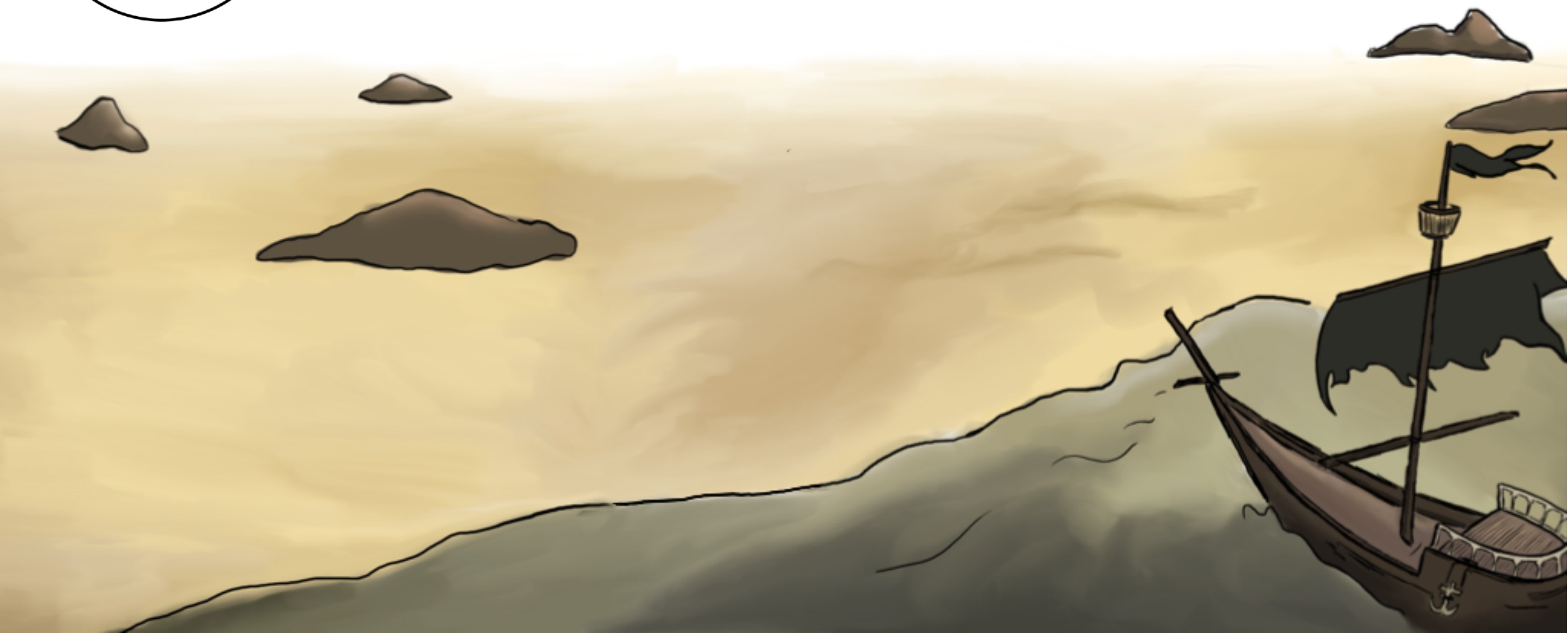
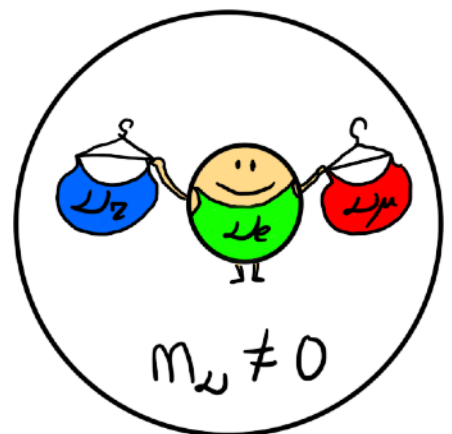
Se necesita contenido extra!

$$\nu \neq \bar{\nu}$$

$$m_D \bar{\nu} \nu$$

$$\nu \rightarrow e^{i\theta} \nu \quad \Rightarrow \Delta L = 0$$

Más allá del modelo estandar

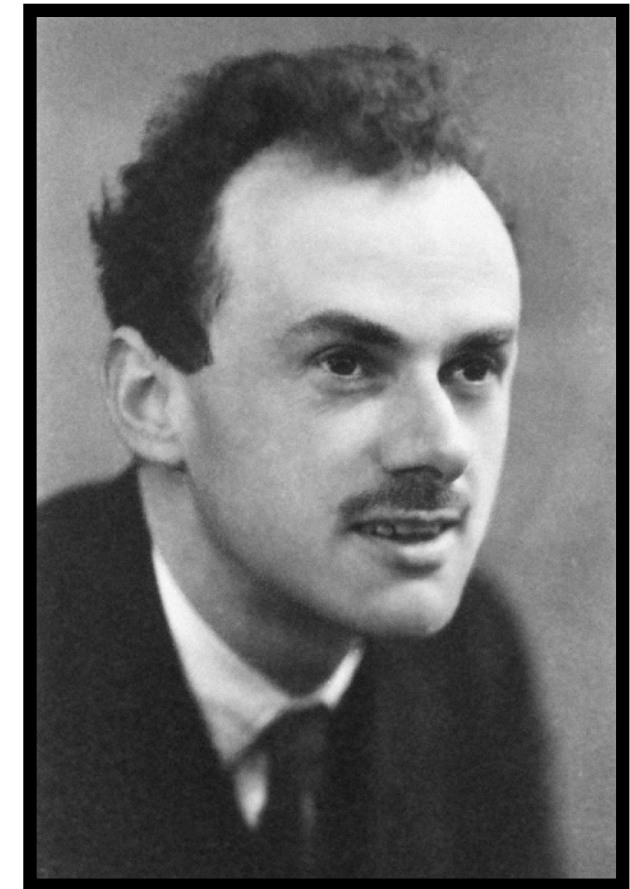
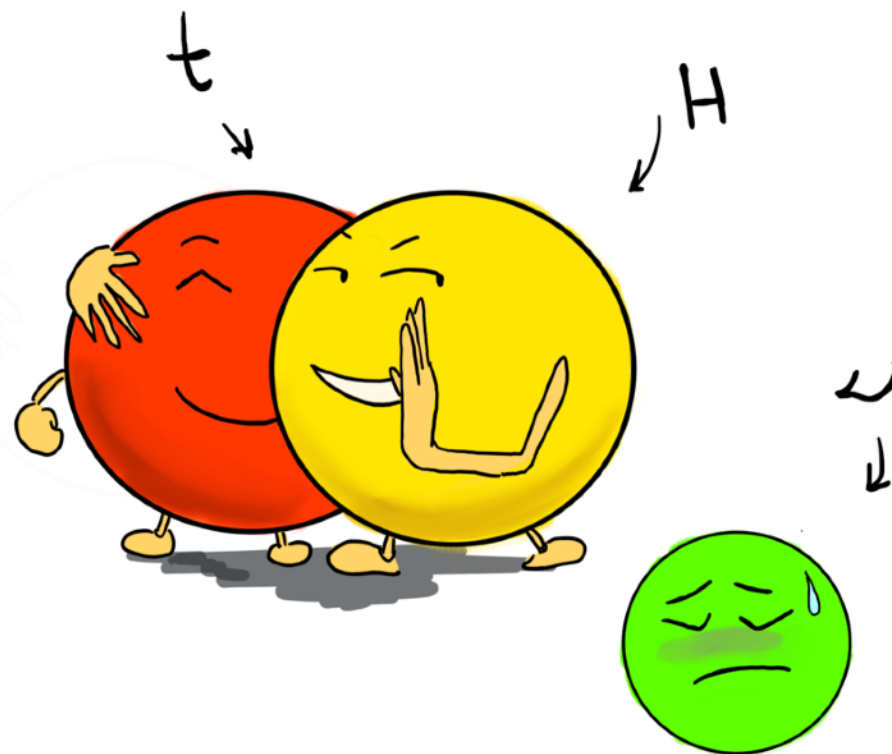


Mecanismos para generar la masa

Añadimos un singlete ν_R

Si son Dirac...

$$m_\nu < 10^{-10} \text{ GeV} \Rightarrow Y_\nu \sim 10^{-12}$$



$$\nu \neq \bar{\nu}$$

$$\mathcal{L} \supset Y_\nu \bar{L}_L(i\sigma_2) H^* \nu_R$$

Mecanismos para generar la masa

Añadimos un singlete ν_R



Si en vez son Majorana...

$$M_\nu = \begin{pmatrix} 0 & y_\nu v \\ y_\nu v & M_R \end{pmatrix}$$

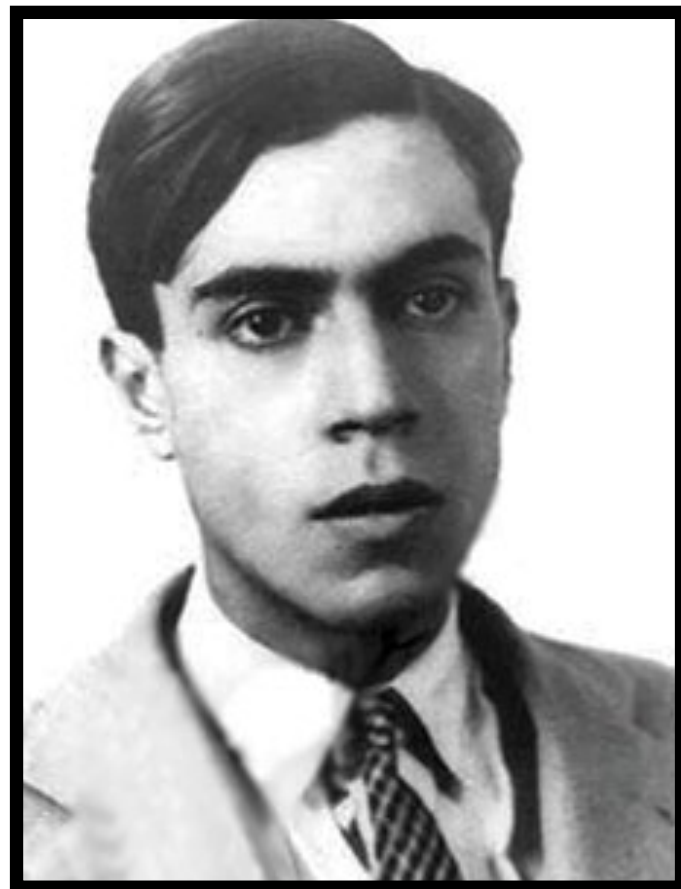
$$\nu = \bar{\nu}$$

$$M_R \nu_R^T C \nu_R$$

$$\Delta L = 2$$

Mecanismos para generar la masa

Añadimos un singlete ν_R

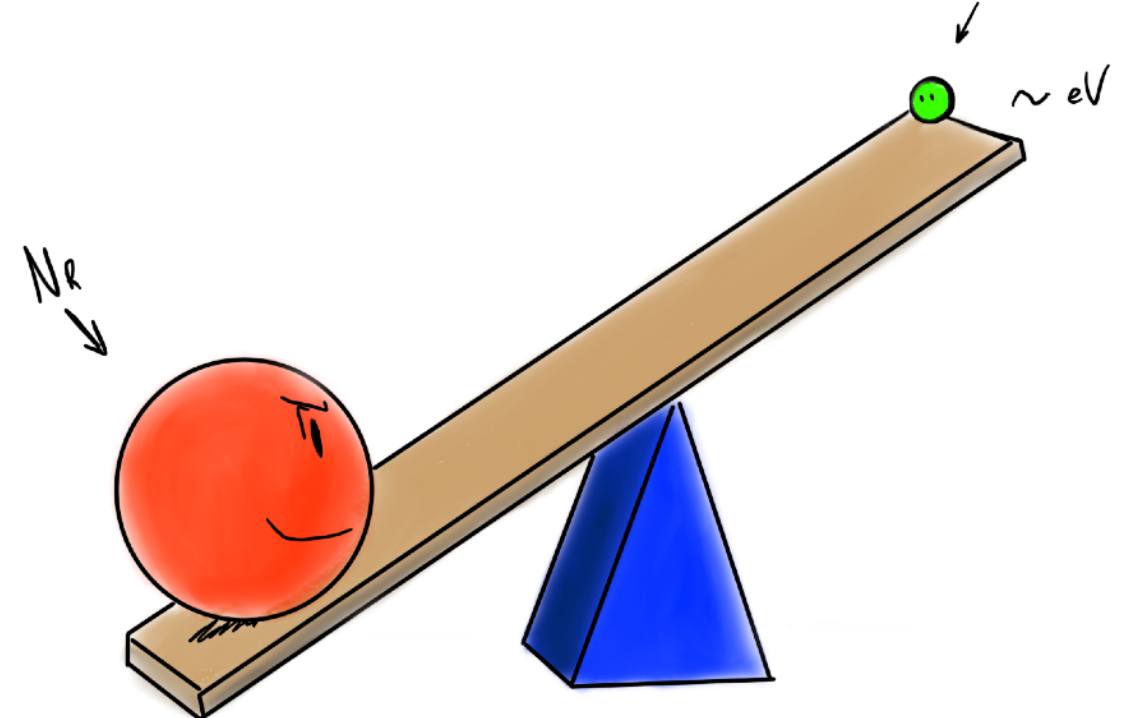


Si en vez son Majorana...

El mecanismo del “balancín”

$$M_\nu = \begin{pmatrix} 0 & y_\nu v \\ y_\nu v & M_R \end{pmatrix}$$

$$m_\nu \sim \frac{(y_\nu v)^2}{M_R}$$



$$\nu = \bar{\nu}$$

$$M_R \nu_R^T C \nu_R$$

$$\Delta L = 2$$

Y la antimateria?



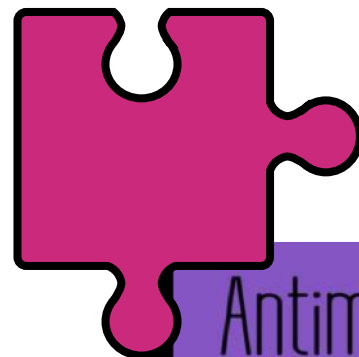
[diapositiva de la charla de Hector]

12:05

Physics Snacks: Antimateria

Speaker: Hector Garcia Morales

Y la antimateria?



[diapositiva de la charla de Hector]

12:05

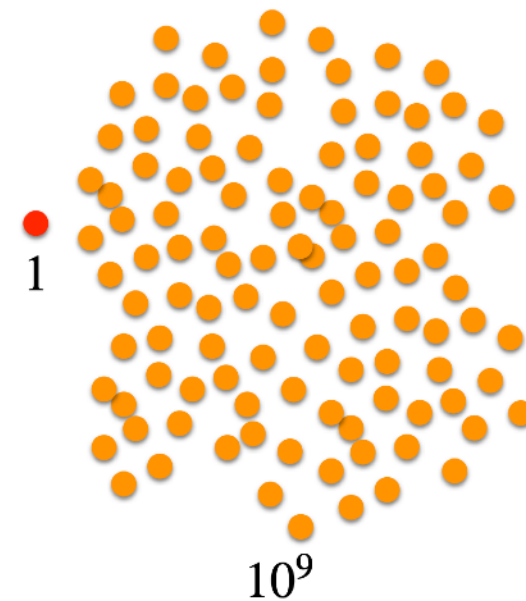
Physics Snacks: Antimateria

Speaker: Hector Garcia Morales

El problema

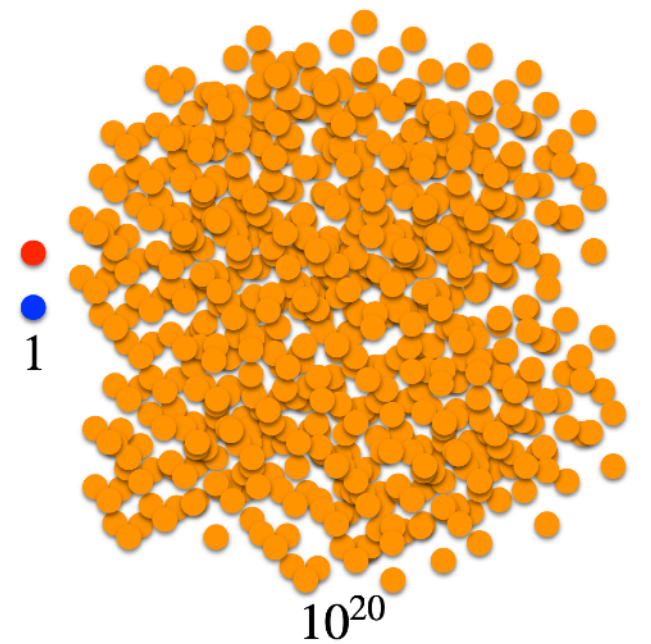
Universo observado

- foton
- proton
- antiproton



Hay 10^9 fotones por cada núcleo atómico!

Universo esperado según el modelo estándar



Misma cantidad de materia y antimateria



[diapositiva de la charla de Miguel]

10:35

El Modelo estándar y la física fundamental (II)

Speaker: Miguel Escudero Abenza (CERN)

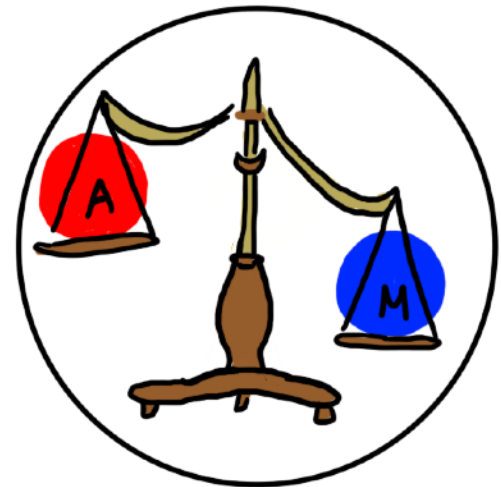
Y la antimateria?

~~El baile del Chiki Chiki~~

~~Uno:~~ el brikindanse

~~Dos:~~ el crusaite

~~Tres:~~ el maiquelyason



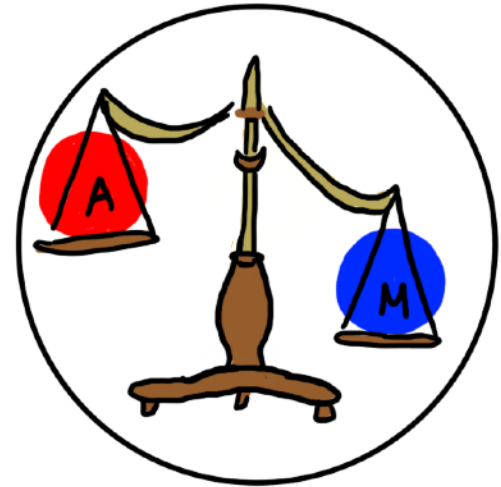
Y la antimateria?

Condiciones de Sakharov

Uno: Violación de Carga conjugada - Paridad (CP)

Dos: Violación del número bariónico

Tres: Salida del equilibrio térmico



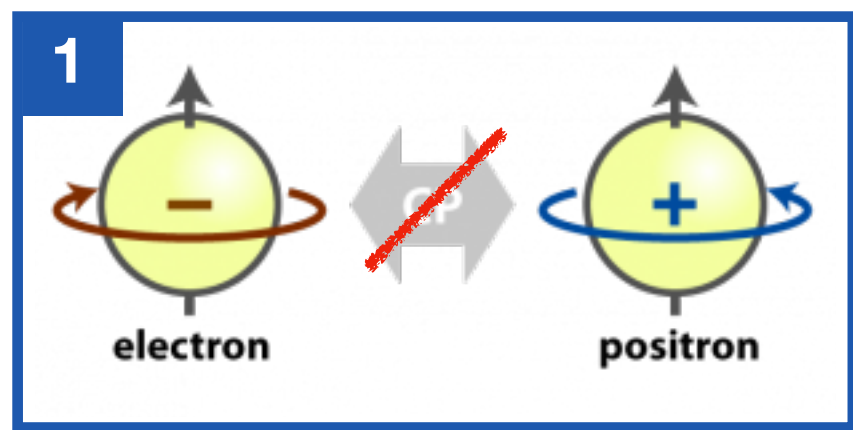
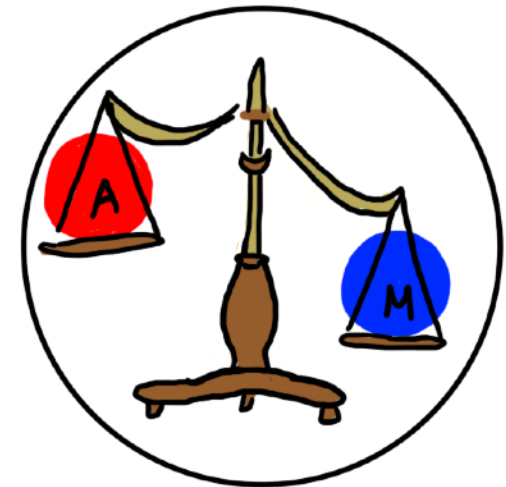
Y la antimateria?

Condiciones de Sakharov

Uno: Violación de Carga conjugada - Paridad (CP)

Dos: Violación del número bariónico

Tres: Salida del equilibrio térmico



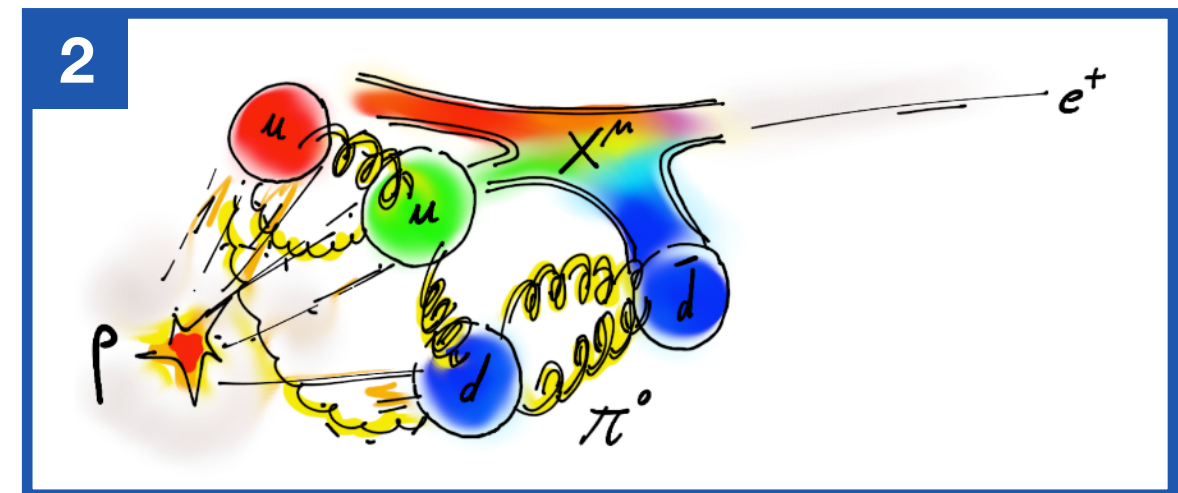
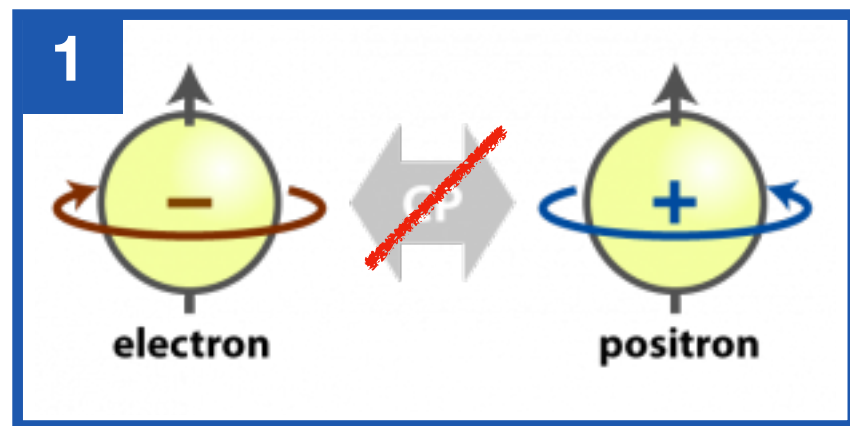
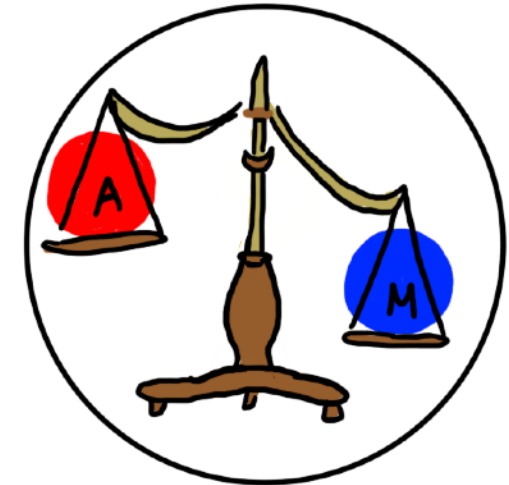
Y la antimateria?

Condiciones de Sakharov

Uno: Violación de Carga conjugada - Paridad (CP)

Dos: Violación del número bariónico

Tres: Salida del equilibrio térmico



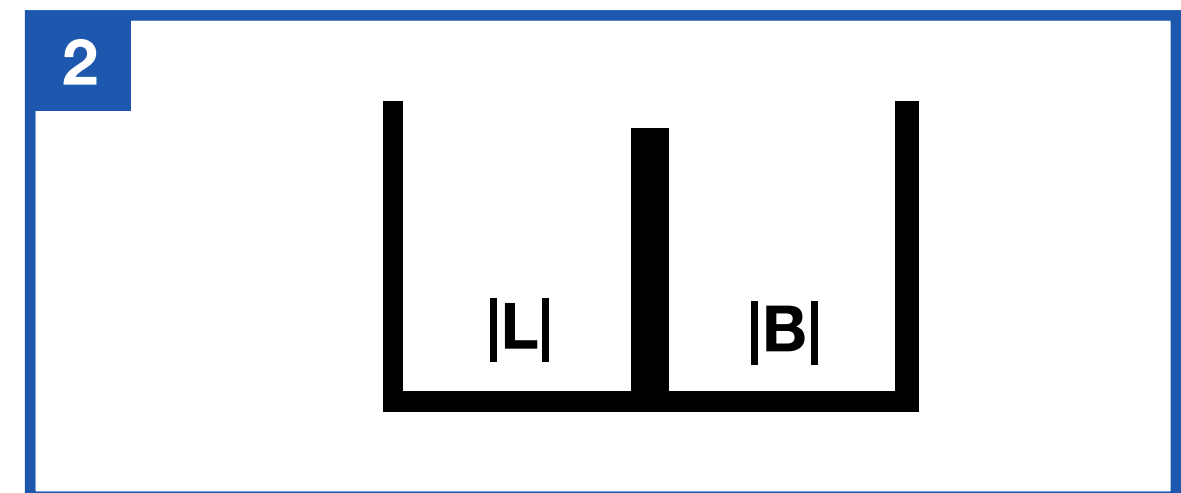
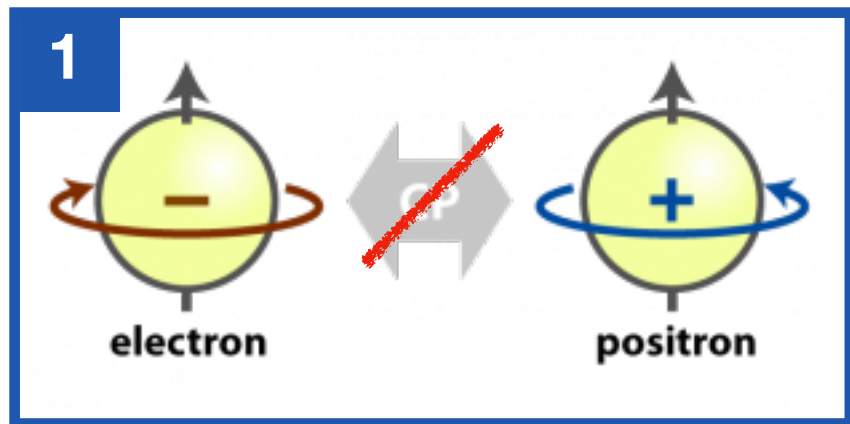
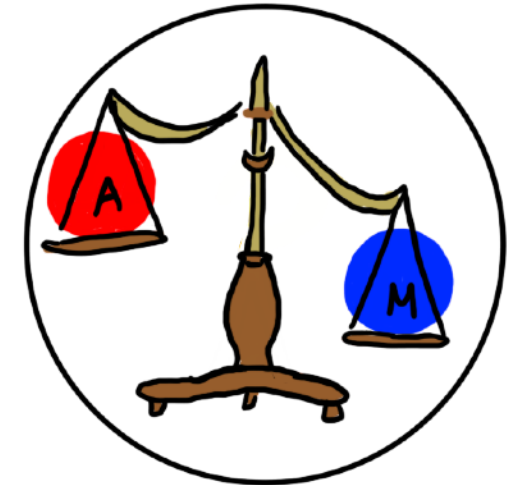
Y la antimateria?

Condiciones de Sakharov

Uno: Violación de Carga conjugada - Paridad (CP)

Dos: Violación del número bariónico

Tres: Salida del equilibrio térmico



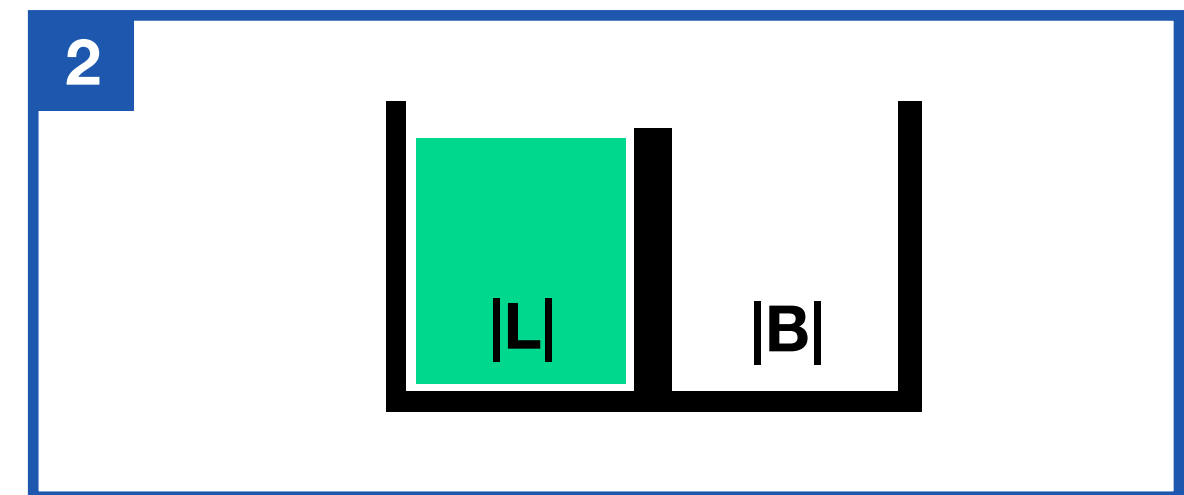
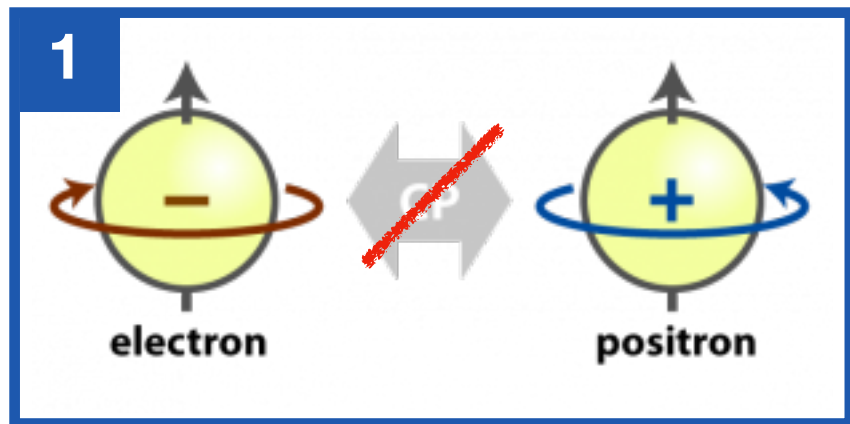
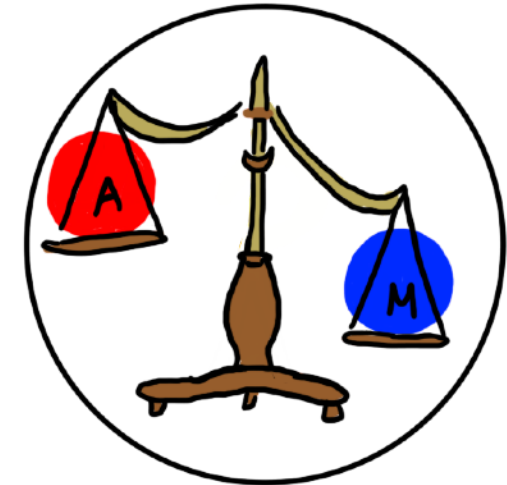
Y la antimateria?

Condiciones de Sakharov

Uno: Violación de Carga conjugada - Paridad (CP)

Dos: Violación del número bariónico

Tres: Salida del equilibrio térmico



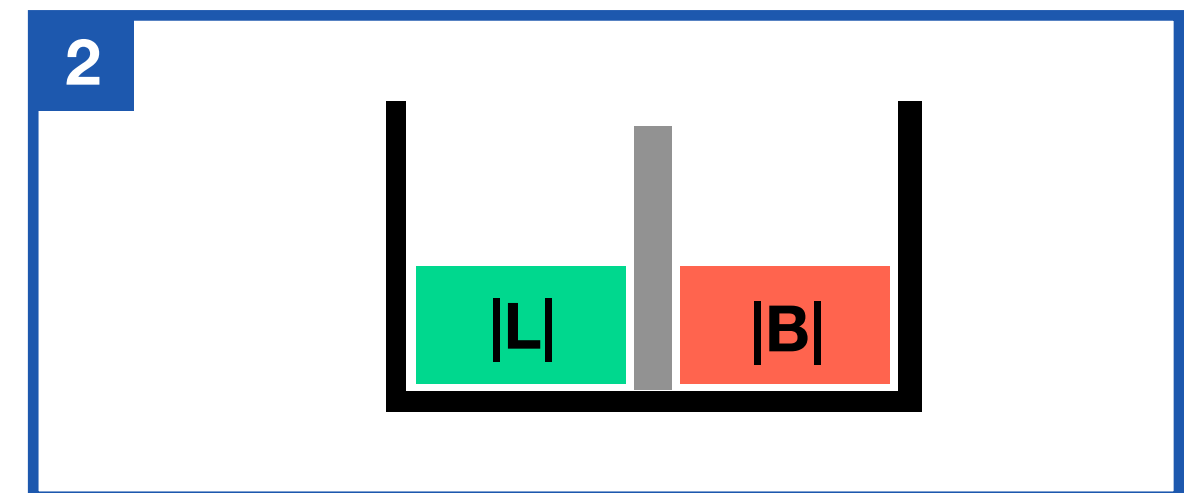
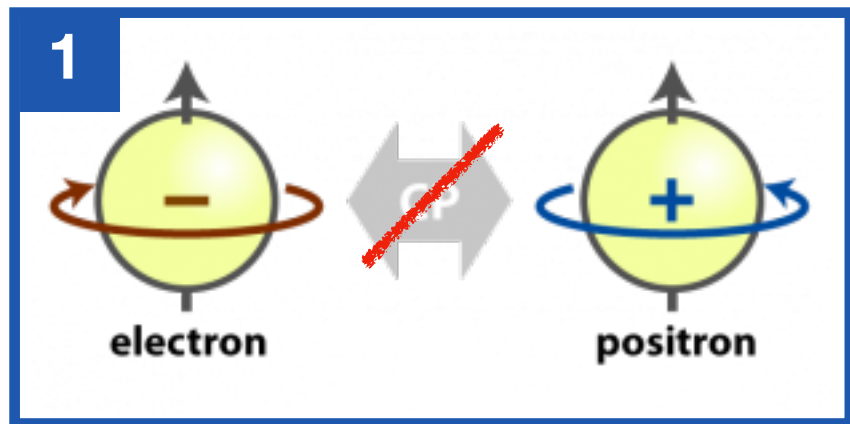
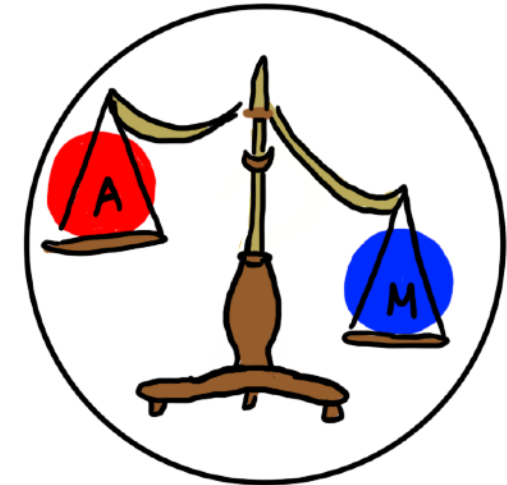
Y la antimateria?

Condiciones de Sakharov

Uno: Violación de Carga conjugada - Paridad (CP)

Dos: Violación del número bariónico

Tres: Salida del equilibrio térmico



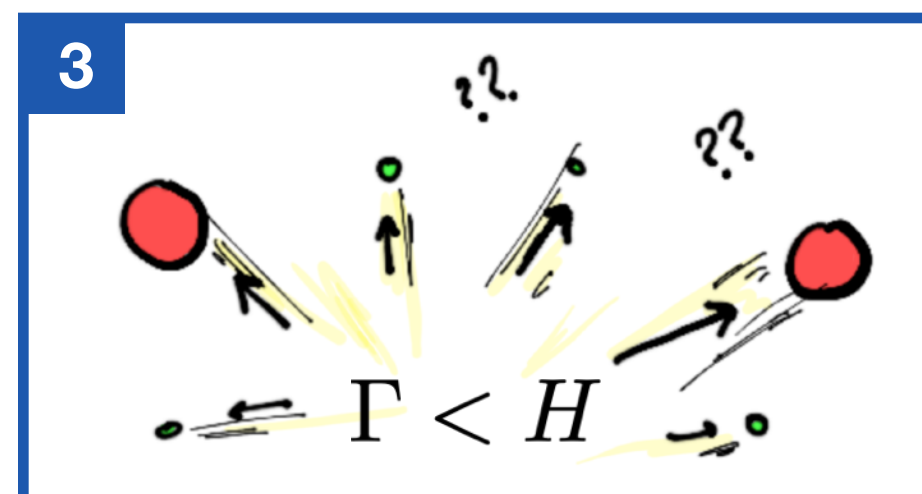
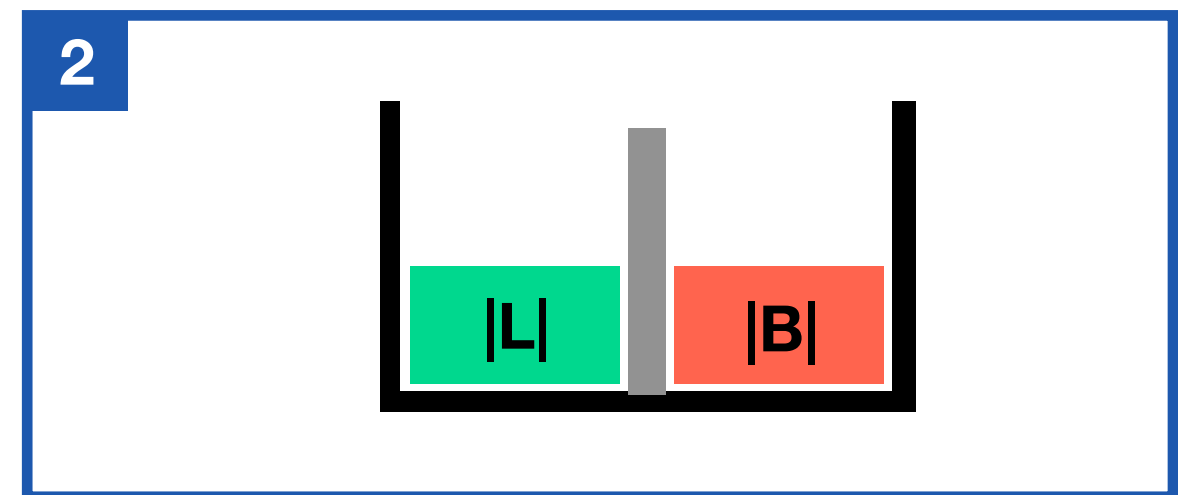
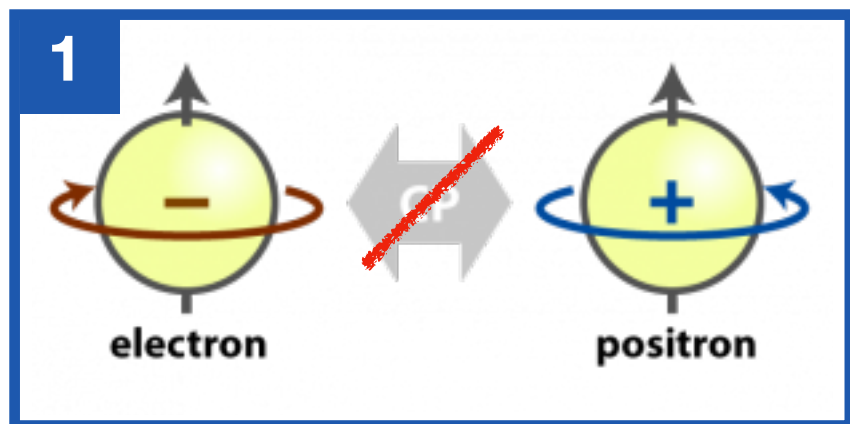
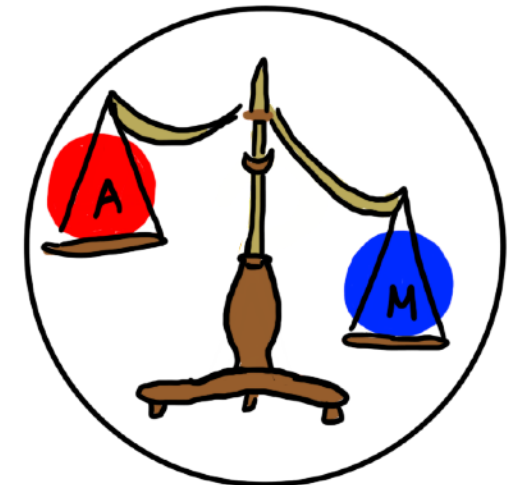
Y la antimateria?

Condiciones de Sakharov

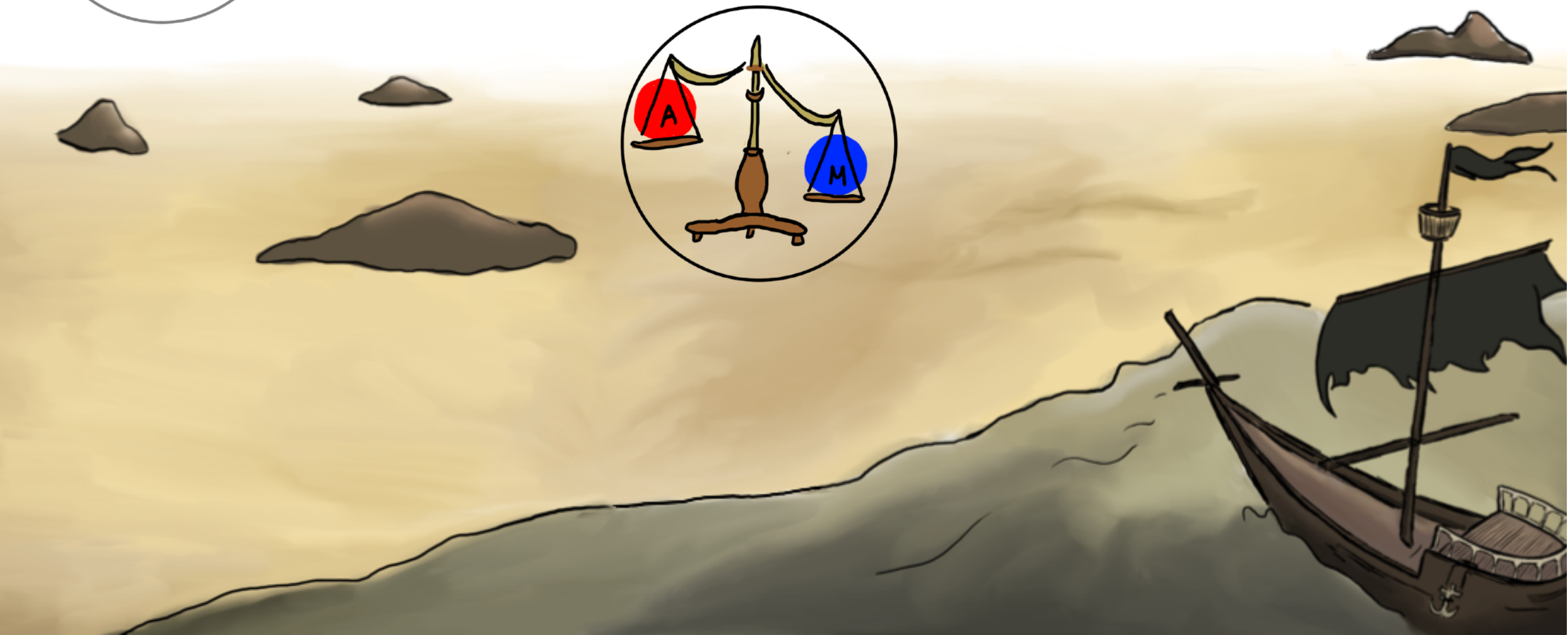
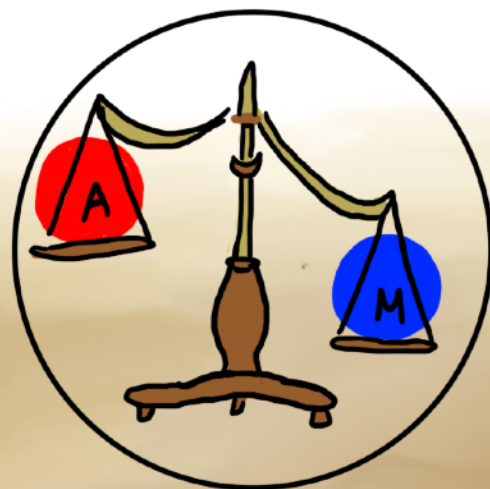
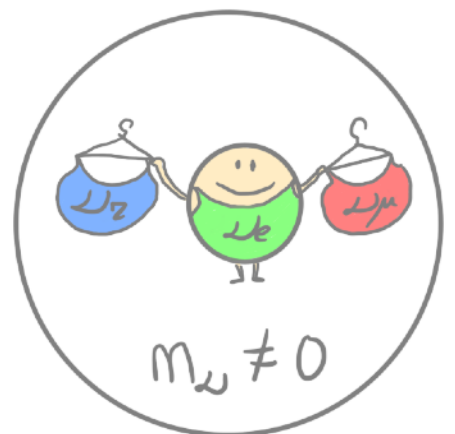
Uno: Violación de Carga conjugada - Paridad (CP)

Dos: Violación del número bariónico

Tres: Salida del equilibrio térmico



Bariogénesis



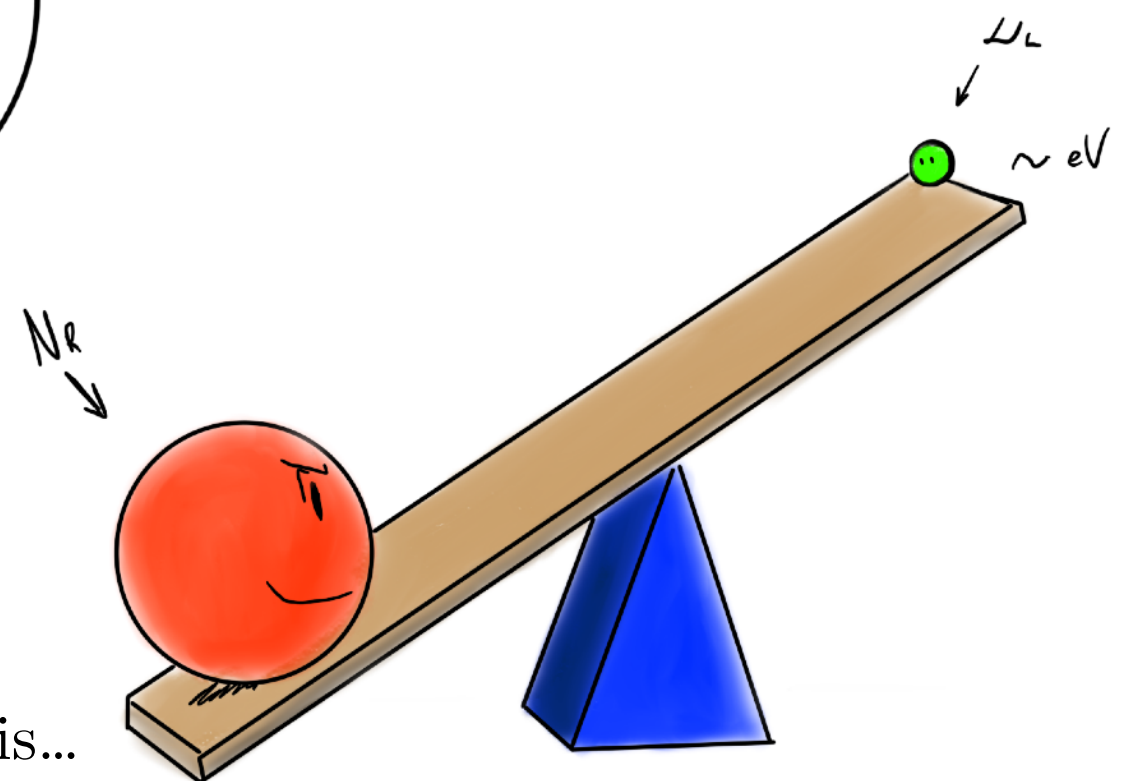
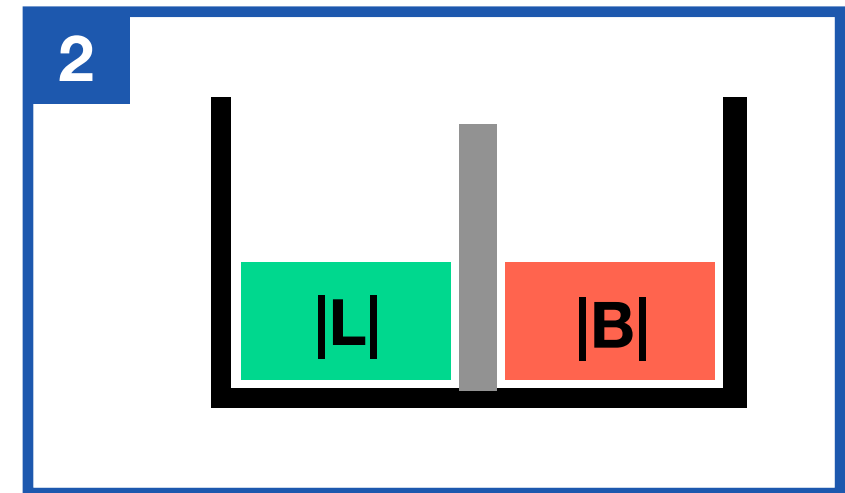
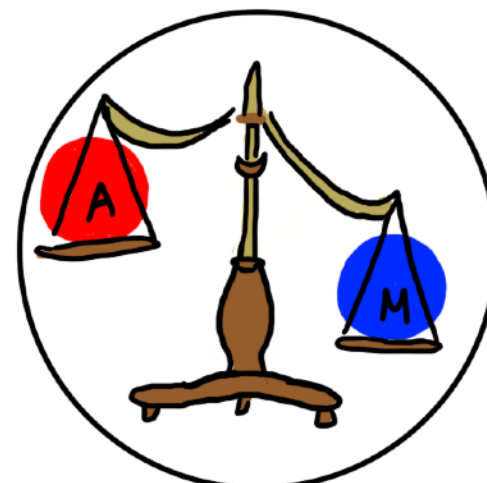
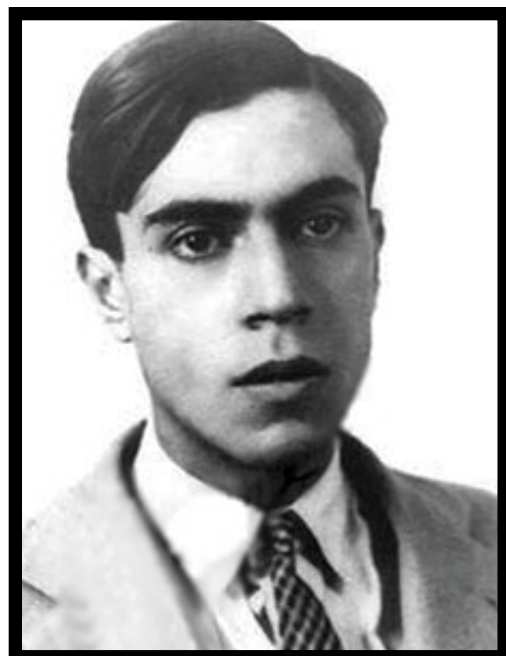
Bariogénesis via Leptogenesis

Condiciones de Sakharov

Uno: Violación de Carga conjugada - Paridad (CP)

Dos: Violación del número bariónico

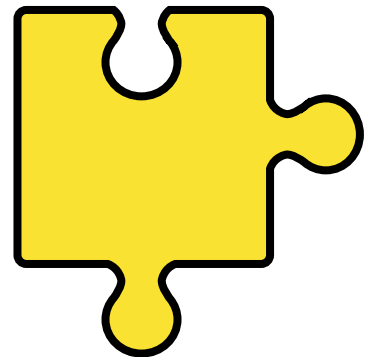
Tres: Salida del equilibrio



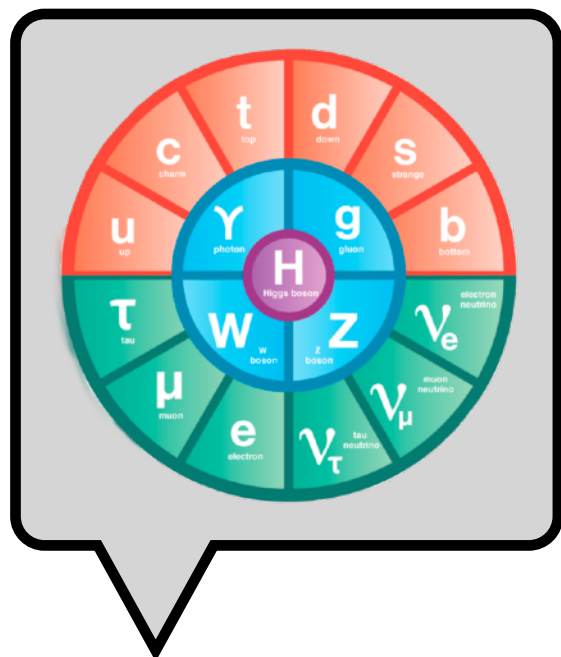
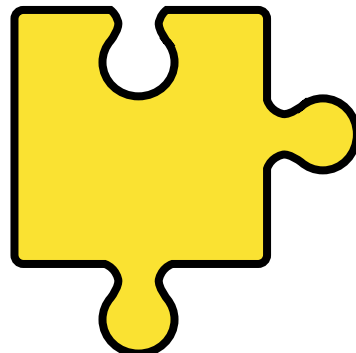
$$\nu = \bar{\nu} \quad \Delta L = 2$$

e.g. EW baryogenesis, Affleck-Dine, B-mesogenesis...

Más “materia” de la que vemos!



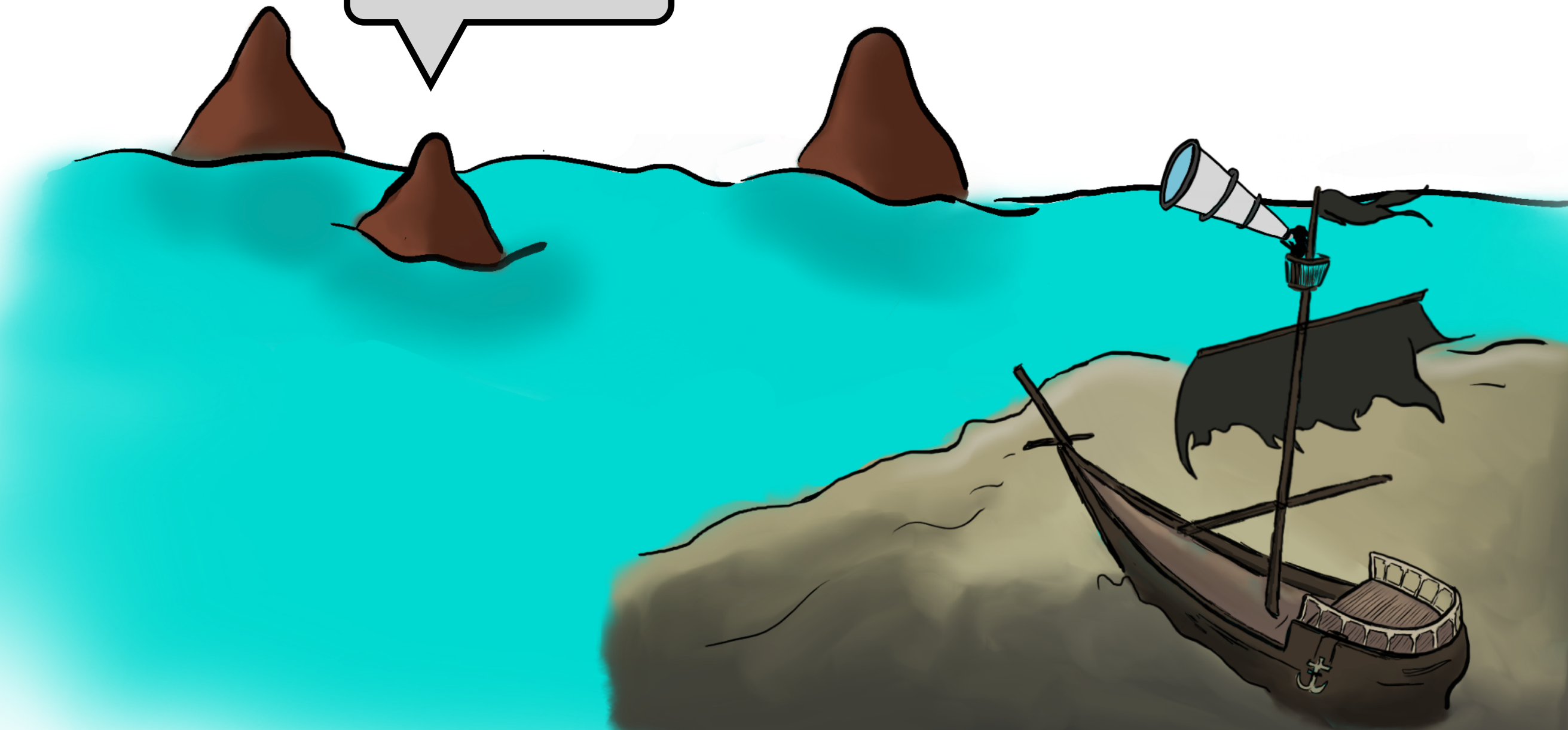
Más “materia” de la que vemos!



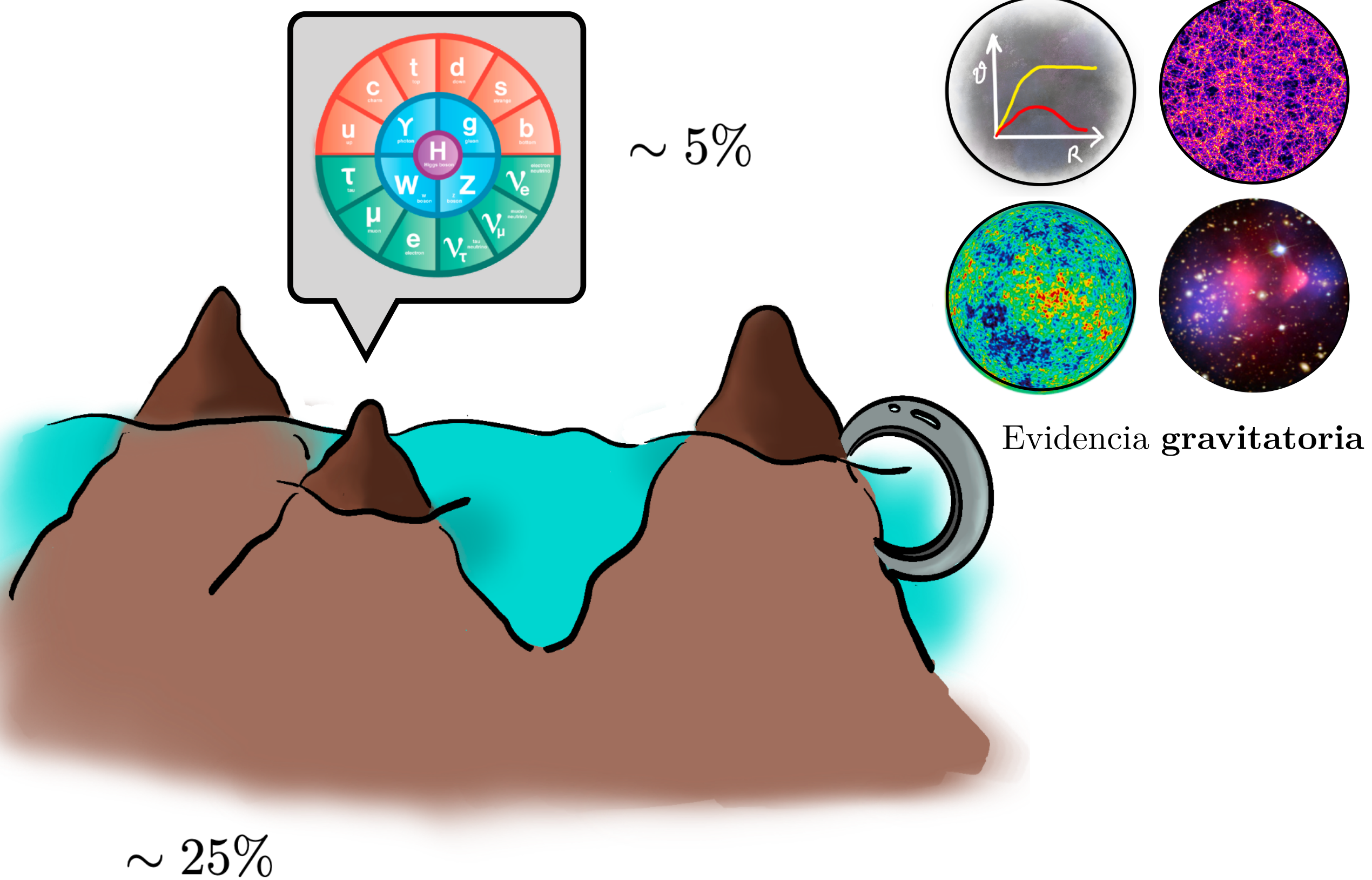
10:35

El Modelo estándar y la física fundamental (II)

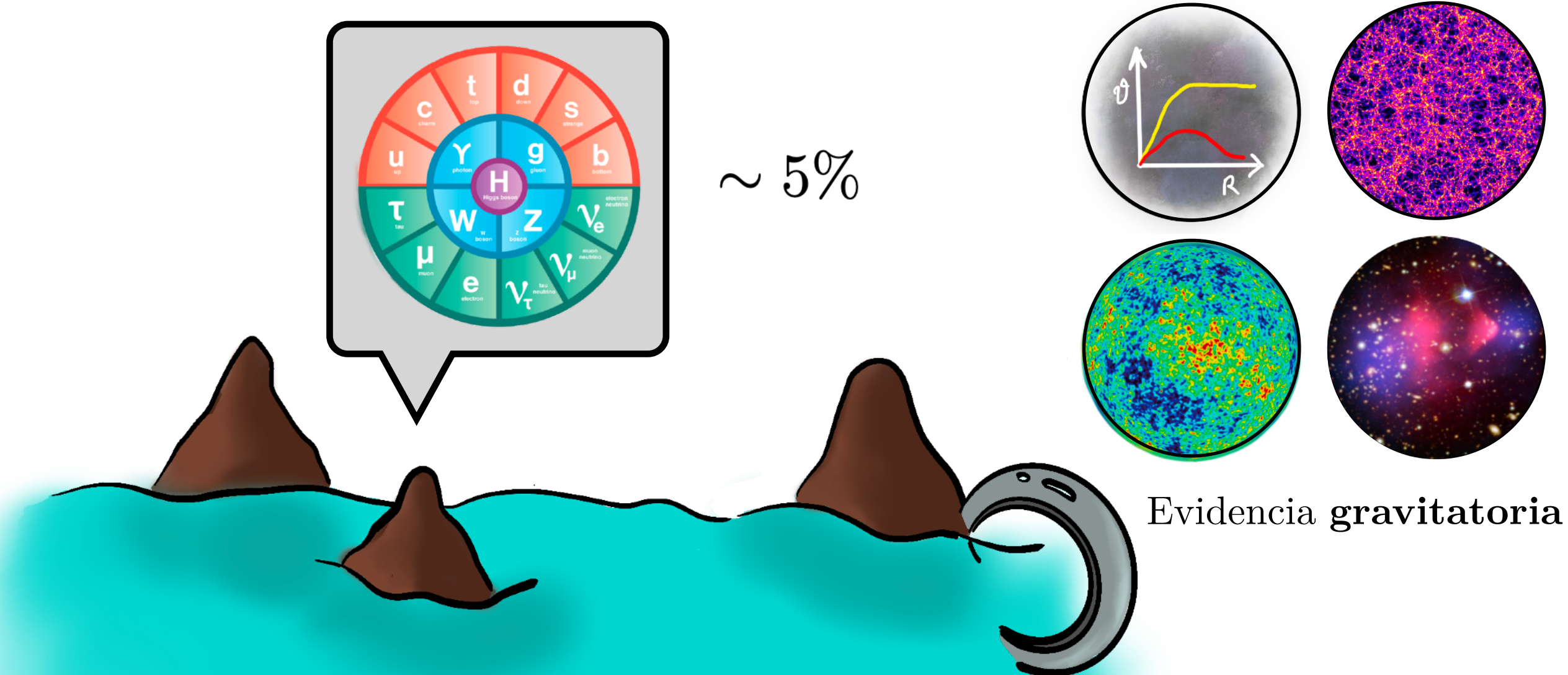
Speaker: Miguel Escudero Abenza (CERN)



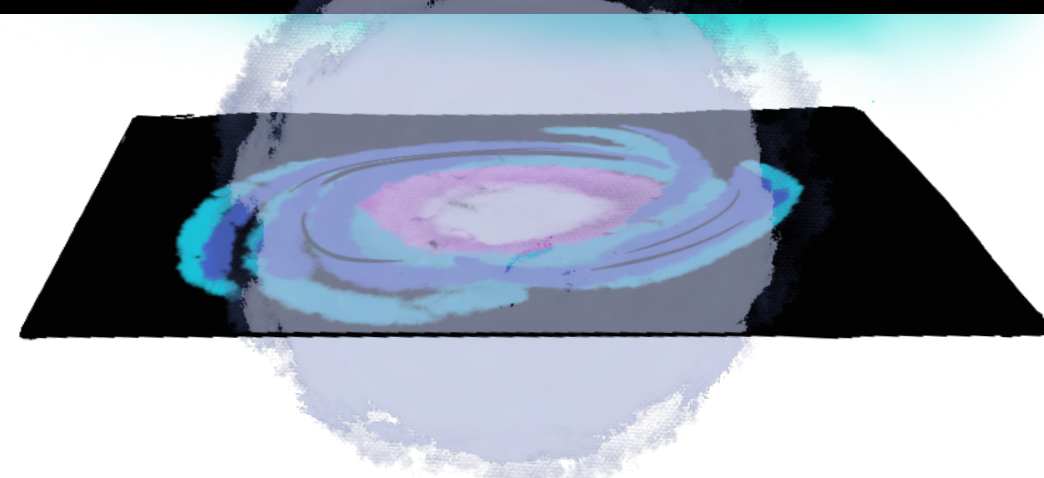
Más “materia” de la que vemos!



Más “materia” de la que vemos!

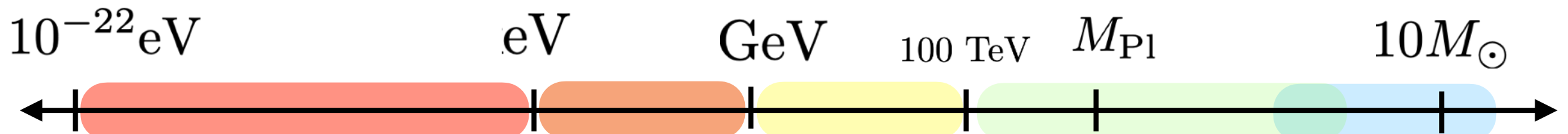
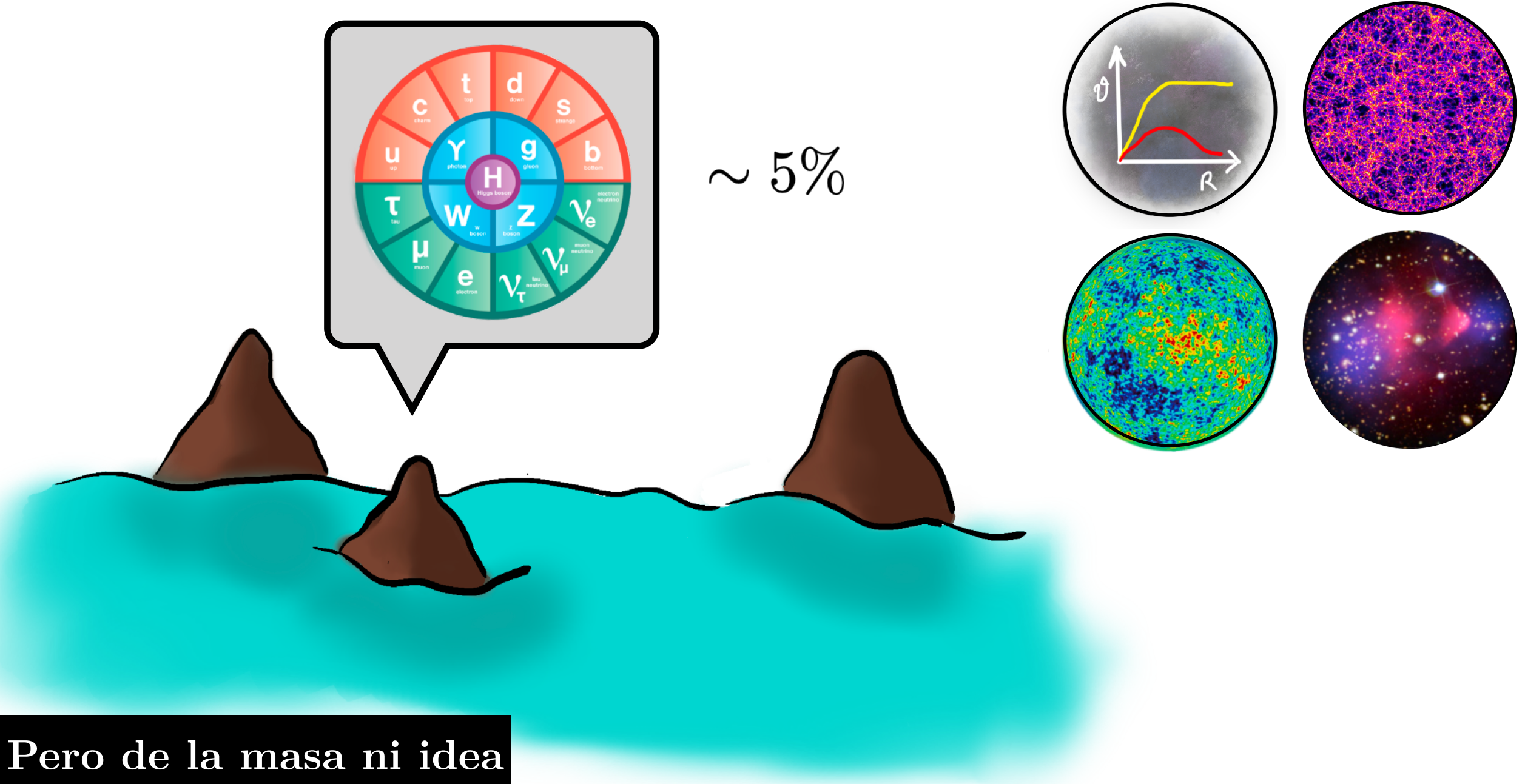


Sabemos muy poco... pero para lo poco sabemos, sabemos bastante

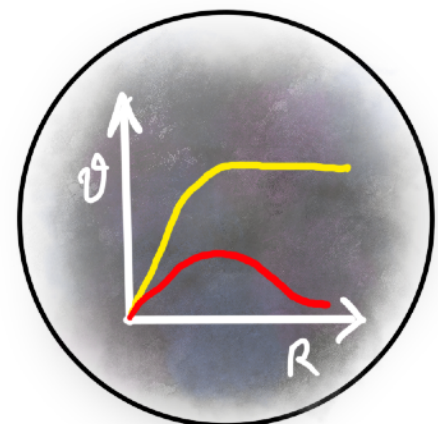


$$\Omega_{\text{DM}} h^2 = 0.12$$

Más “materia” de la que vemos!

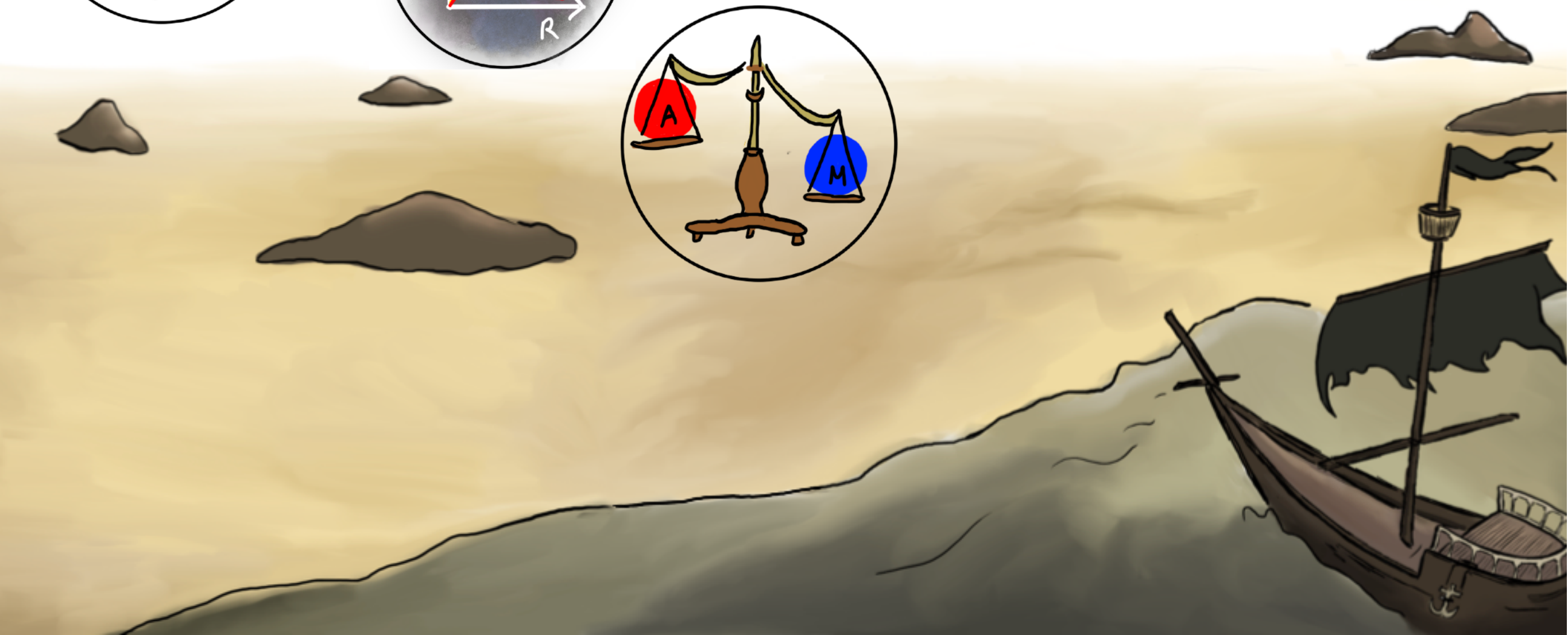
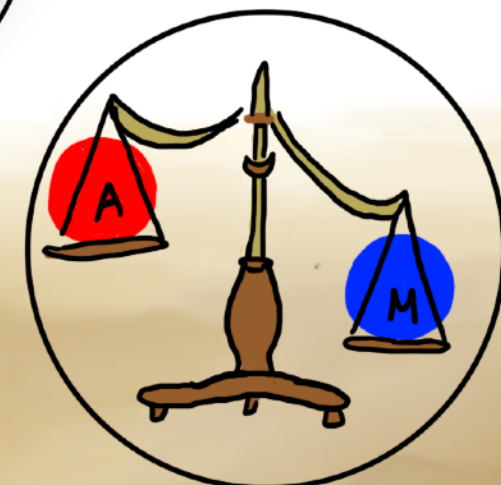
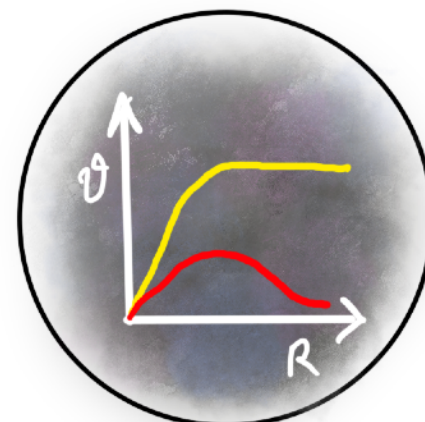
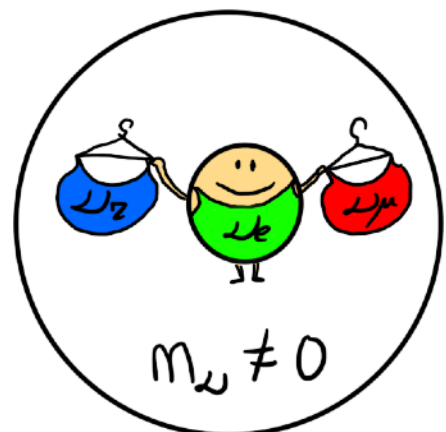


La materia oscura



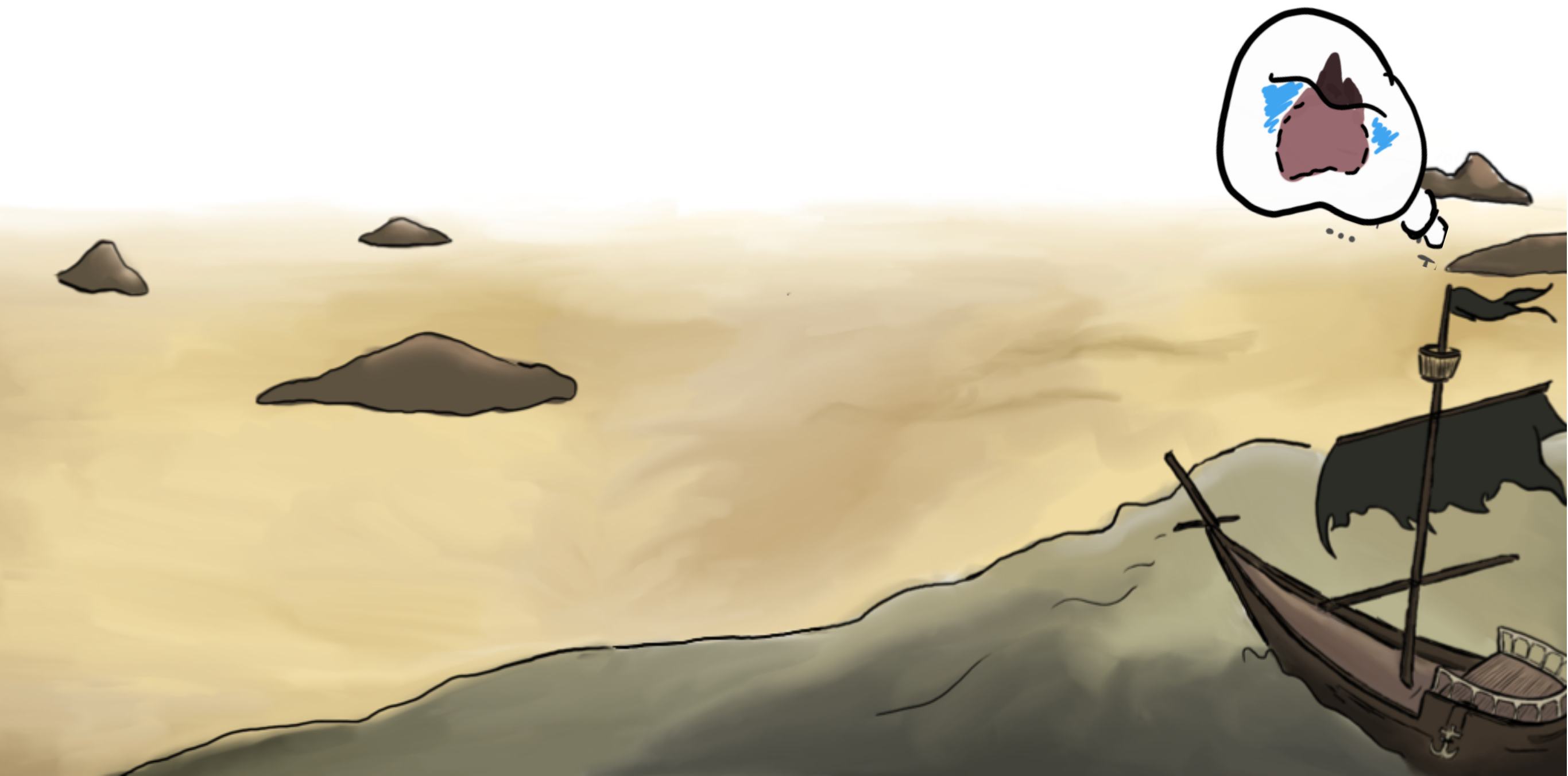
Más allá del modelo estandar

EVIDENCIAS



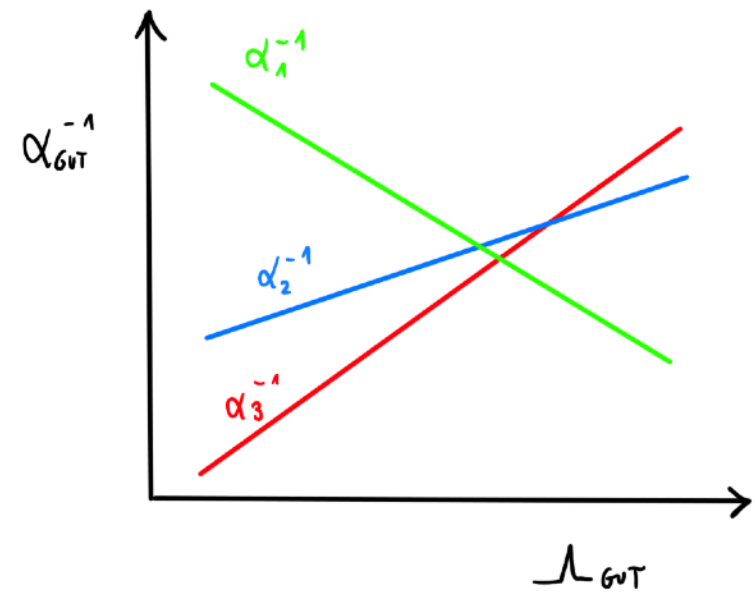
Más allá del modelo estandar

PISTAS



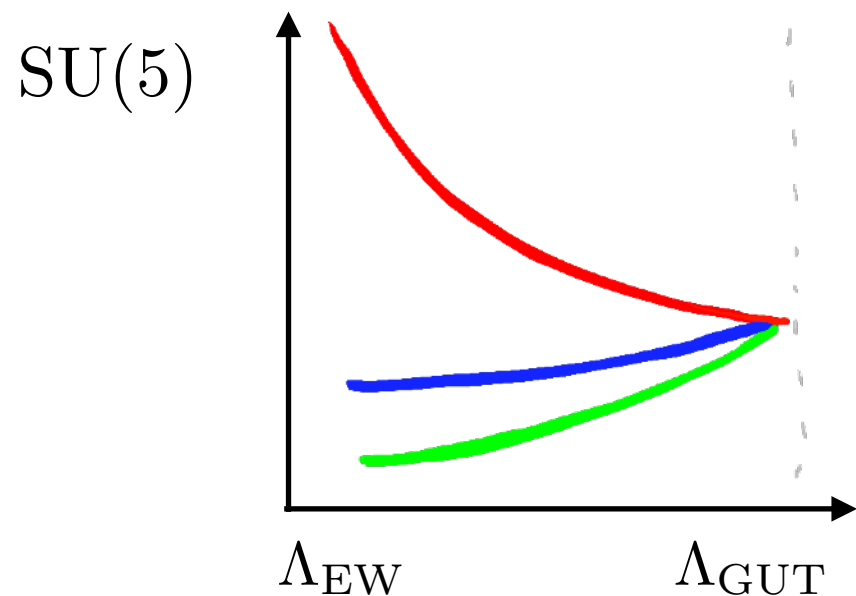
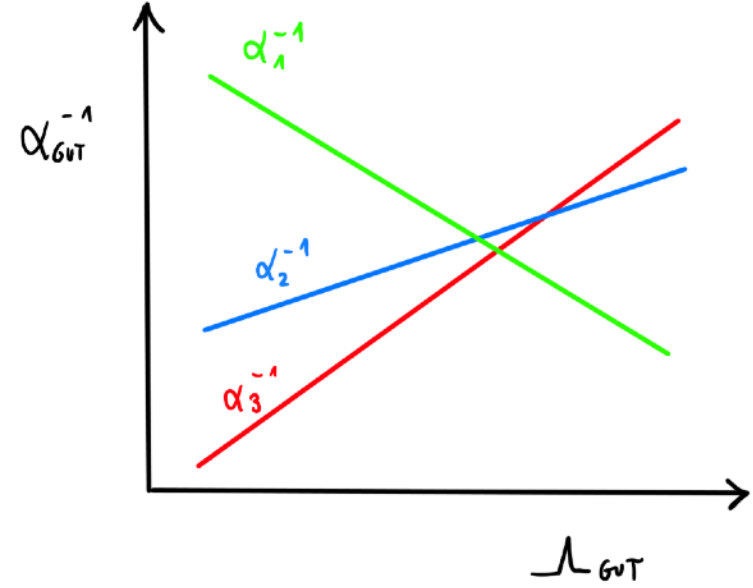
Gran Unificación (GUT)

$$\text{SU}(3) \otimes \text{SU}(2) \otimes \text{U}(1)_Y$$



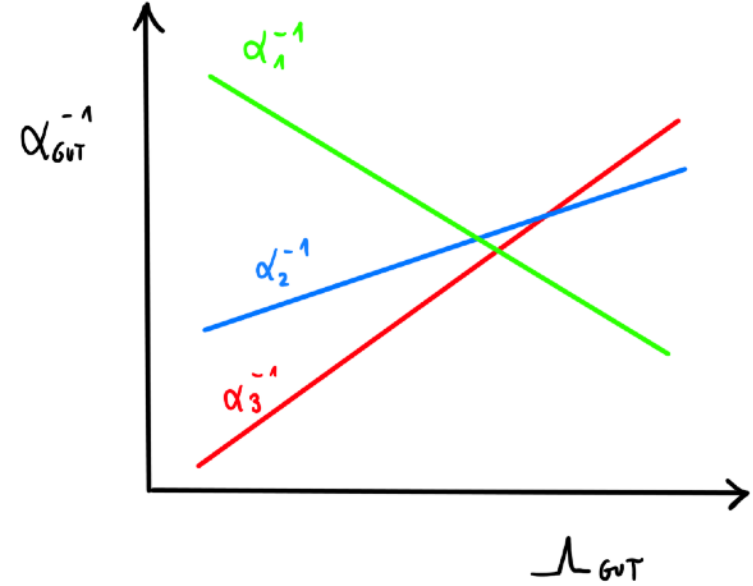
Gran Unificación (GUT)

$$\boxed{\text{SU}(3) \otimes \text{SU}(2) \otimes \text{U}(1)_Y}$$
$$\boxed{\text{SU}(5)}$$

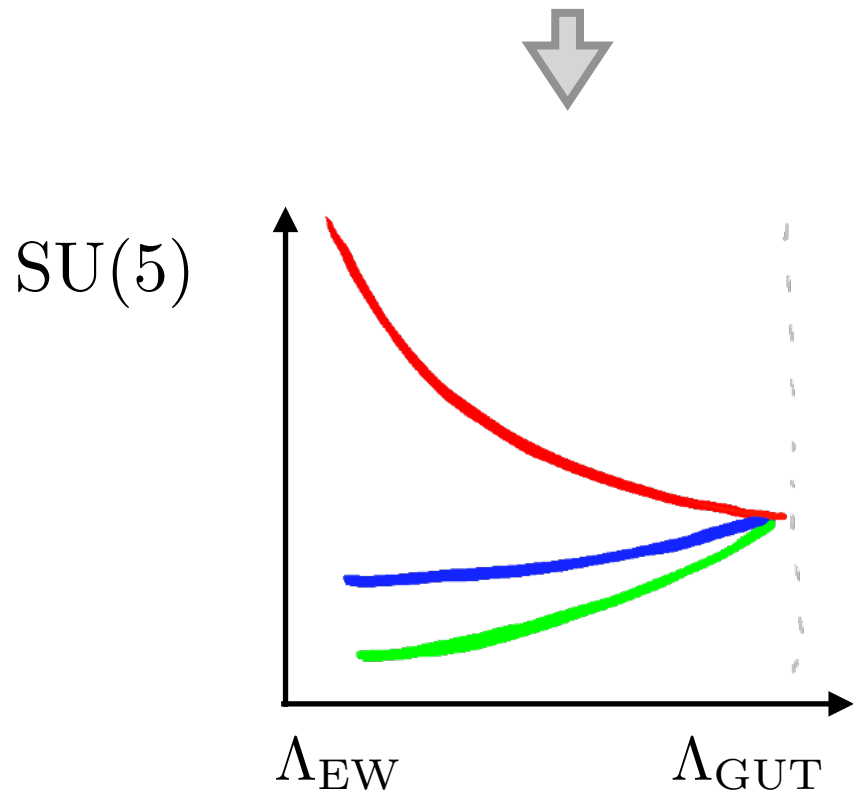


Gran Unificación (GUT)

$$\boxed{\text{SU}(3) \otimes \text{SU}(2) \otimes \text{U}(1)_Y}$$
$$\boxed{\text{SU}(5)}$$

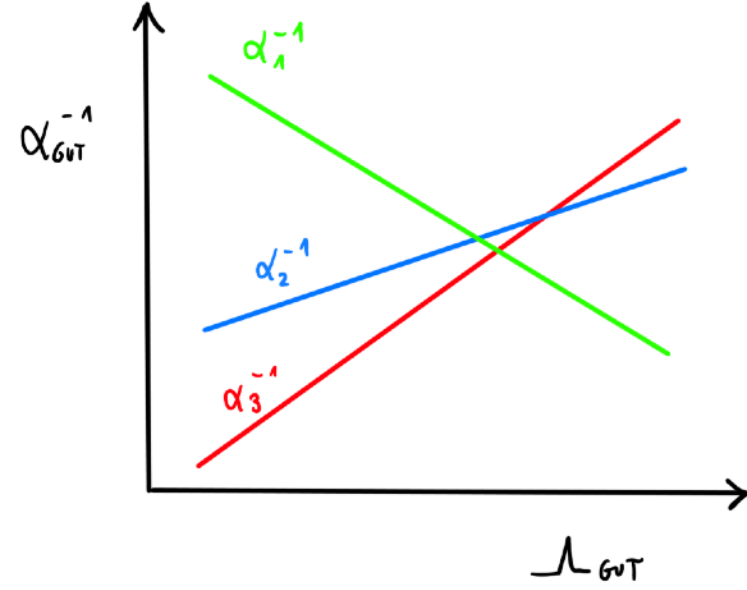


$$5 = \begin{pmatrix} (d_R)^c \\ L_L \end{pmatrix}, \quad 10 = \begin{pmatrix} (u_R)^c & Q_L \\ -Q_L^T & (e_R)^c \end{pmatrix}$$

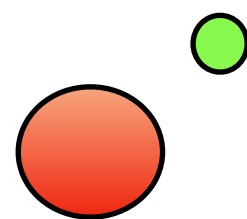


Gran Unificación (GUT)

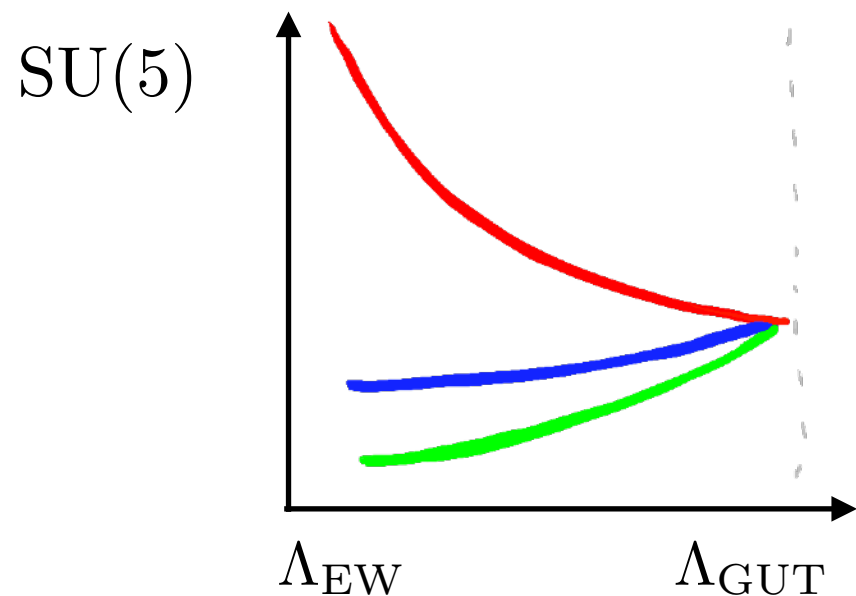
$$\boxed{\text{SU}(3) \otimes \text{SU}(2) \otimes \text{U}(1)_Y}$$
$$\boxed{\text{SU}(5)}$$



$$5 = \begin{pmatrix} (d_R)^c \\ L_L \end{pmatrix}, \quad 10 = \begin{pmatrix} (u_R)^c & Q_L \\ -Q_L^T & (e_R)^c \end{pmatrix}$$

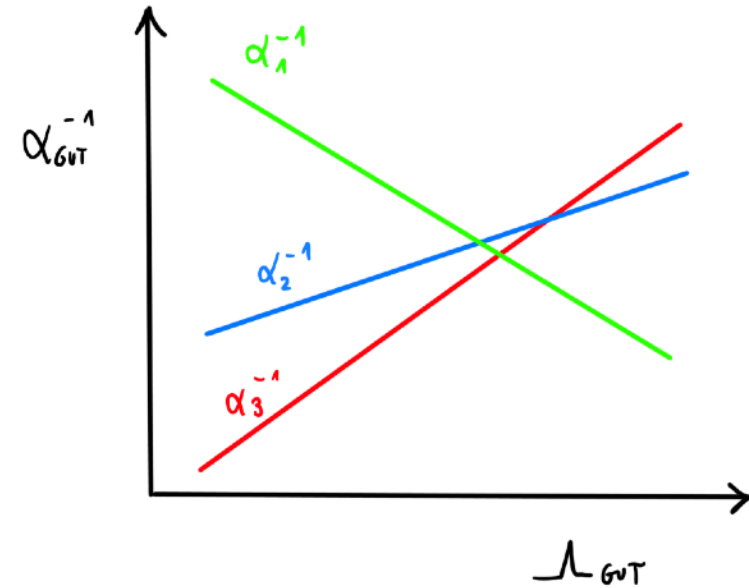


$$Q(p) + Q(e) = 0$$



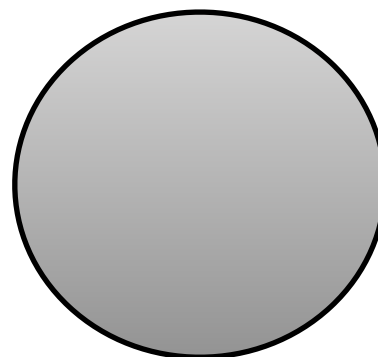
Gran Unificación (GUT)

$$\boxed{\text{SU}(3) \otimes \text{SU}(2) \otimes \text{U}(1)_Y} \\ \boxed{\text{SU}(5)}$$

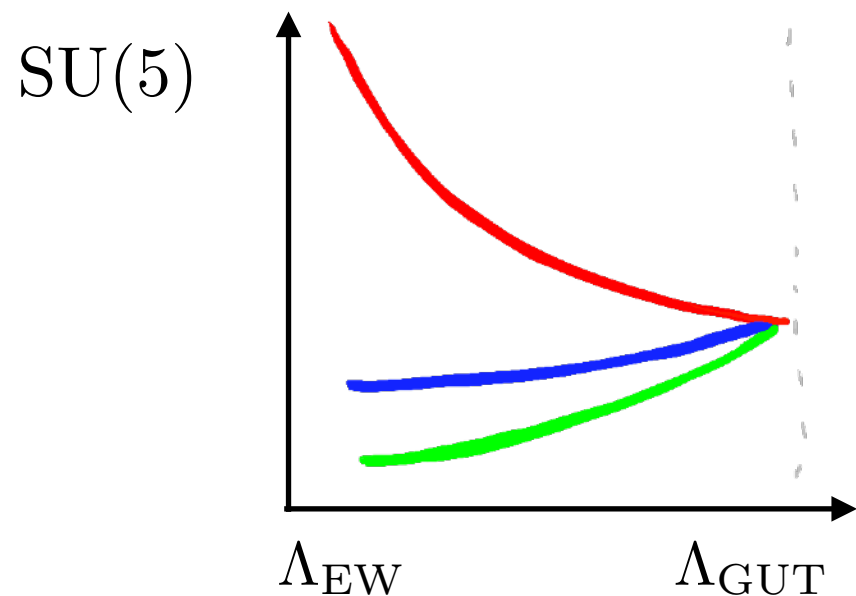


$$5 = \begin{pmatrix} (d_R)^c \\ L_L \end{pmatrix}, \quad 10 = \begin{pmatrix} (u_R)^c & Q_L \\ -Q_L^T & (e_R)^c \end{pmatrix}$$

El átomo de hidrógeno es neutro!

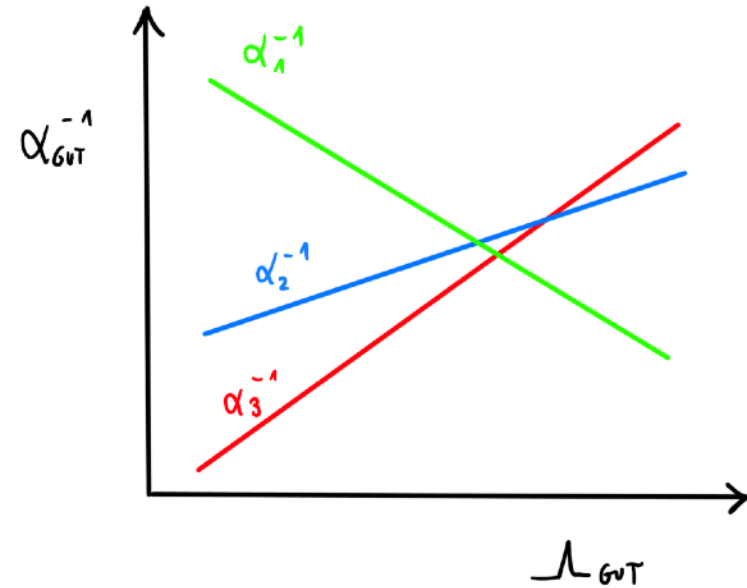


$$Q(p) + Q(e) = 0$$



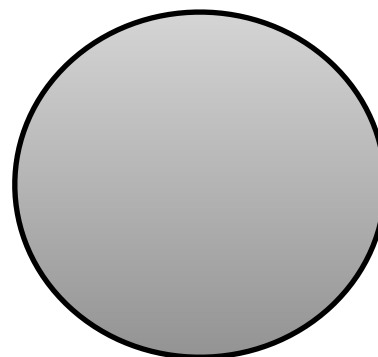
Gran Unificación (GUT)

$$\boxed{\text{SU}(3) \otimes \text{SU}(2) \otimes \text{U}(1)_Y} \\ \boxed{\text{SU}(5)}$$

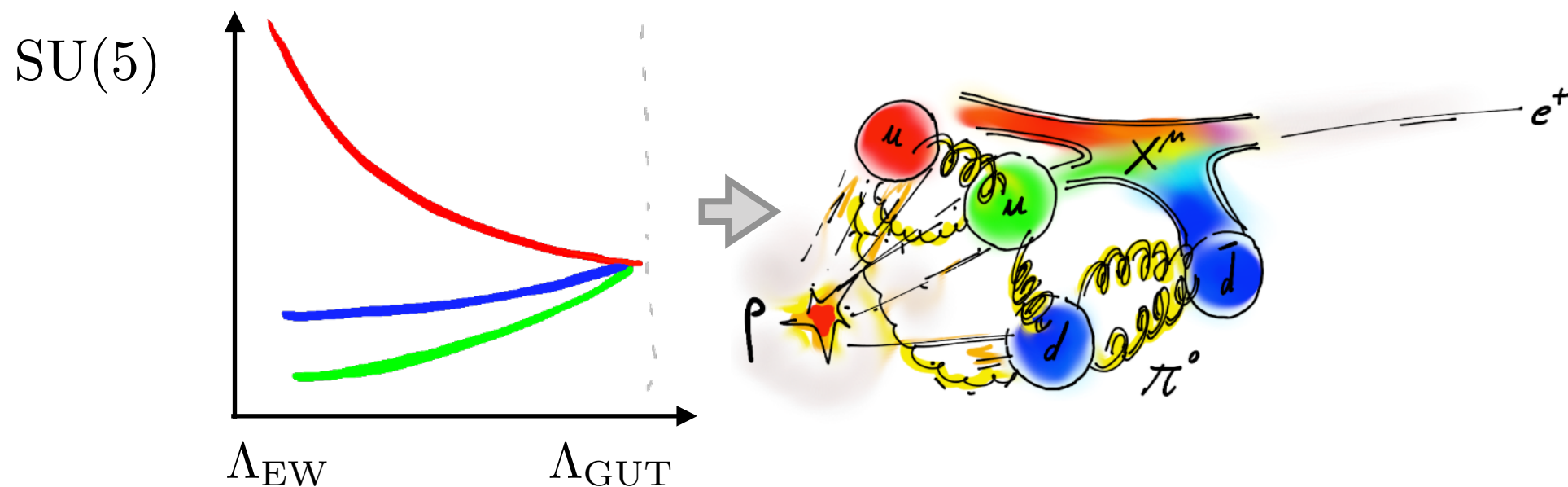


$$5 = \begin{pmatrix} (d_R)^c \\ L_L \end{pmatrix}, \quad 10 = \begin{pmatrix} (u_R)^c & Q_L \\ -Q_L^T & (e_R)^c \end{pmatrix}$$

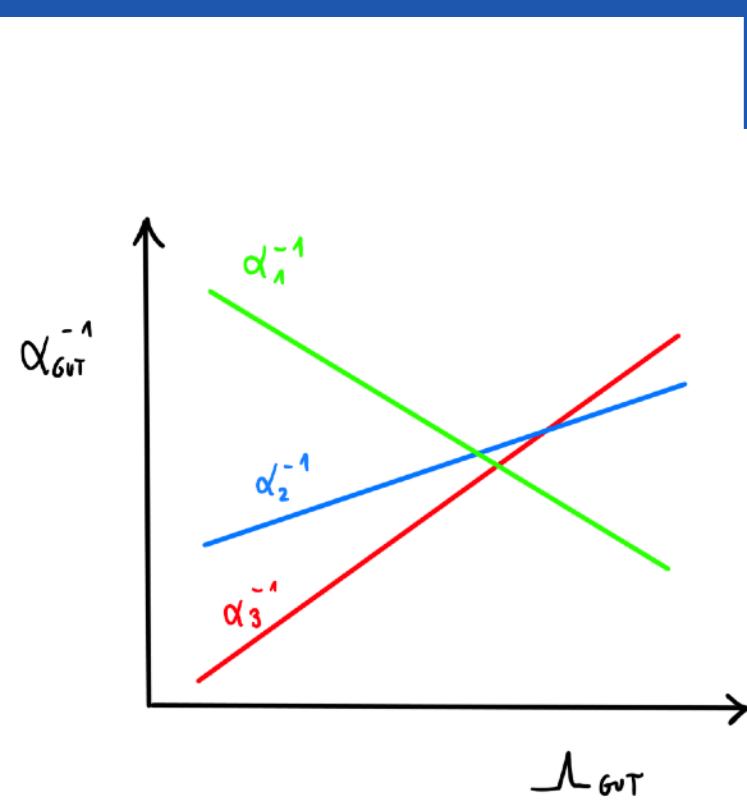
El átomo de hidrógeno es neutro!



$$Q(p) + Q(e) = 0$$



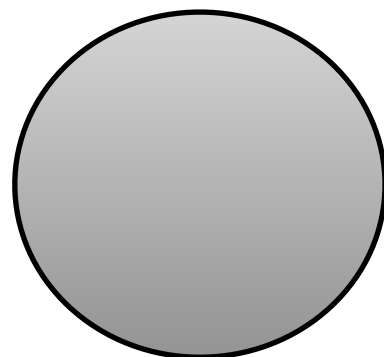
Gran Unificación (GUT)



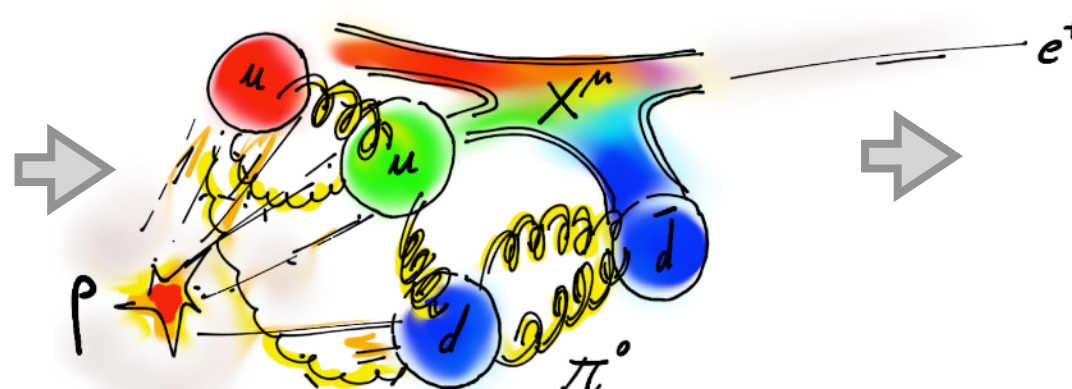
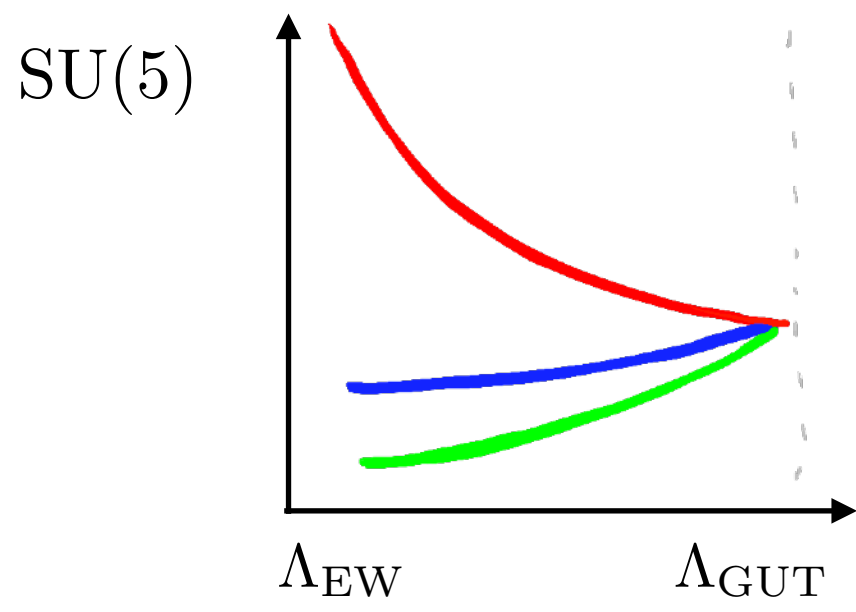
$$\boxed{\text{SU}(3) \otimes \text{SU}(2) \otimes \text{U}(1)_Y} \\ \boxed{\text{SU}(5)}$$

$$5 = \begin{pmatrix} (d_R)^c \\ L_L \end{pmatrix}, \quad 10 = \begin{pmatrix} (u_R)^c & Q_L \\ -Q_L^T & (e_R)^c \end{pmatrix}$$

El átomo de hidrógeno es neutro!



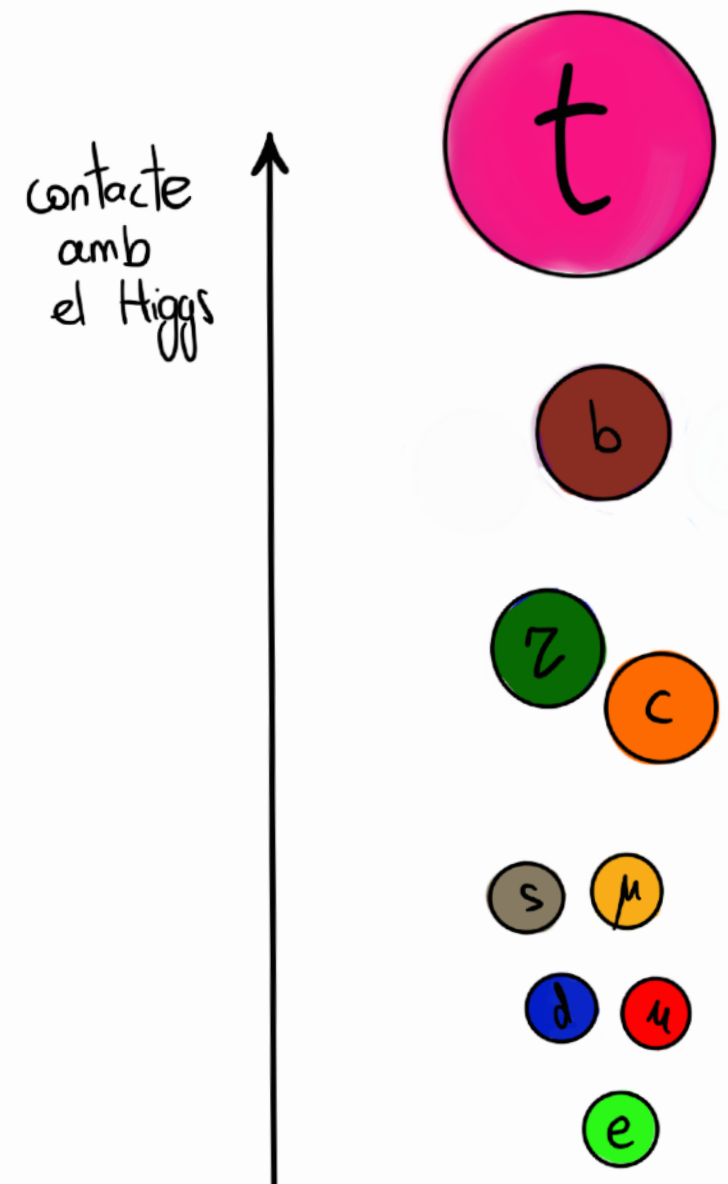
$$Q(p) + Q(e) = 0$$



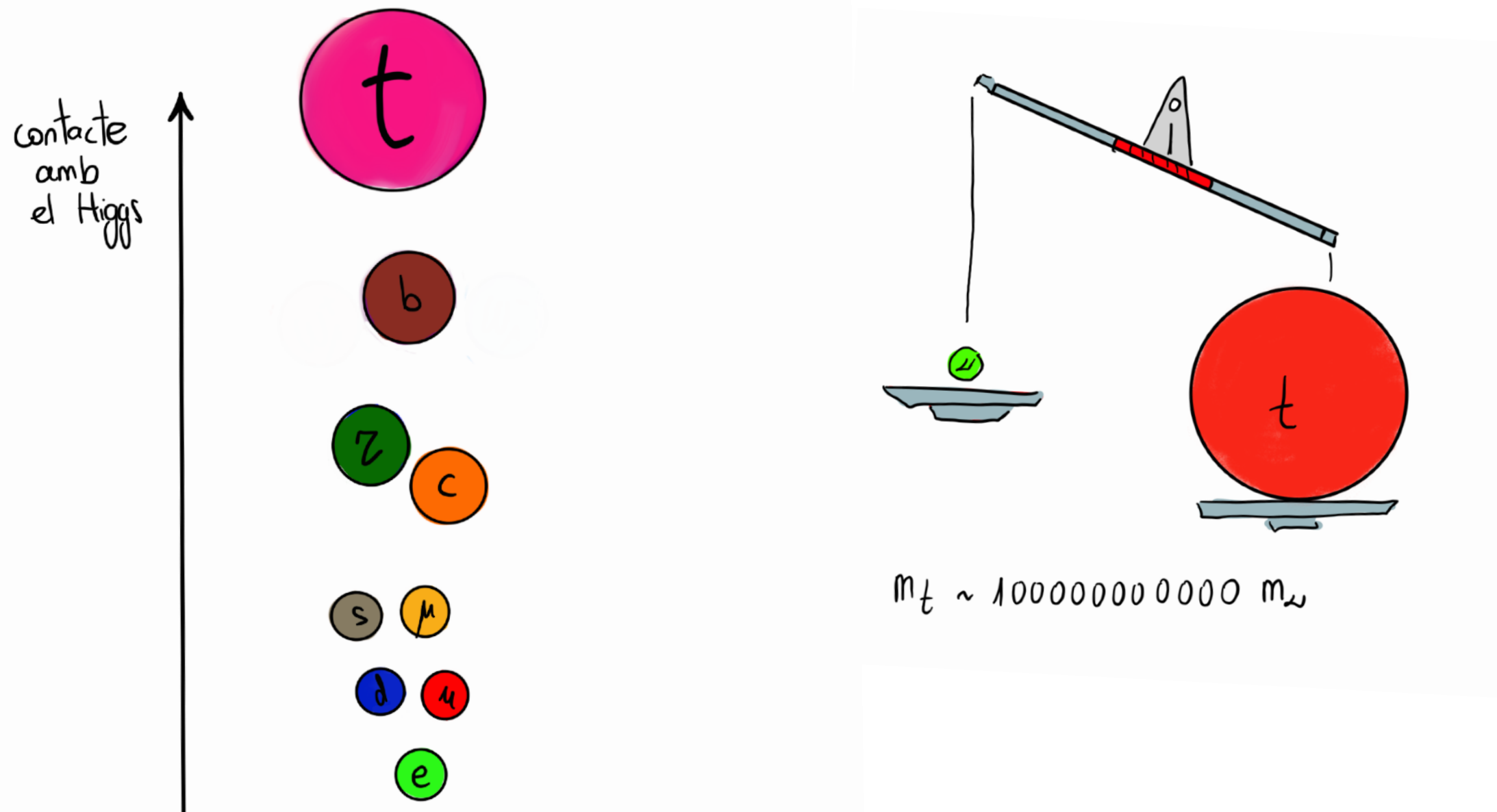
$$\tau_p > 10^{34} \text{ años!!}$$

$$\Lambda_{\text{GUT}} \gtrsim 10^{15} \text{ GeV}$$

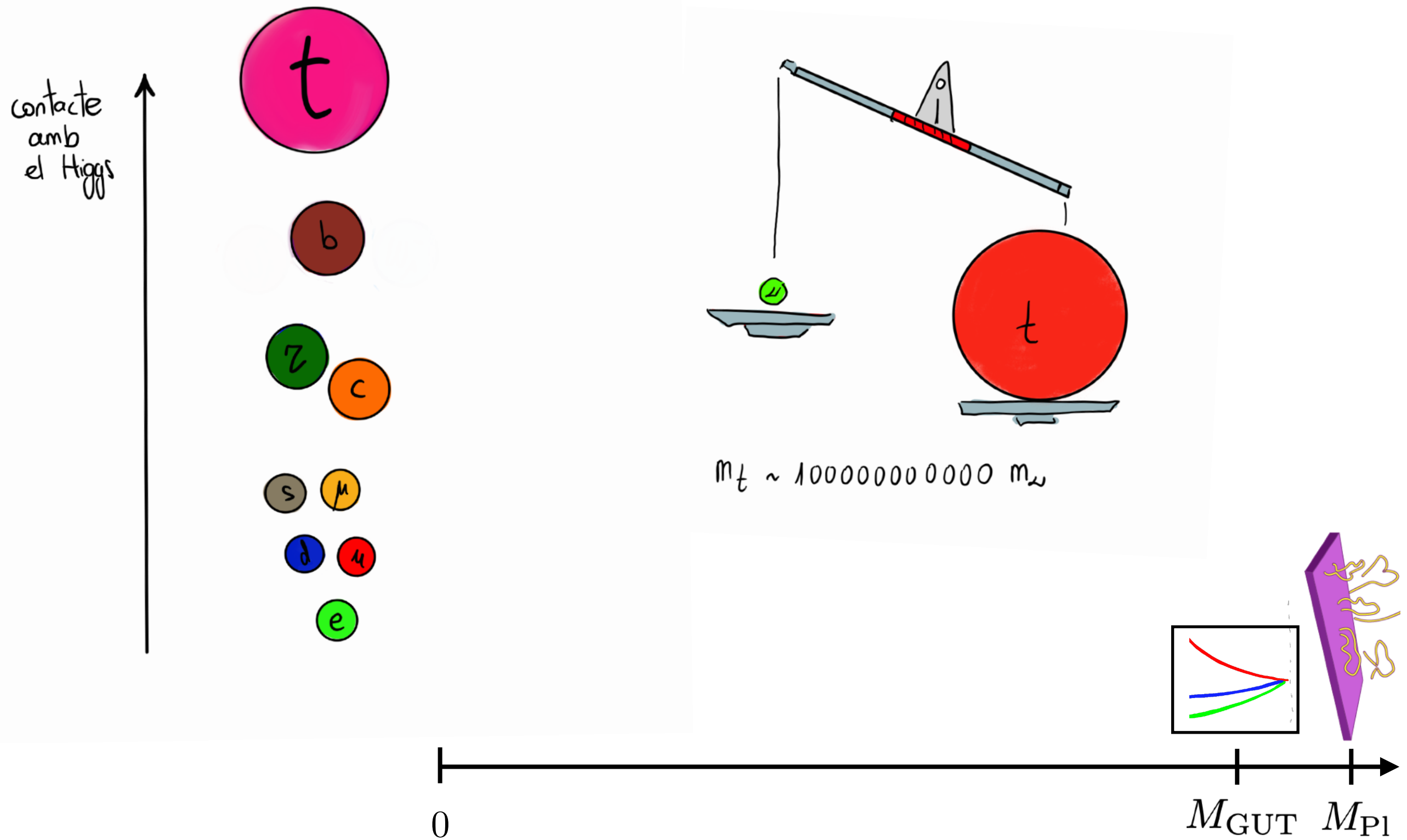
Herarquías



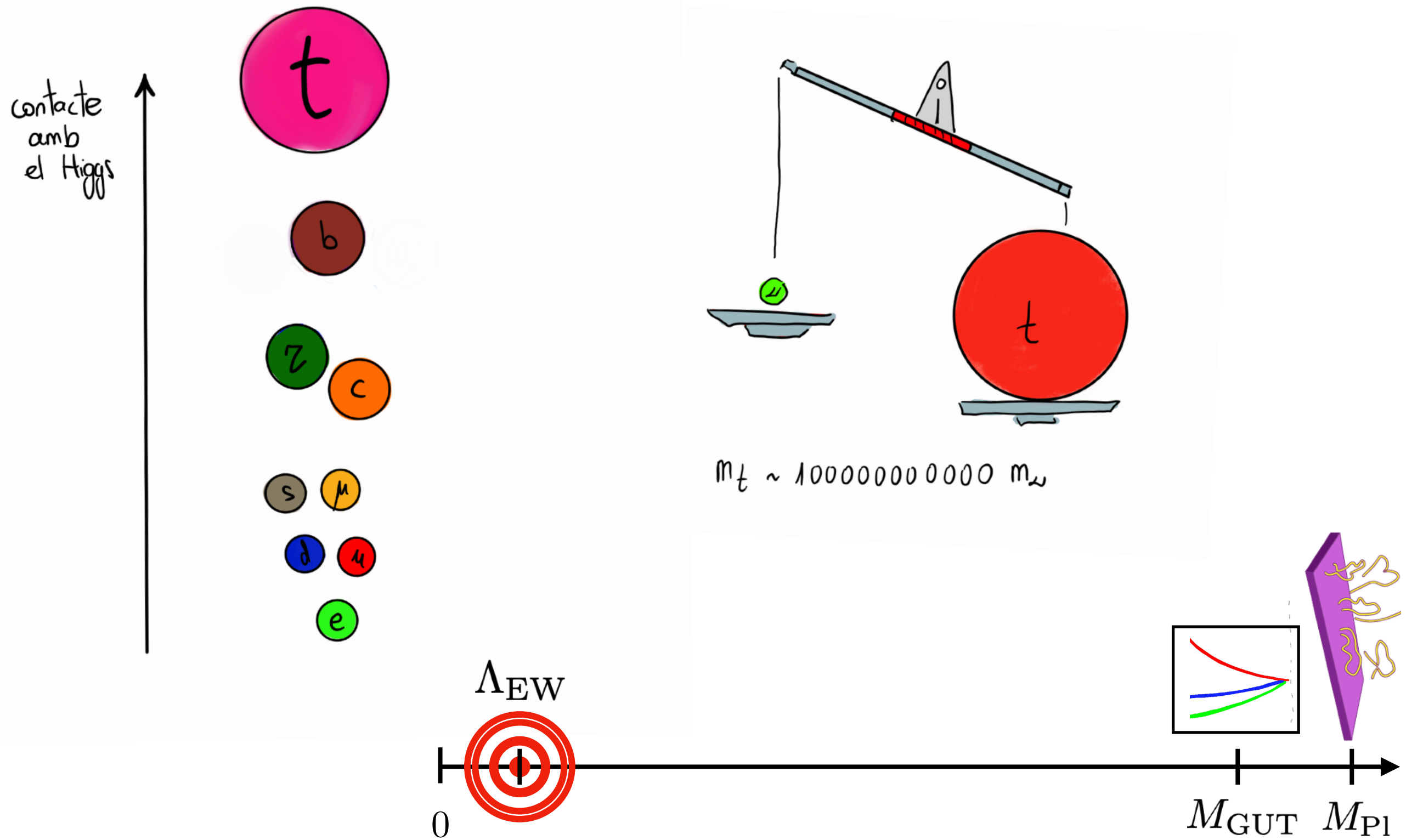
Herarquías



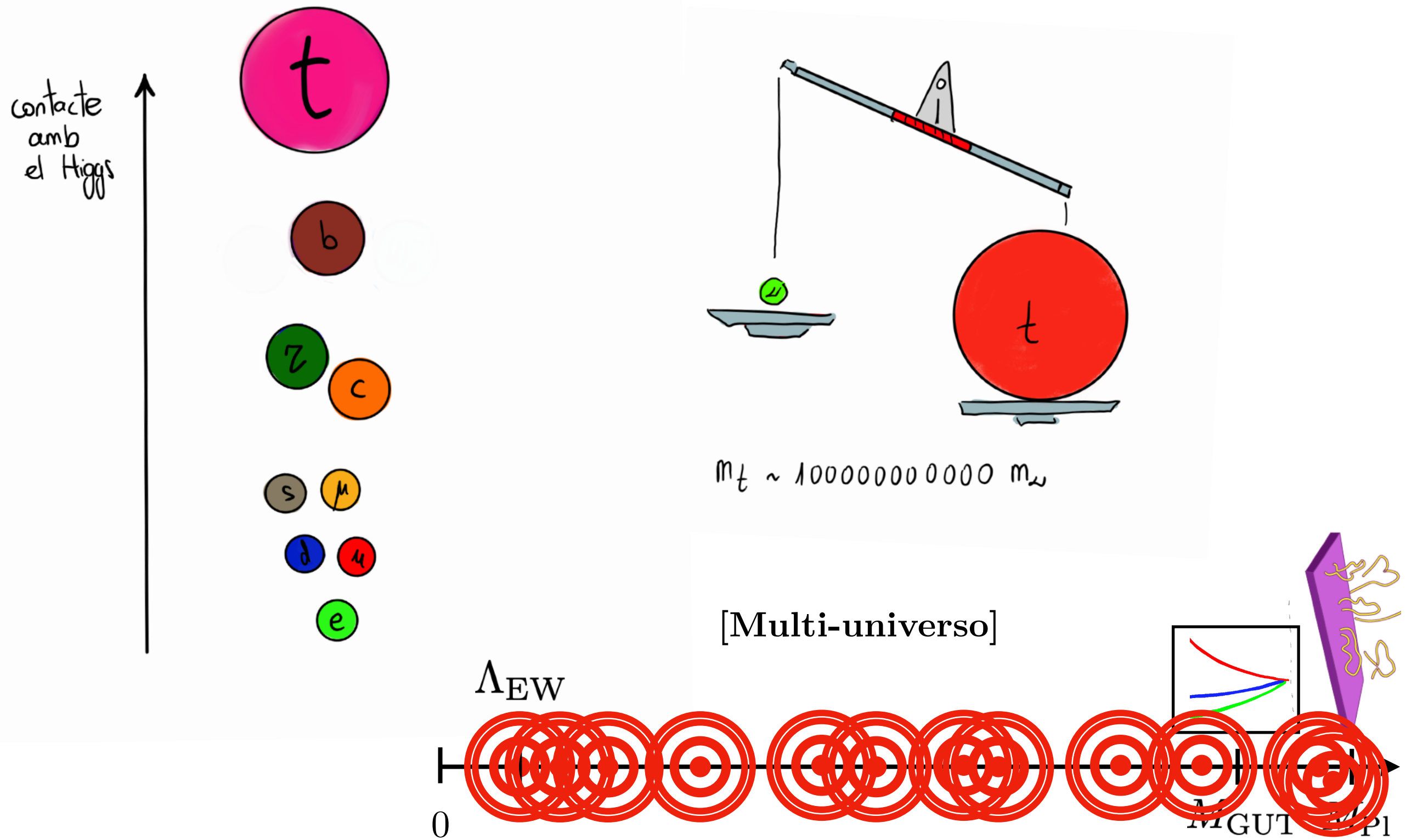
Herarquías



Herarquías



Herarquías



El puzzle de sabor

$$\text{SU}(3) \otimes \text{SU}(2) \otimes \text{U}(1)_Y$$

u	d	e	ω_e
c	s	μ	ω_μ
t	b	τ	ω_τ

Por qué 3? Y no 5? O sólo 1? O 40000?



El puzzle de sabor

$$\text{SU}(3) \otimes \text{SU}(2) \otimes \text{U}(1)_Y$$

u	d	e	ω_e
c	s	μ	ω_μ
t	b	τ	ω_τ

Por qué 3? Y no 5? O sólo 1? O 40000?



1st GEN



2nd GEN

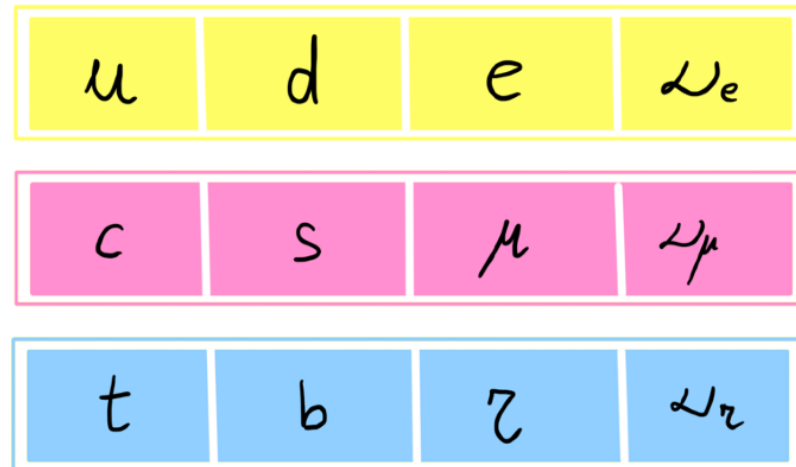


3rd GEN



El puzzle de sabor

$$\text{SU}(3) \otimes \text{SU}(2) \otimes \text{U}(1)_Y$$



Por qué 3? Y no 5? O sólo 1? O 40000?



1st GEN



2nd GEN

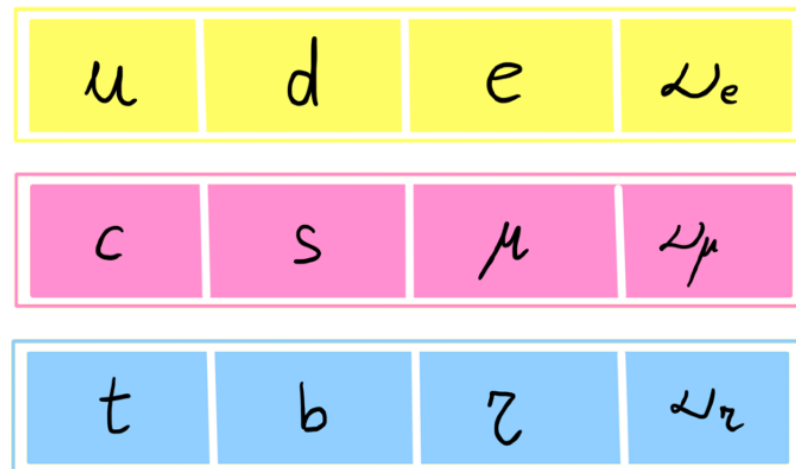


3rd GEN



El puzzle de sabor

$$\text{SU}(3) \otimes \text{SU}(2) \otimes \text{U}(1)_Y$$



e.g. $\text{SO}(18)$

1st GEN



2nd GEN

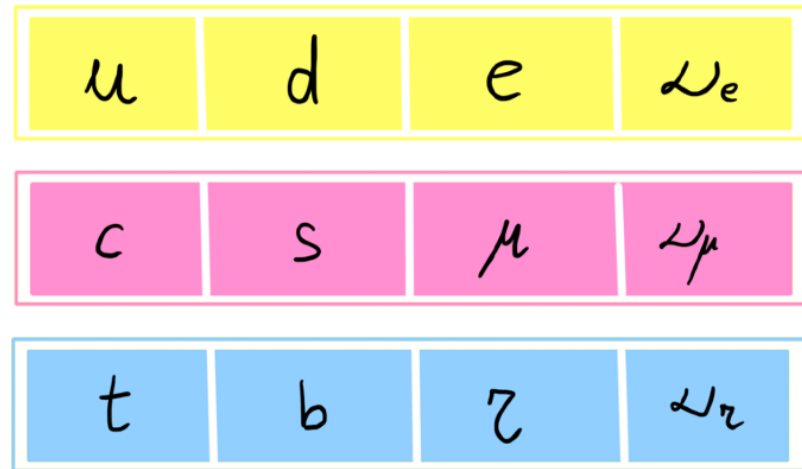


3rd GEN



El puzzle de sabor

$$\text{SU}(3) \otimes \text{SU}(2) \otimes \text{U}(1)_Y$$

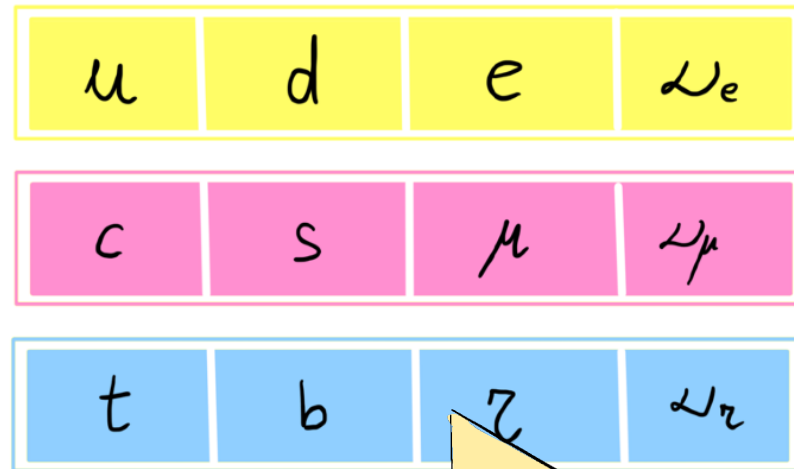


e.g. $\text{SO}(18)$



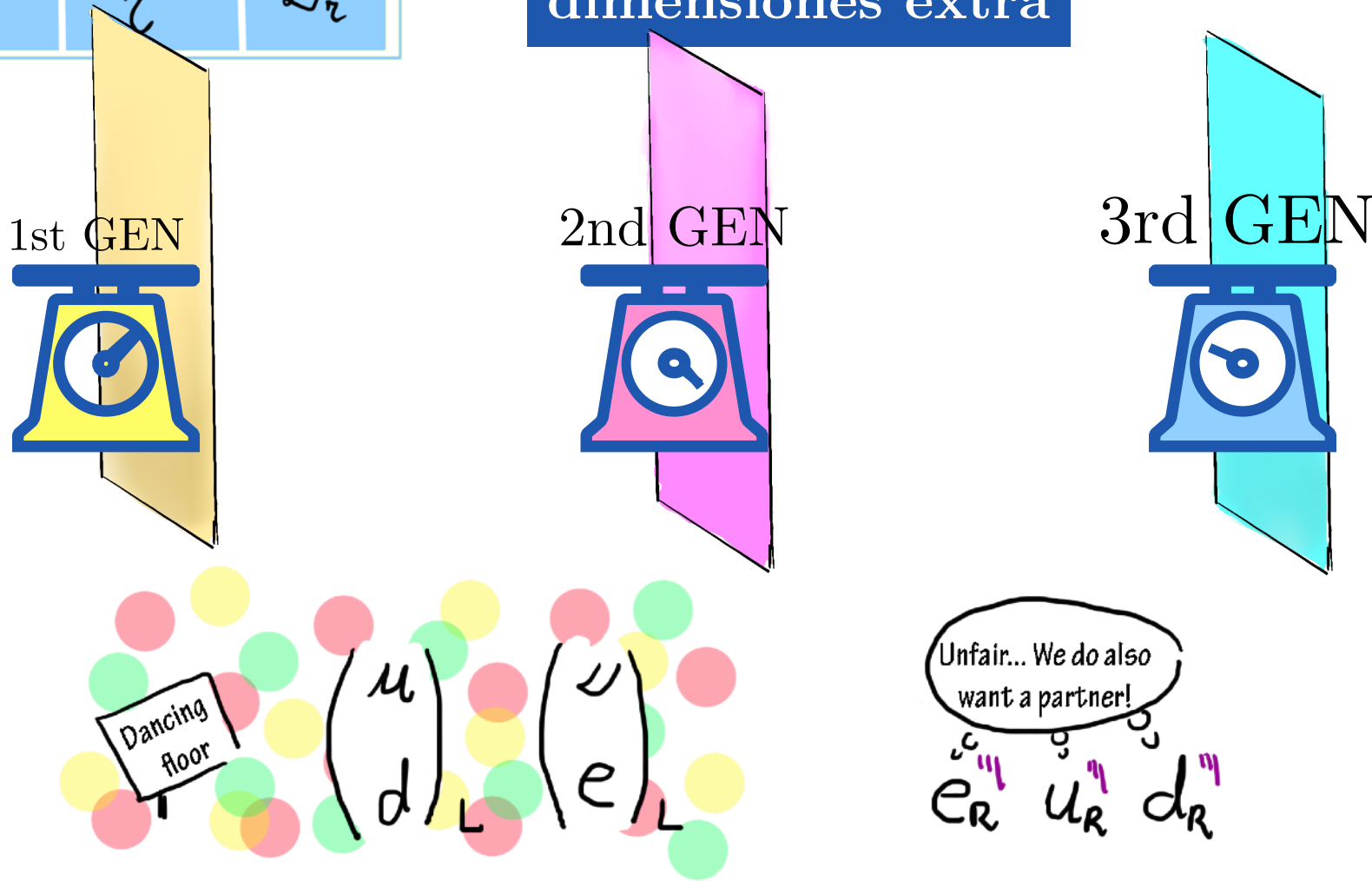
El puzzle de sabor

$$\text{SU}(3) \otimes \text{SU}(2) \otimes \text{U}(1)_Y$$



e.g. $\text{SO}(18)$

dimensiones extra



El puzzle de sabor

$$SU(3) \otimes SU(2) \otimes U(1)_Y$$

u	d	e	ν_e
c	s	μ	ν_μ
t	b	τ	ν_τ

$$F_L = \begin{pmatrix} u \\ d \\ \nu \\ e \end{pmatrix}_L \quad F_R = \begin{pmatrix} u \\ d \\ \nu \\ e \end{pmatrix}_R$$

Quark-lepton unification

1st GEN



2nd GEN

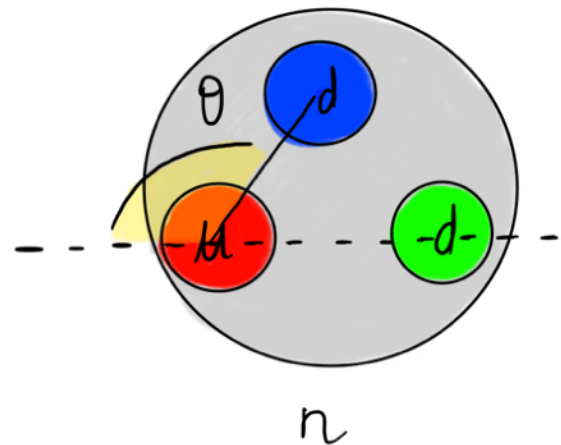


3rd GEN



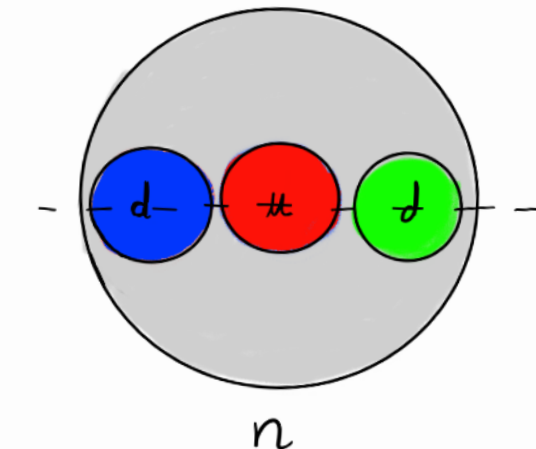
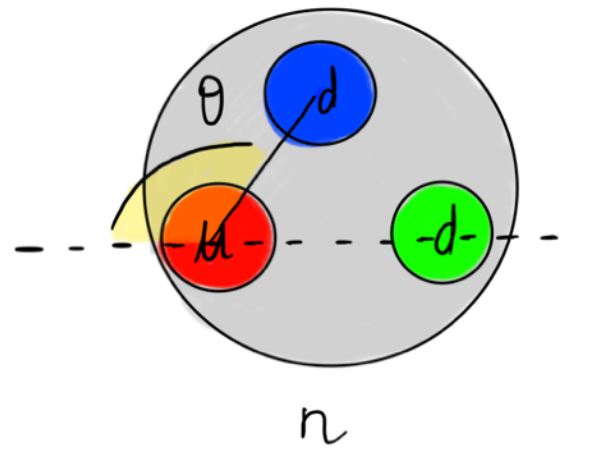
El problema fuerte de CP

$$\text{SU}(3) \otimes \text{SU}(2) \otimes \text{U}(1)_Y$$



El problema fuerte de CP

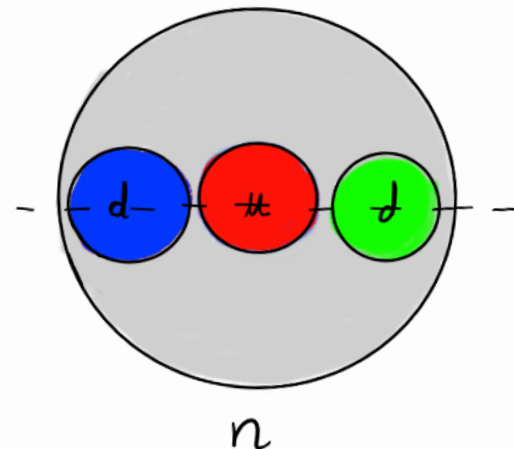
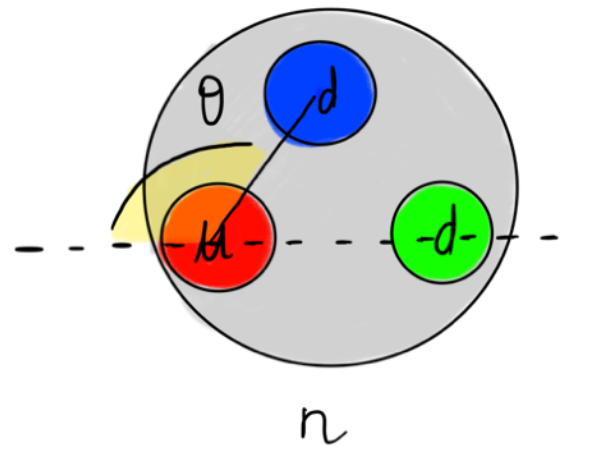
$$\text{SU}(3) \otimes \text{SU}(2) \otimes \text{U}(1)_Y$$



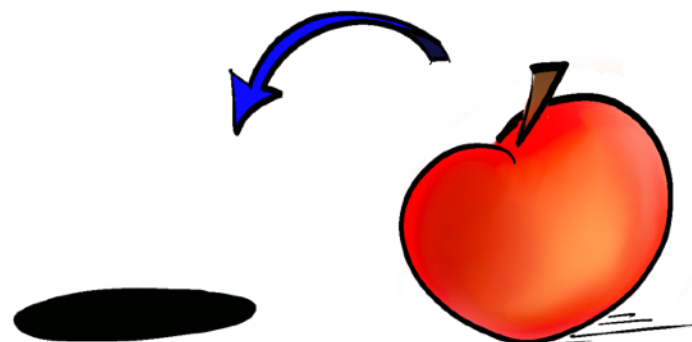
$$\theta_{\text{QCD}} < 10^{-10}$$

El problema fuerte de CP

$$\text{SU}(3) \otimes \text{SU}(2) \otimes \text{U}(1)_Y$$

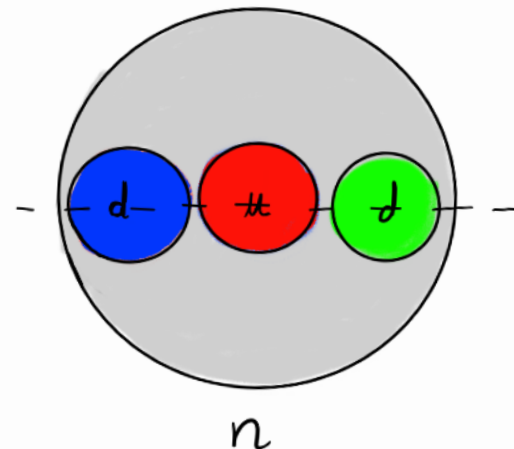
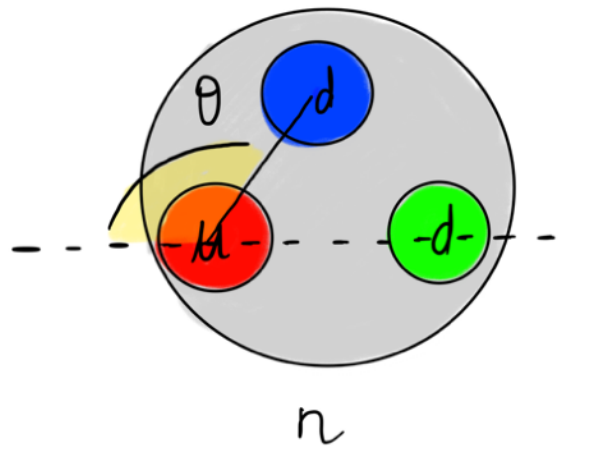


$$\theta_{\text{QCD}} < 10^{-10}$$

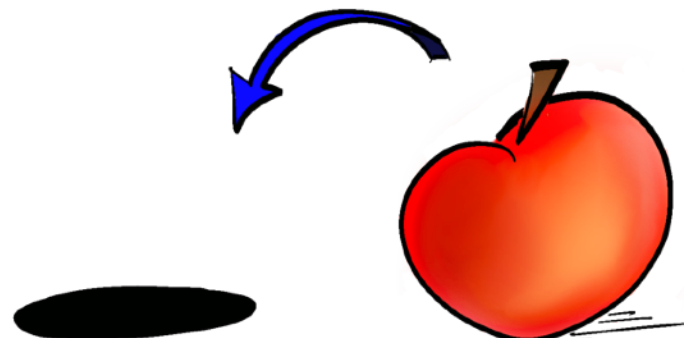


El problema fuerte de CP

$$\text{SU}(3) \otimes \text{SU}(2) \otimes \text{U}(1)_Y$$

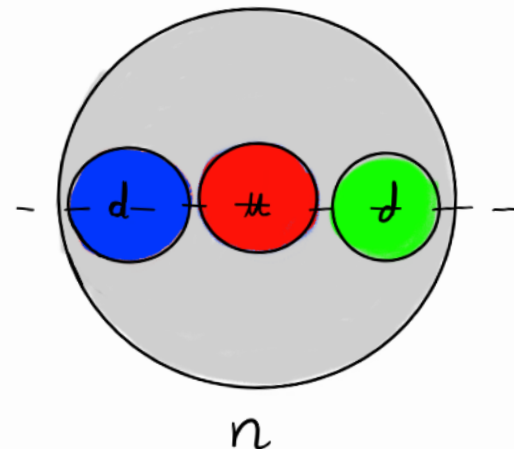
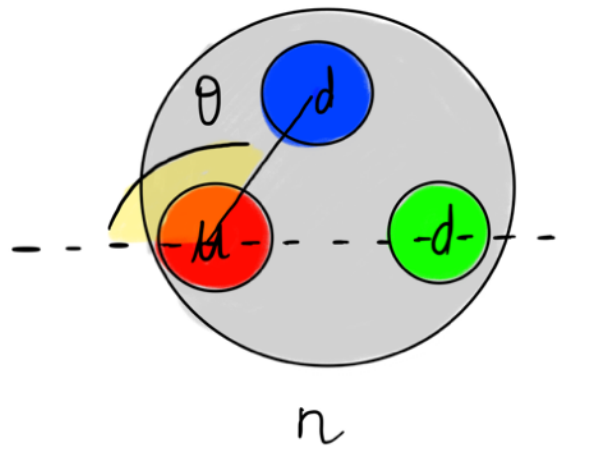


$$\theta_{\text{QCD}} < 10^{-10}$$

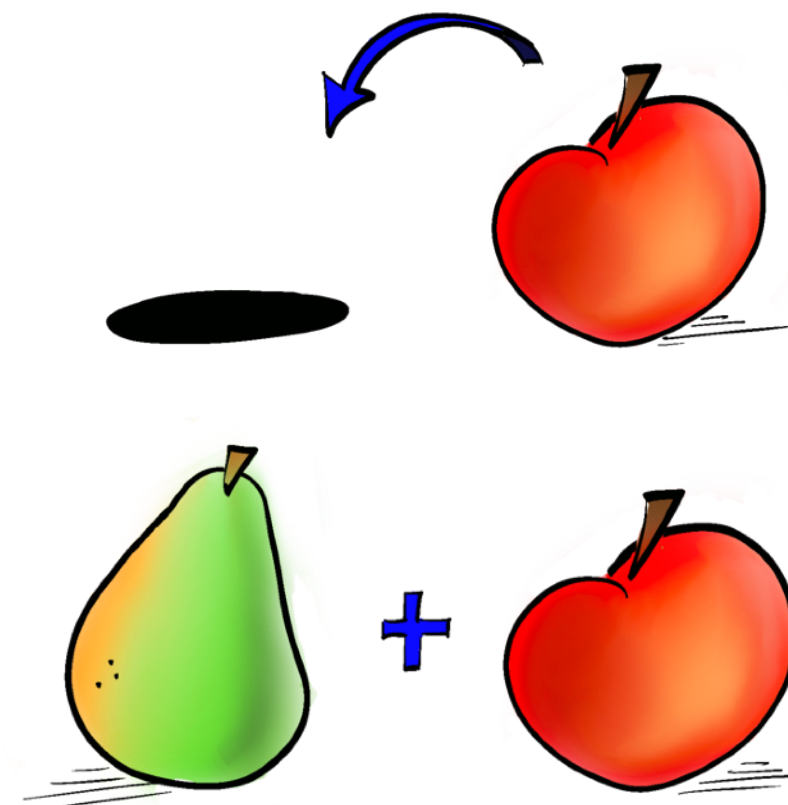


El problema fuerte de CP

$$\text{SU}(3) \otimes \text{SU}(2) \otimes \text{U}(1)_Y$$

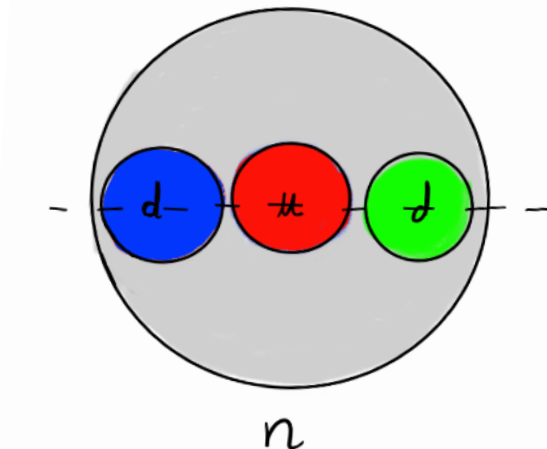
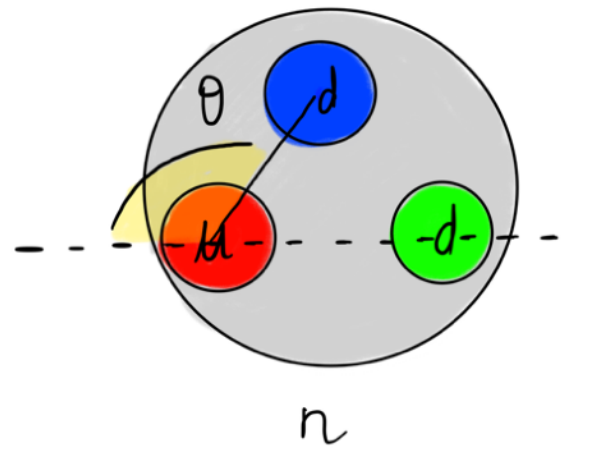


$$\theta_{\text{QCD}} < 10^{-10}$$

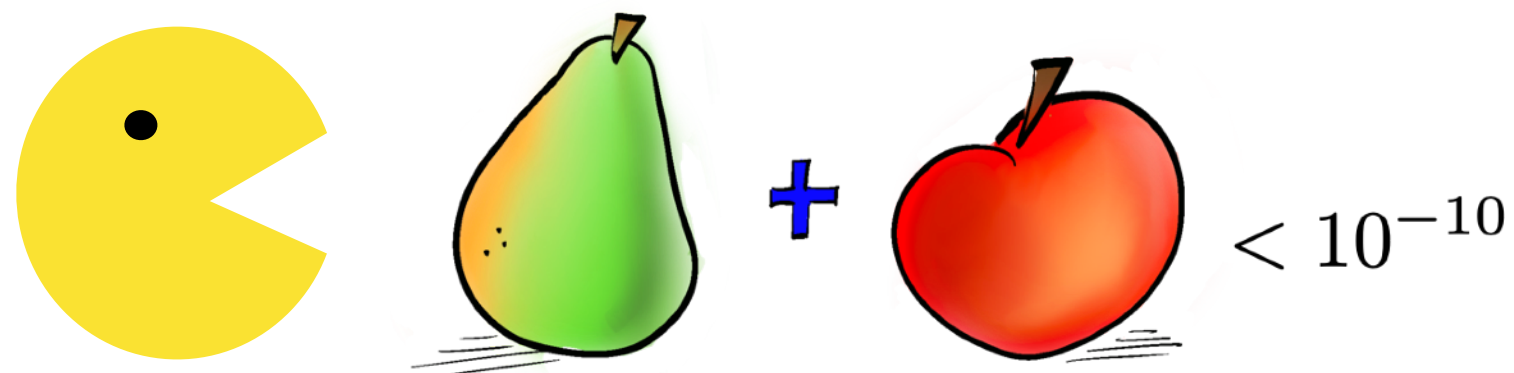


El problema fuerte de CP

$$\text{SU}(3) \otimes \text{SU}(2) \otimes \text{U}(1)_Y$$

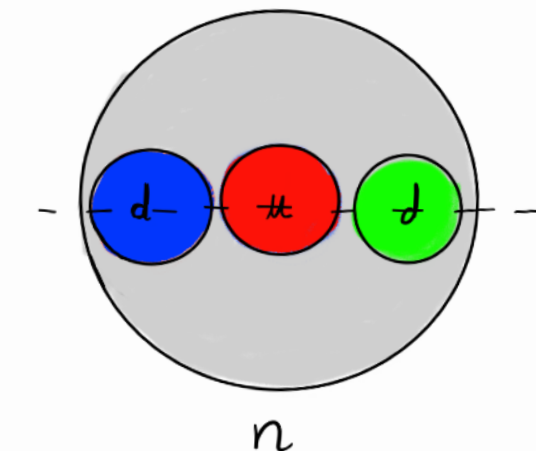
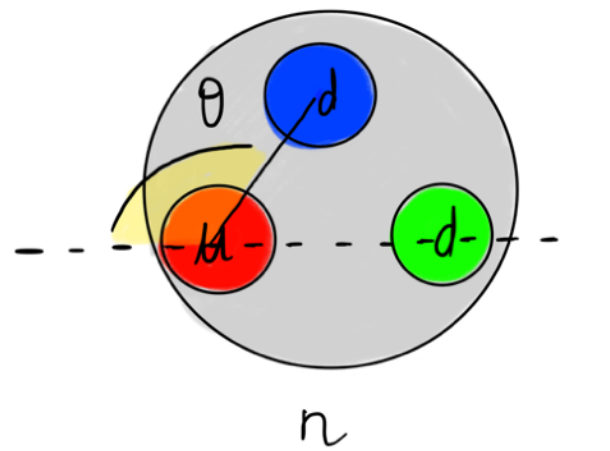


$$\theta_{\text{QCD}} < 10^{-10}$$

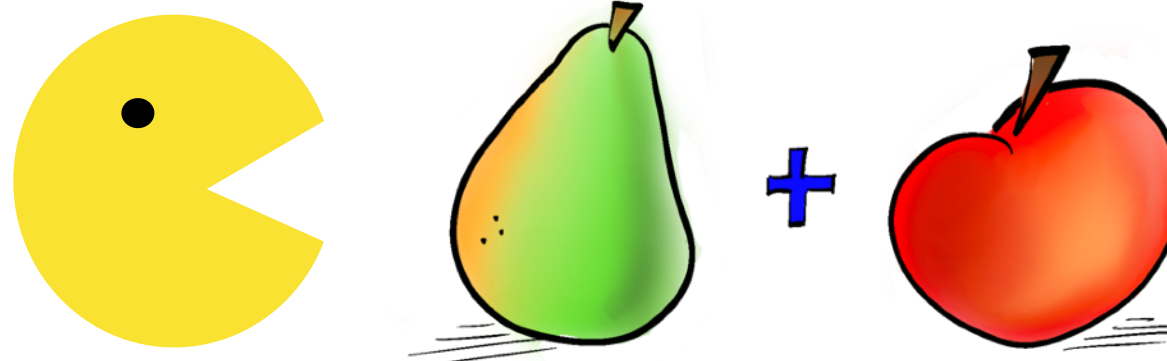


El problema fuerte de CP

$$\text{SU}(3) \otimes \text{SU}(2) \otimes \text{U}(1)_Y$$

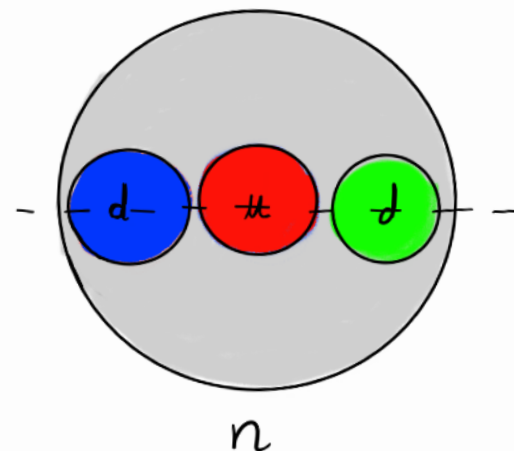
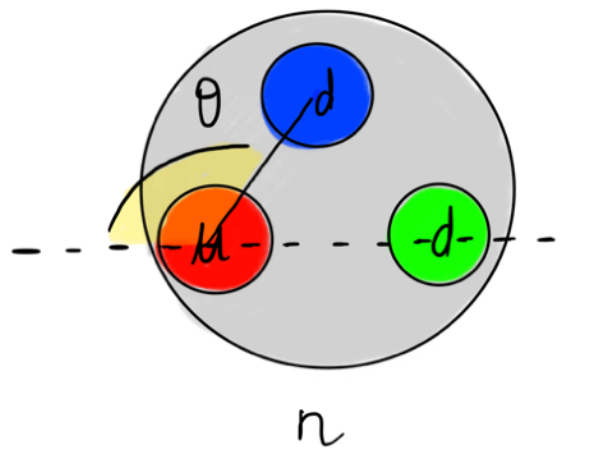


$$\theta_{\text{QCD}} < 10^{-10}$$

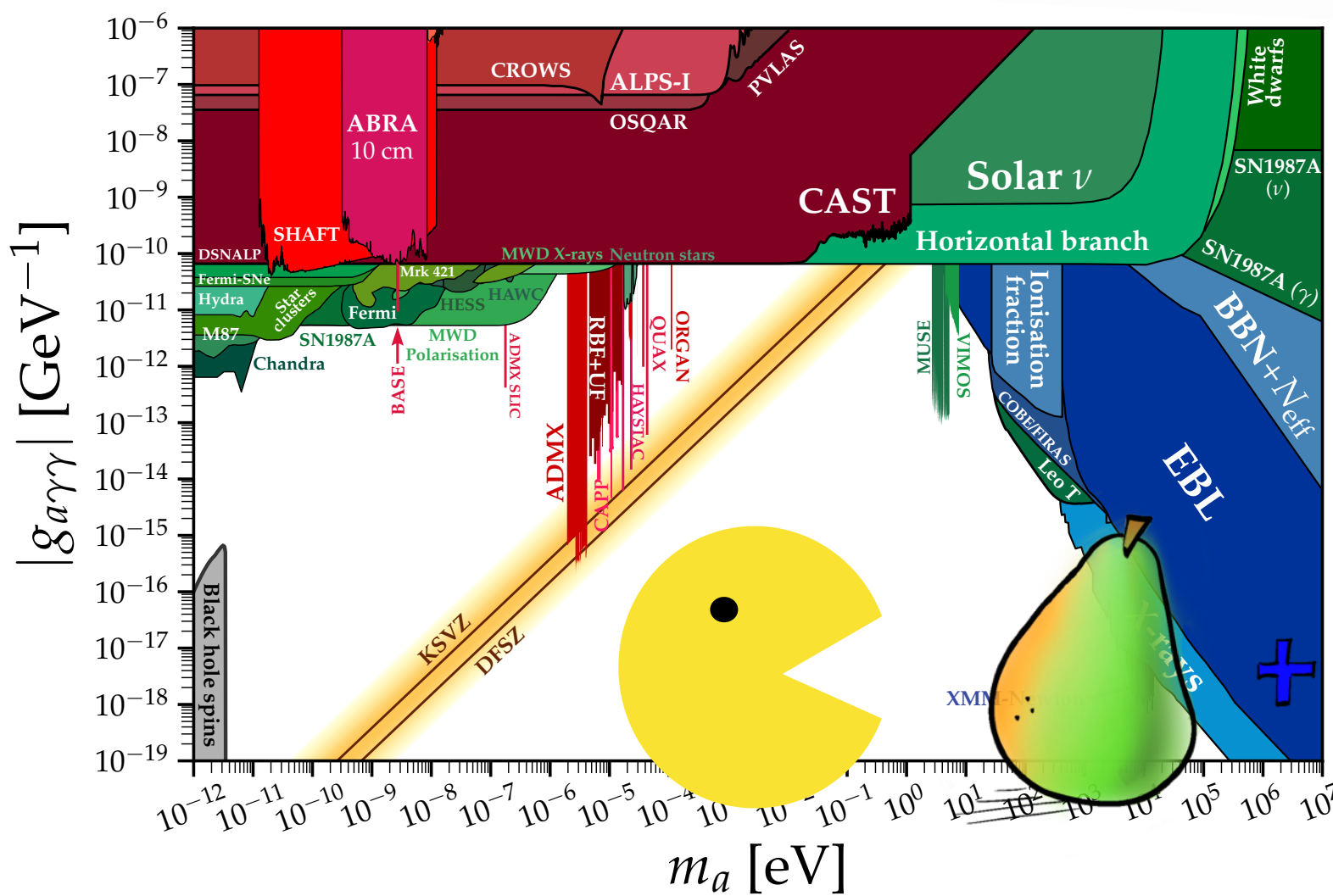


El problema fuerte de CP

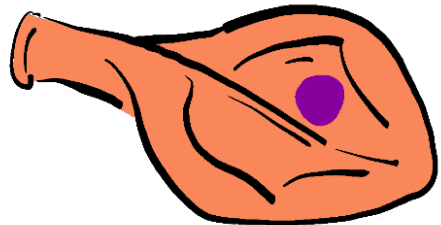
$$SU(3) \otimes SU(2) \otimes U(1)_Y$$



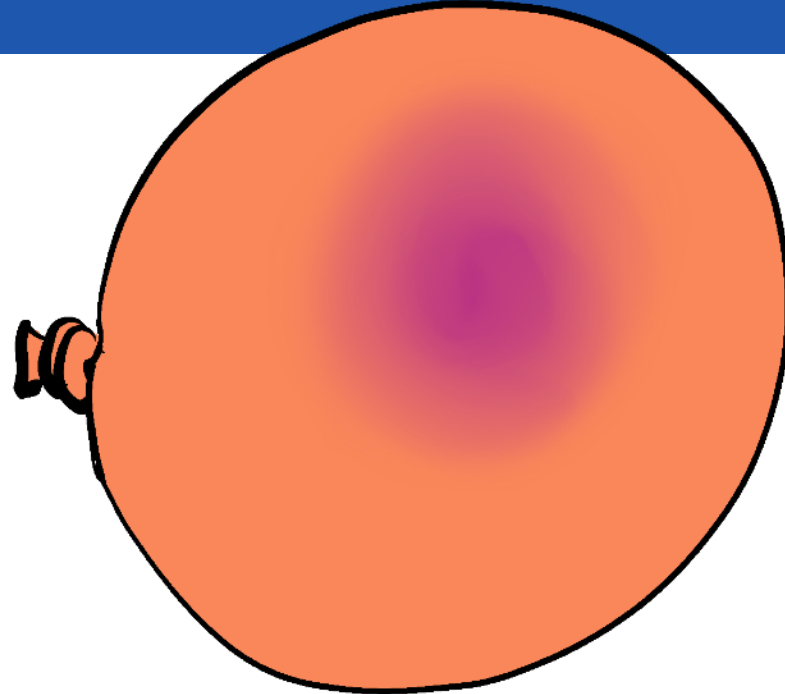
$$\theta_{\text{QCD}} < 10^{-10}$$



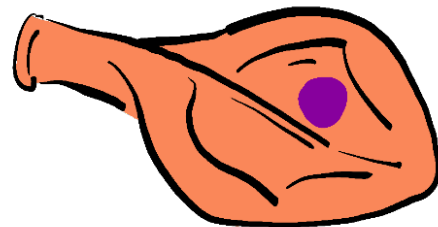
Parámetros del universo



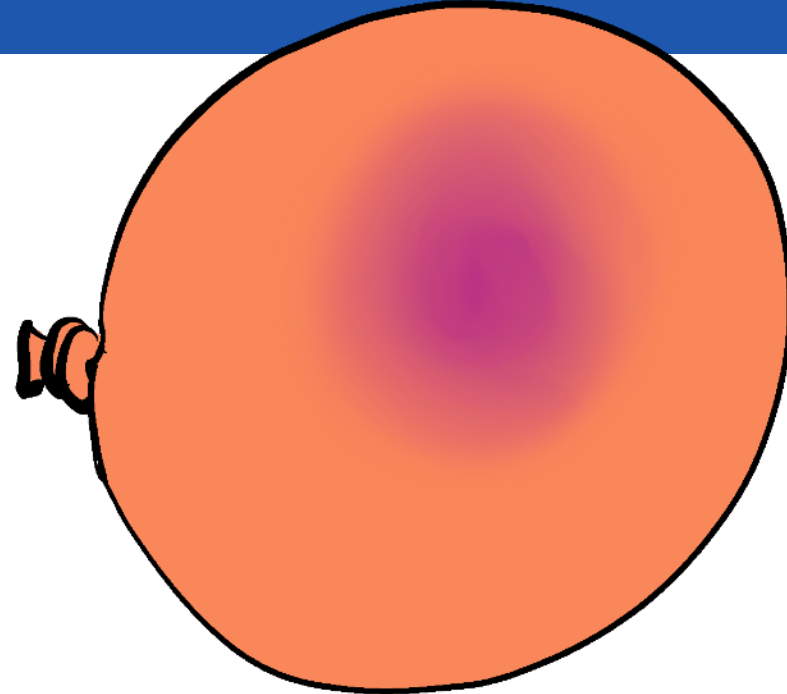
Inflación?



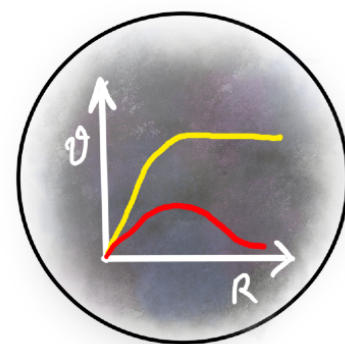
Parámetros del universo



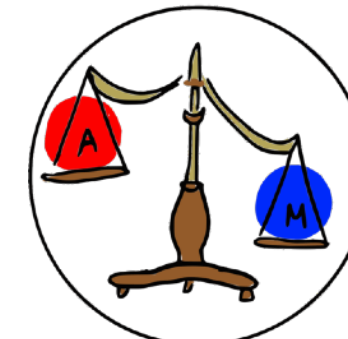
Inflación?



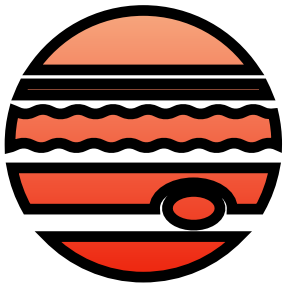
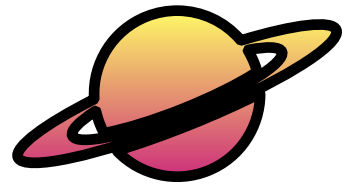
Mecanismo



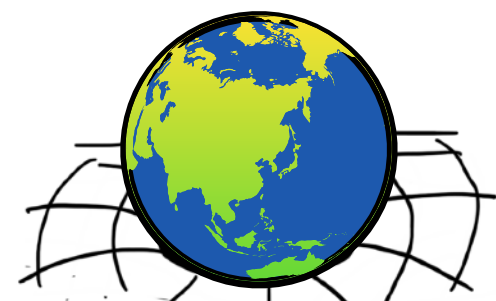
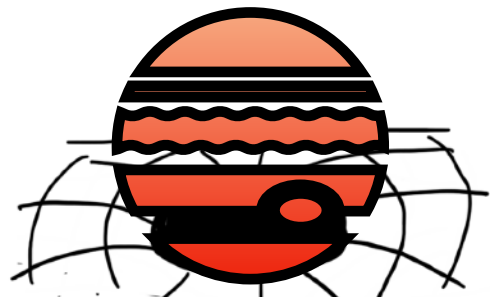
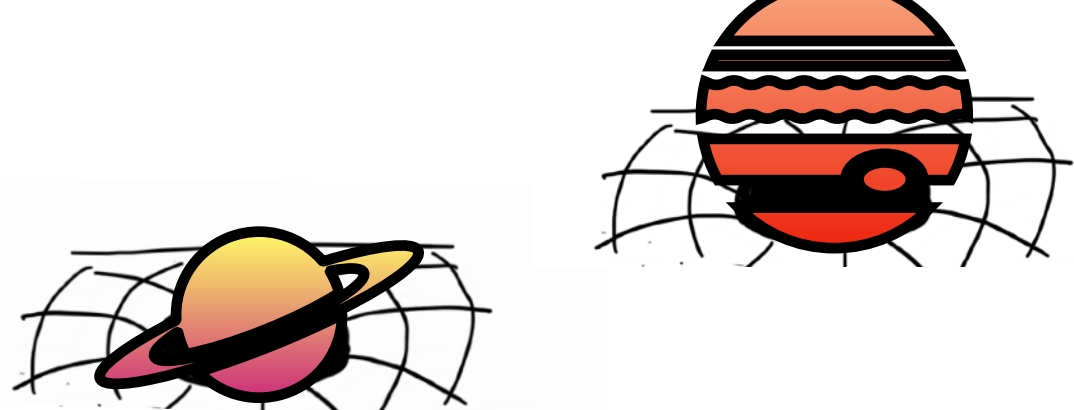
$$\Lambda_{\text{DM}} \sim 5\Lambda_{\text{B}}$$



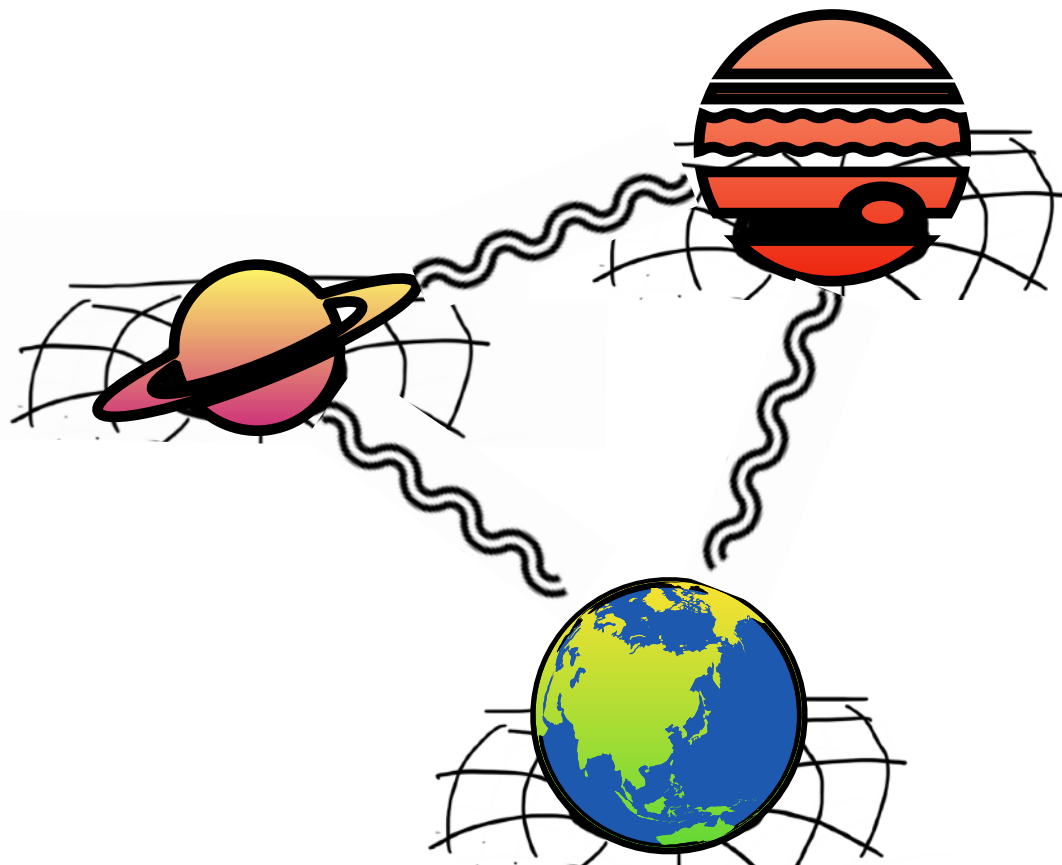
Y la gravedad?



Y la gravedad?

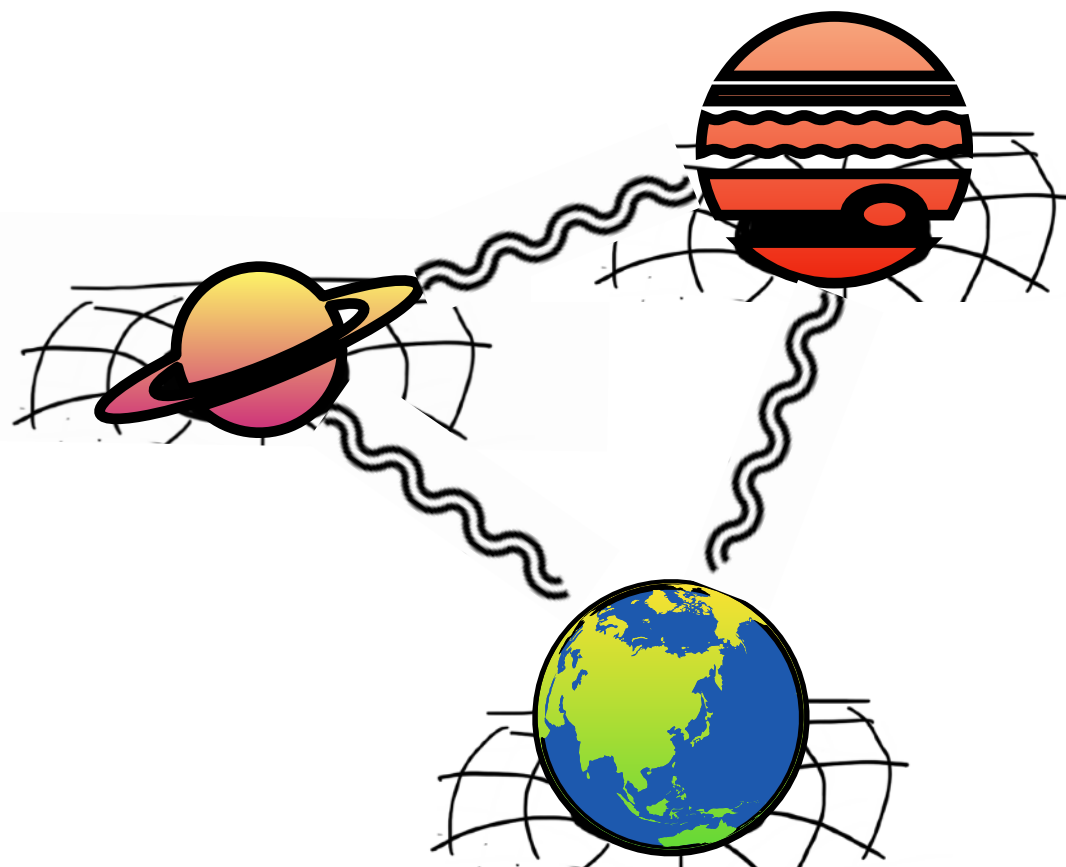


Y la gravedad?



Interacciones	Intensidad	Mediador	Alcance
F. Fuerte	1000	Gluones	Largo ($M=0$)
Electromagnetismo	1	Fotones	Largo ($M=0$)
F. Débil	100	W, Z	M
Gravedad		¿¿Gravitón??	Largo ($M=0$)

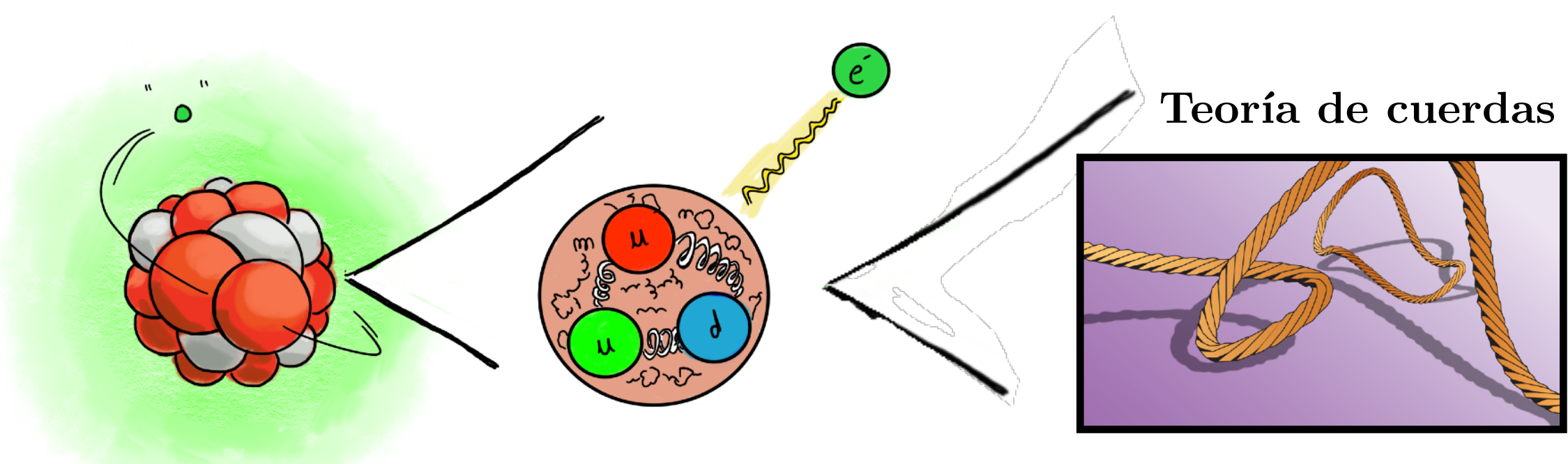
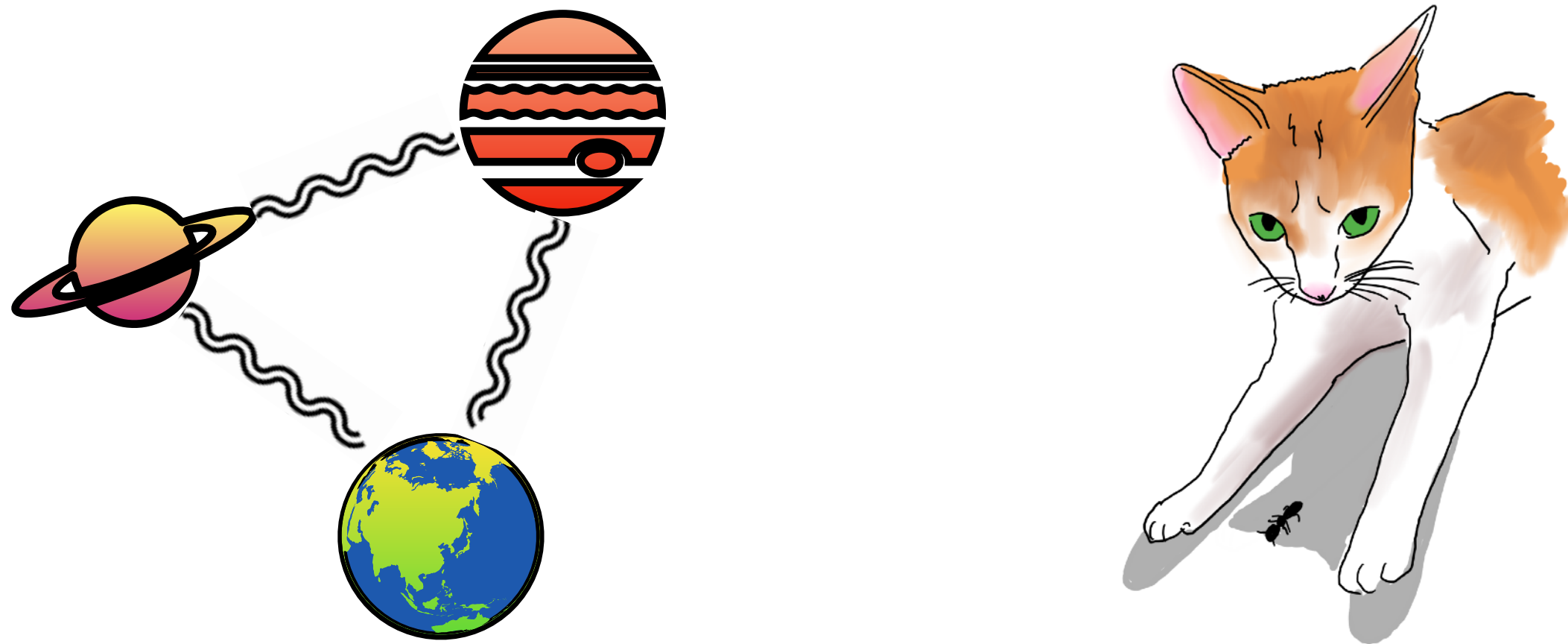
Y la gravedad?



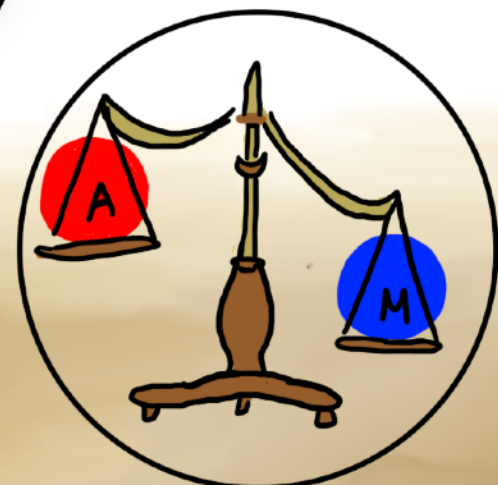
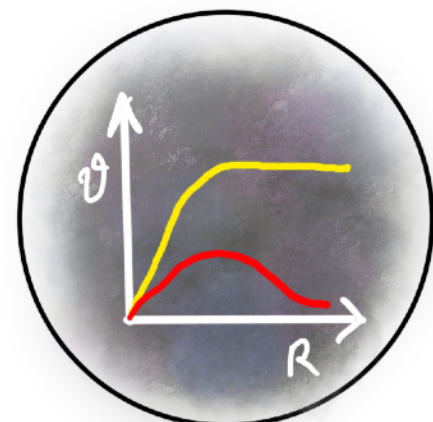
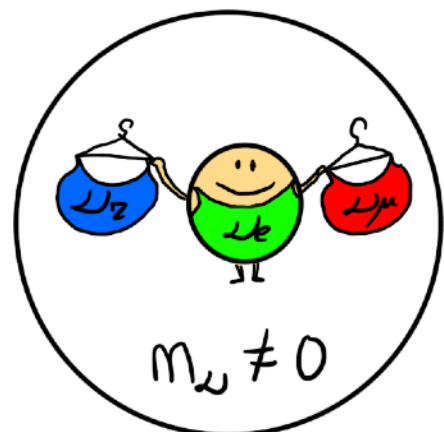
Dimensiones extra?

Interacciones	Intensidad	Mediador	Alcance
F. Fuerte	1000	Gluones	Largo ($M=0$)
Electromagnetismo	1	Fotones	Largo ($M=0$)
F. Débil	100	W, Z	M
Gravedad	10^{-33}	¿¿Gravitón??	Largo ($M=0$)

Y la gravedad?



En búsqueda de la nueva física





Teorías efectivas

Parametrizando la nueva física

e.g. serie de Taylor

$$\sin(x) = x - \frac{x^3}{3!} + \frac{x^5}{5!} + \dots = \sum_{k=0}^{\infty} \frac{x^{2k+1}}{(2k+1)!} (-)^k$$



Teorías efectivas

Parametrizando la nueva física

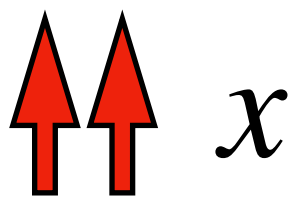
e.g. serie de Taylor

$$?? = x$$



Teorías efectivas

Parametrizando la nueva física



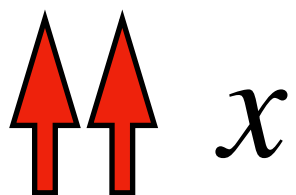
e.g. serie de Taylor

$$\sin(x) = x - \boxed{\frac{x^3}{3!} + \frac{x^5}{5!} + \dots} = \sum_{k=0}^{\infty} \frac{x^{2k+1}}{(2k+1)!} (-)^k$$



Teorías efectivas

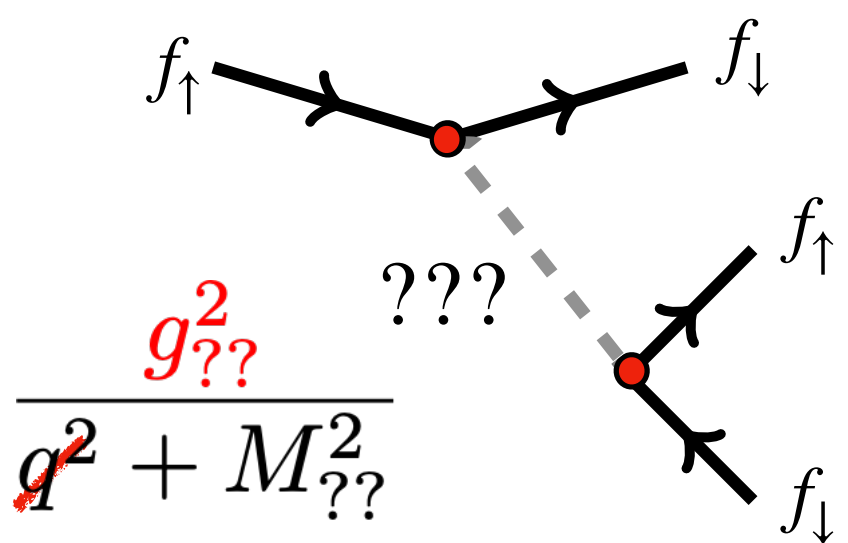
Parametrizando la nueva física



e.g. serie de Taylor

$$\sin(x) = x - \frac{x^3}{3!} + \frac{x^5}{5!} + \dots = \sum_{k=0}^{\infty} \frac{x^{2k+1}}{(2k+1)!} (-)^k$$

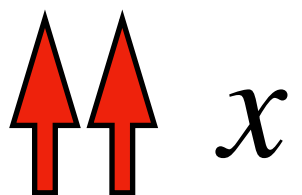
$$x = \frac{E}{M_{??}}$$





Teorías efectivas

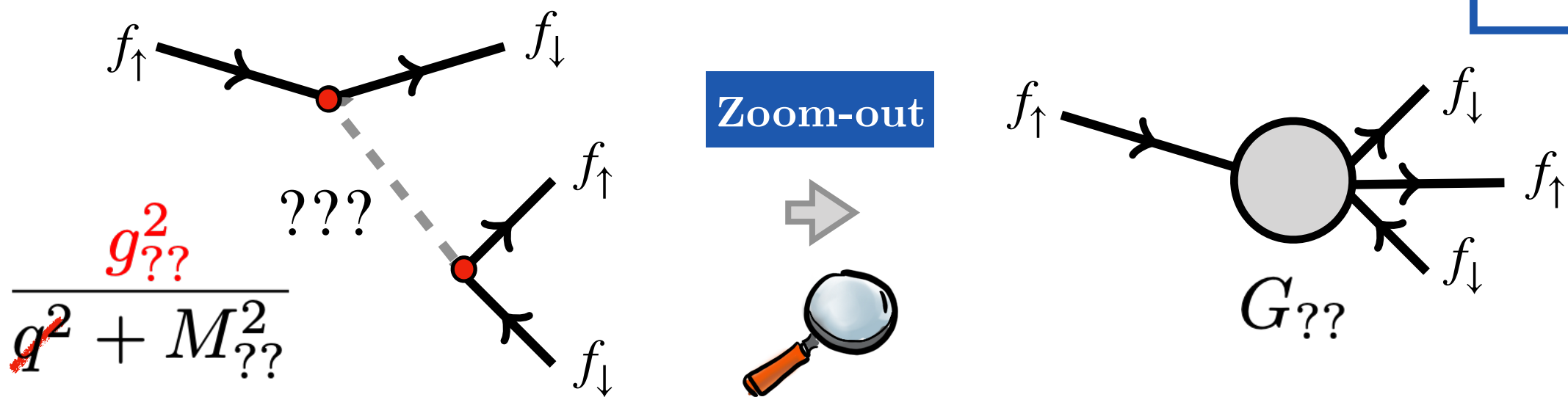
Parametrizando la nueva física



e.g. serie de Taylor

$$\sin(x) = x - \frac{x^3}{3!} + \frac{x^5}{5!} + \dots = \sum_{k=0}^{\infty} \frac{x^{2k+1}}{(2k+1)!} (-)^k$$

$$x = \frac{E}{M??}$$

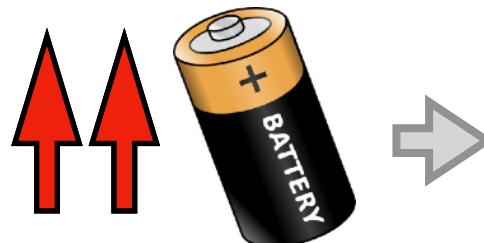




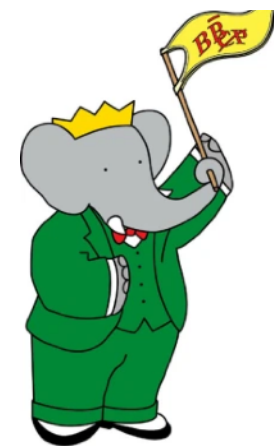
Teorías efectivas

Parametrizando la nueva física

Construcción de super-colisionadores



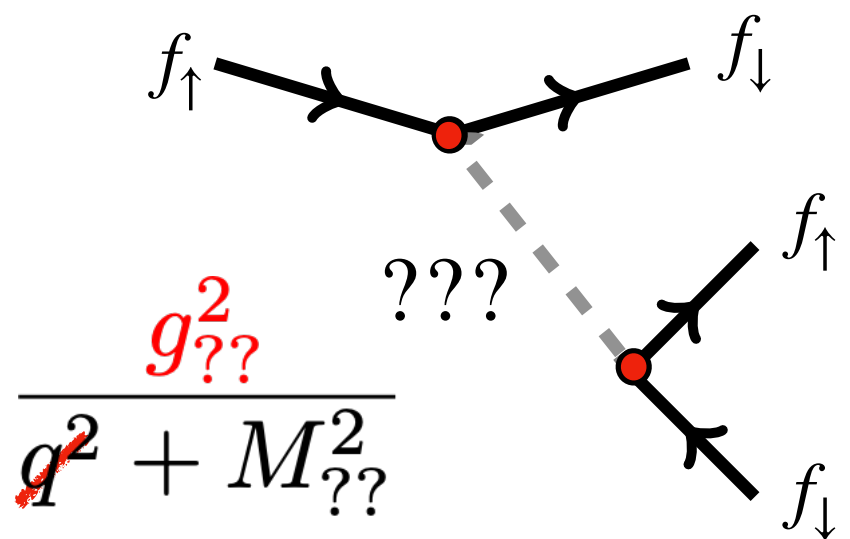
Física de Precisión



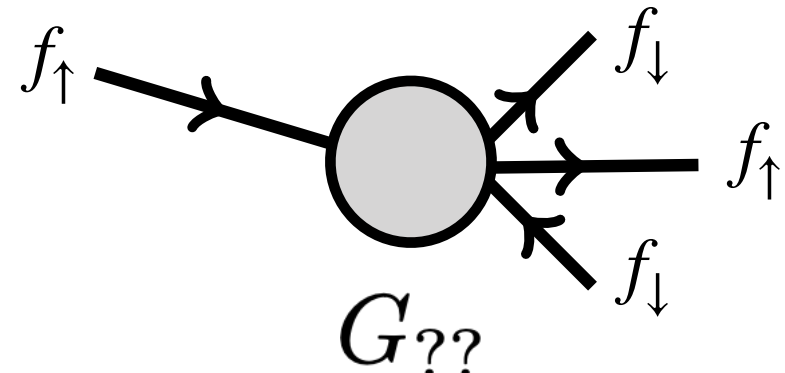
e.g. serie de Taylor

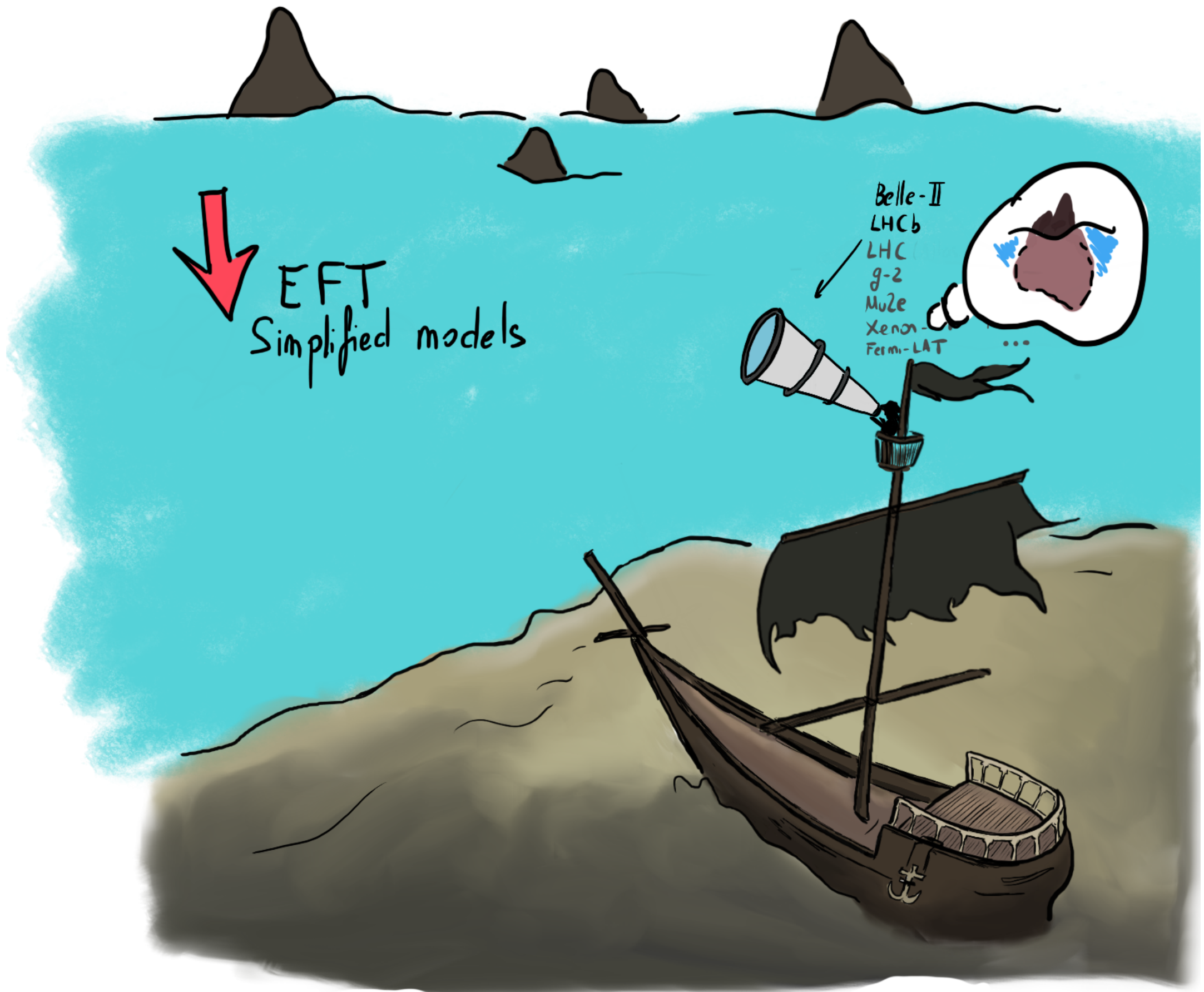
$$\sin(x) = x - \frac{x^3}{3!} + \frac{x^5}{5!} + \dots = \sum_{k=0}^{\infty} \frac{x^{2k+1}}{(2k+1)!} (-)^k$$

$$x = \frac{E}{M??}$$



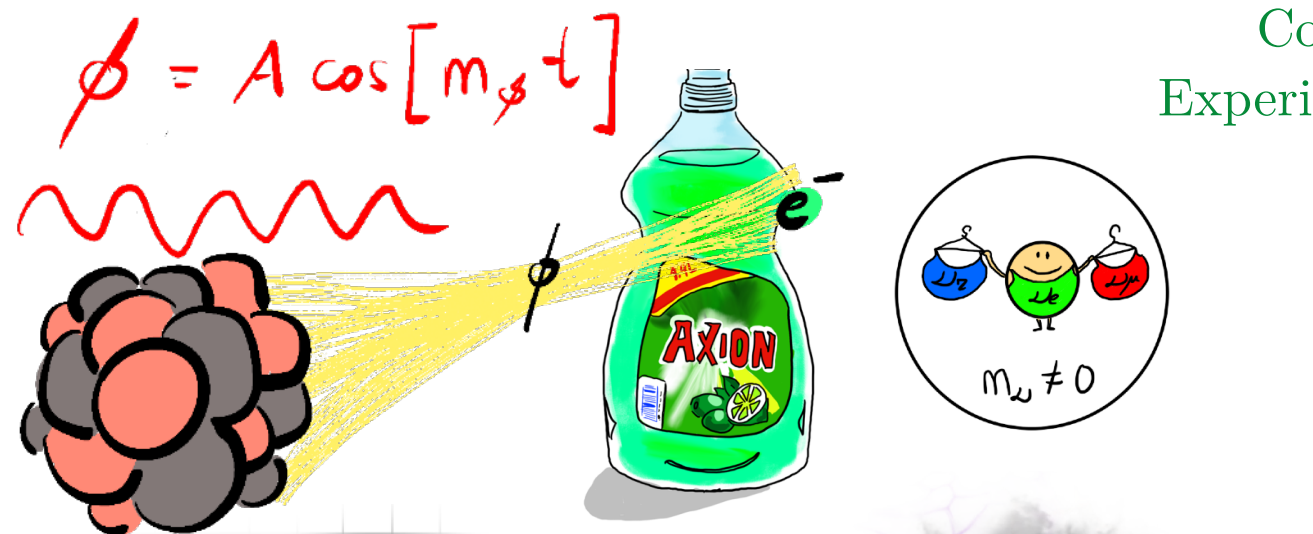
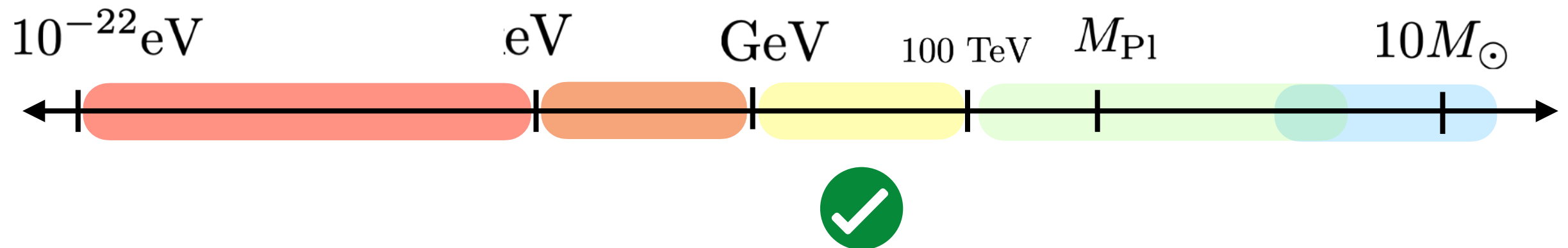
Zoom-out



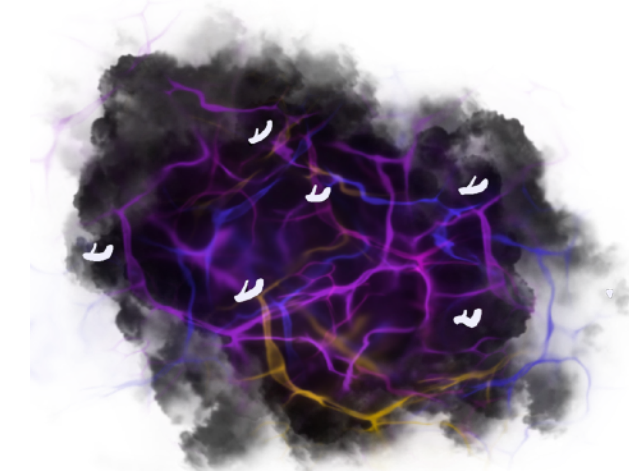
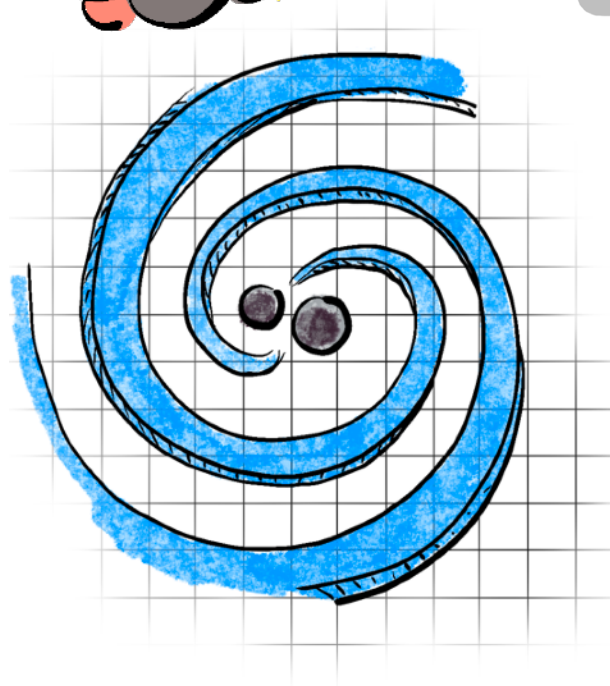




En búsqueda de nueva física (elusiva)



Colisionadores
Experimentos de sabor



En búsqueda de nueva física (elusiva)

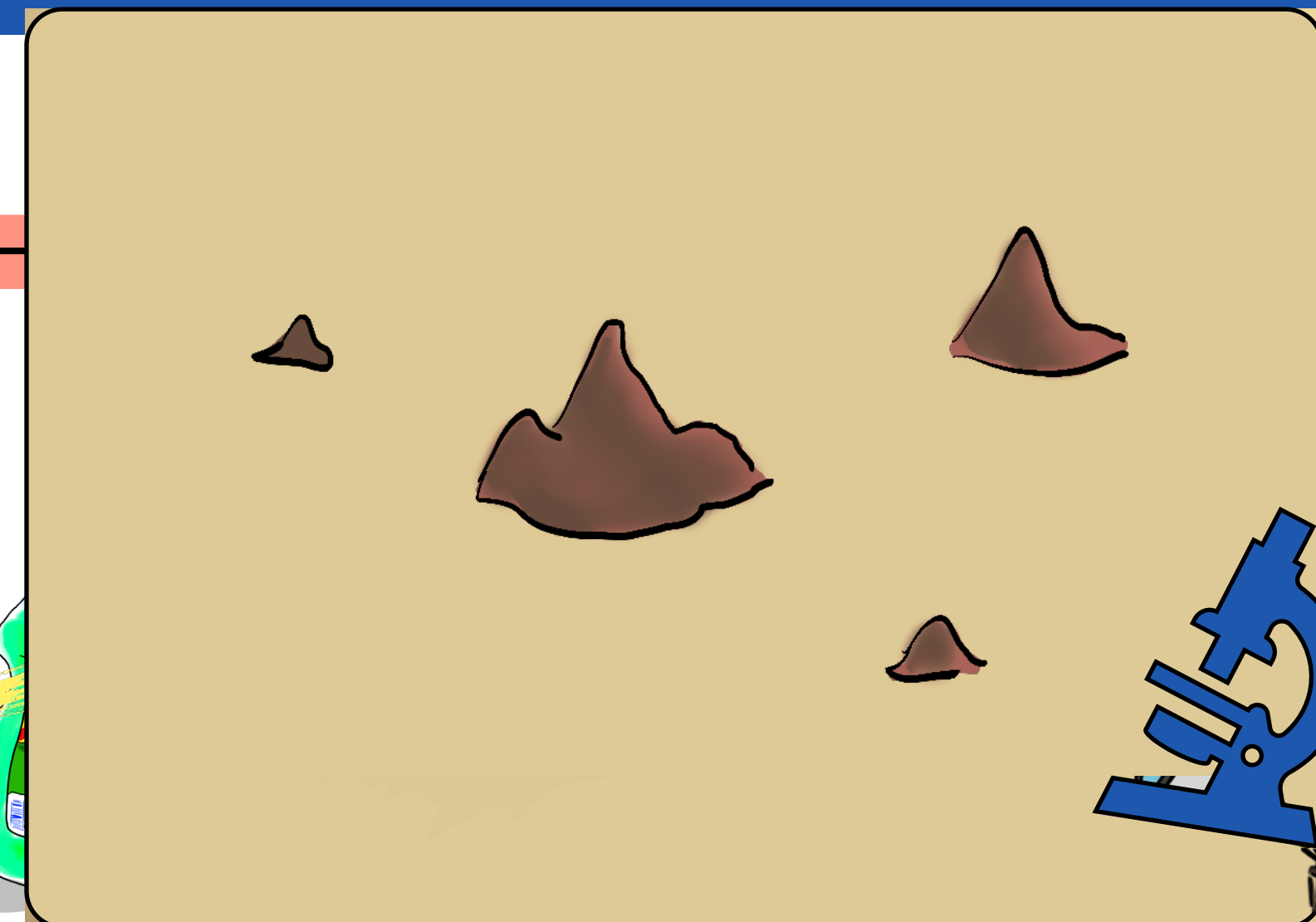
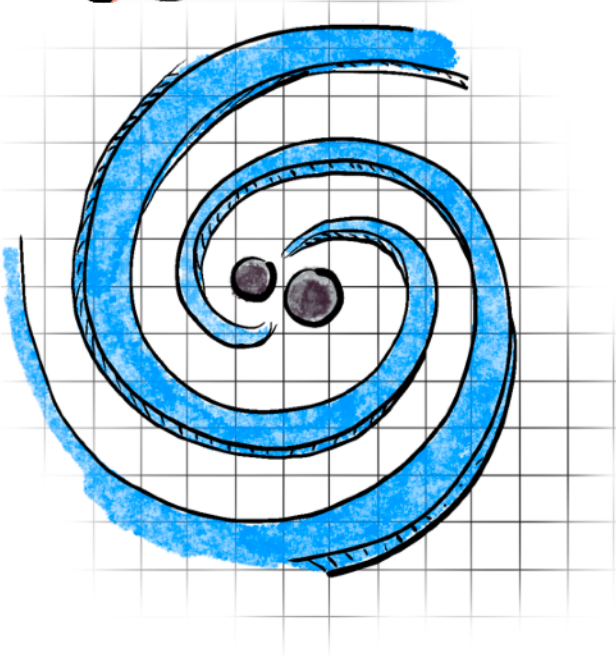
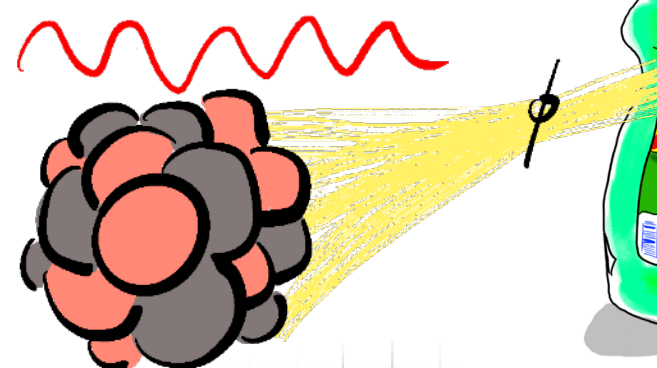
10^{-22} eV



$[0 M_\odot]$



$$\phi = A \cos[m_\phi t]$$



10^{-22}eV

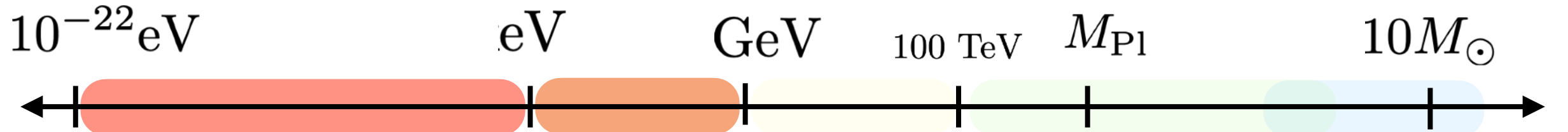
eV

GeV

100 TeV

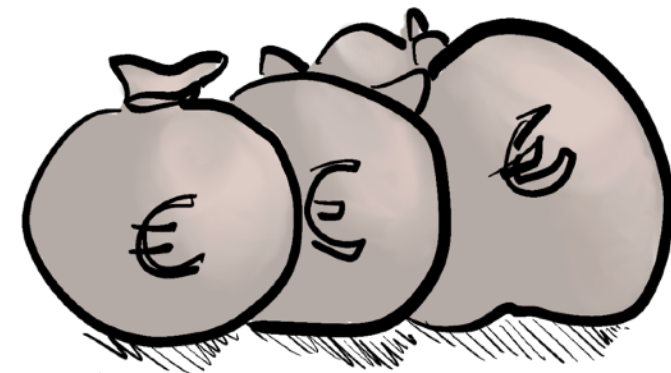
 M_{Pl} $10M_{\odot}$ 

¡Hazte con todos!

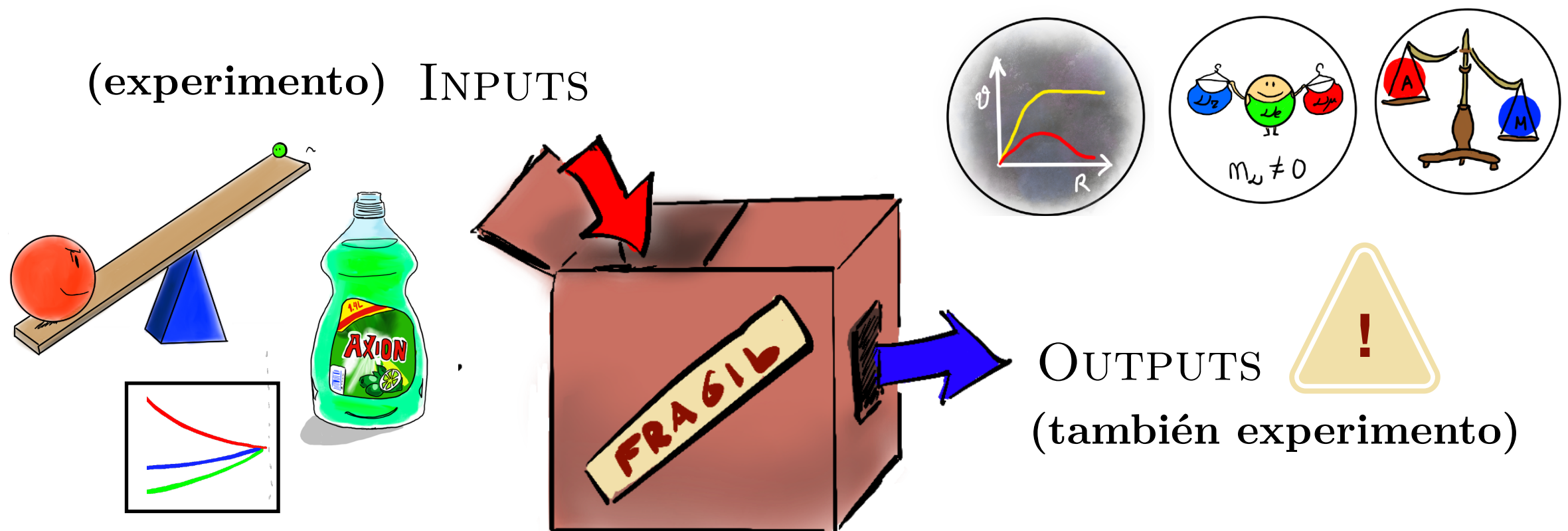


¡Hazte con todos!

(los que buenamente puedas)



El Modelo Estándar (recap)



(teoricos) “BONITA”, “SIMPLE”... ≡ POTENTE

$$\frac{\text{INPUTS}}{\text{OUTPUTS}} \ll 1$$

